

Los Chinchillidae (Rodentia, Caviomorpha) fósiles de la República Argentina: sistématica, historia evolutiva y biogeográfica, significado bioestratigráfico y paleoambiental

Lic. Luciano Luis Rasia

**Directora: Dra. Adriana M. Candela
Codirector: Dr. David A. Flores**

Trabajo de Tesis para optar por el título de Doctor en Ciencias Naturales



2016

TOMO II



Los Chinchillidae (Rodentia, Caviomorpha)
fósiles de la República Argentina:
sistemática, historia evolutiva y biogeográfica,
significado bioestratigráfico y paleoambiental

Lic. Luciano Luis Rasia

Directora: Dra. Adriana M. Candela

Codirector: Dr. David A. Flores

Tomo II – Figuras y tablas

Trabajo de Tesis para optar por el título de Doctor en Ciencias Naturales

2016



Lista de figuras

- Figura 1.1. Mapa de distribución de los chinchílidos vivientes *Lagostomus*, *Lagidium* y *Chinchilla*.
- Figura 1.2. Relaciones filogenéticas entre las cuatro Superfamilias de roedores caviomorfos.
- Figura 1.3. Mapa de América del Sur con las localidades donde se han hallado chinchílidos fósiles fuera de Argentina.
- Figura 1.4. Mapa de la Argentina indicando las localidades donde se han recuperado chinchílidos fósiles.
- Figura 2.1. Abreviaturas dentarias y de estructuras craneanas utilizadas.
- Figura 2.2. Abreviaturas de los huesos craneanos utilizadas.
- Figura 2.3. Medidas craneanas utilizadas en el análisis alométrico de *Lagostomus maximus*.
- Figura 2.4. Medidas dentarias utilizadas de la serie dentaria superior e inferior en el análisis cuantitativo de las especies fósiles de *Lagostomus*.
- Figura 2.5. Medidas utilizadas en el análisis cuantitativo de los huesos largos de chinchílidos fósiles.
- Figura 2.6. Nomenclatura dentaria.
- Figura 3.1. Macho y hembra de vizcacha viviente, *Lagostomus maximus*, exhibiendo dimorfismo sexual.
- Figura 3.2. Cráneos en vista dorsal mostrando rangos de edad en machos y hembras de *Lagostomus maximus*.
- Figura 3.3. Comparación de la región temporal del cráneo en vista dorsal entre hembras y machos de *Lagostomus maximus*.
- Figura 3.4. Posible dimorfismo sexual en individuos fósiles de *Lagostomus*.
- Figura 3.5. Clasificación de las suturas craneanas.
- Figura 3.6. Gráficos bivariados de las variables que mostraron mayor grado de dimorfismo en *Lagostomus maximus*.
- Figura 4.1. Esquema oclusal de Chinchillidae con DP4.
- Figura 4.2. Dentición superior de “*Eoviscaccia*” *australis*.
- Figura 4.3. Dentición inferior de “*Eoviscaccia*” *australis*.
- Figura 4.4. Esquema oclusal de molariformes superiores con poco desgaste de Lagostominae.

Figura 4.5. *Prolagostomus pusillus*. paladar en vista ventral y mandíbulas en vista dorsal.

Figura 4.6. *Prolagostomus pusillus*. Esquemas de la morfología oclusal de los molariformes superiores e inferiores.

Figura 4.7. *Prolagostomus rosendoi*. cráneo en vista ventral y esquema de la morfología oclusal de los molariformes superiores.

Figura 4.8. *Prolagostomus* sp. 1. Esquemas de la morfología oclusal de molariformes aislados.

Figura 4.9. “*Pliolagostomus*” *notatus*. mandíbulas en vista oclusal y lateral; paladares en vista ventral.

Figura 4.10. “*Pliolagostomus*” *notatus*. Esquemas de la morfología oclusal de los molariformes superiores e inferiores.

Figura 4.11. “*Pliolagostomus*” *friasensis*. serie p4-m3 izquierda y esquema de la morfología oclusal.

Figura 4.12. *Lagostomus* sp. nov. A. mandíbula derecha en vista dorsal y lateral; paladar en vista ventral y lateral.

Figura 4.13. *Lagostomus* sp. nov. A. Esquema de la morfología oclusal de los molariformes superiores e inferiores.

Figura 4.14. *Lagostomus pretrichodactyla*. holotipo, cráneo en vista dorsal, lateral y ventral; cráneo en vista ventral, dorsal y lateral, mandíbula izquierda en vista dorsal y lateral.

Figura 4.15. *Lagostomus pretrichodactyla*. Esquema de la morfología oclusal de los molariformes superiores e inferiores.

Figura 4.16. *Lagostomus antiquus*. mandíbula en vista dorsal y lateral; paladar en vista ventral.

Figura 4.17. *Lagostomus antiquus*. esquema de la morfología oclusal de los molariformes superiores e inferiores.

Figura 4.18. *Lagostomus laminosus*. molariforme inferior en vista oclusal y esquema; esquema oclusal de un molariforme inferior.

Figura 4.19. “*Lagostomus pallidens*”. fragmento sinfisario mandibular e incisivo derecho en vista lateral; fragmento mandibular izquierdo con p4-m3 en vista lateral.

Figura 4.20. *Lagostomus incisus*. cráneo en vista ventral, cráneo en vista ventral, dorsal y lateral; paladar en vista ventral, mandíbula izquierda en vista dorsal y lateral;

mandíbula izquierda en vista dorsal y lateral.

Figura 4.21. *Lagostomus incisus*. Esquema de la morfología oclusal de los molariformes superiores e inferiores.

Figura 4.22. Húmero en vista posterior de distintas especies de *Lagostomus*.

Figura 4.23. Calcáneo de varios caviomorfos.

Figura 4.24. *Lagostomus euplasius*. cráneo en vista ventral, dorsal y lateral, mandíbulas en vista dorsal y lateral.

Figura 4.25. *Lagostomus euplasius*. Esquema de la morfología oclusal de los molariformes superiores e inferiores.

Figura 4.26. *Lagostomus compressidens*. cráneo en vista ventral, dorsal y lateral, y mandíbula izquierda en vista dorsal.

Figura 4.27. *Lagostomus compressidens*. esquema de la morfología oclusal de los molariformes superiores e inferiores.

Figura 4.28. *Lagostomus debilis*. mandíbula derecha en vista oclusal y lateral; mandíbula izquierda en vista oclusal y lateral; mandíbula izquierda en vista oclusal y lateral.

Figura 4.29. *Lagostomus debilis*. esquema de la morfología oclusal de los molariformes inferiores.

Figura 4.30. *Lagostomus cavifrons*. cráneo en vista ventral, dorsal y mandíbula izquierda en vista oclusal y lateral; paladar en vista ventral.

Figura 4.31. *Lagostomus cavifrons*. esquema de la morfología oclusal de los molariformes superiores e inferiores.

Figura 4.32. *Lagostomus egenus*. mandíbula derecha en vista oclusal, lateral y ventral.

Figura 4.33. Dentición superior e inferior de un individuo neonato de *Lagostomus maximus*.

Figura 4.34. *Lagostomus maximus*. esqueleto parcialmente articulado y cráneo asociado.

Figura 4.32. *Lagostomus maximus*. esquema de la morfología oclusal de los molariformes superiores e inferiores.

Figura 4.36. Gráficos bivariados comparando el diámetro transverso y el diámetro anteroposterior del M1 y el m1 en especies de *Prolagostomus* y “*Pliolagostomus*”.

Figura 4.37. Distribución de los Componentes Principales 1 y 2 para las medidas de los molariformes superiores e inferiores de las especies de *Lagostomus*.

Figura 4.38. Gráficos bivariados de dispersión comparando el diámetro transverso con

el diámetro anteroposterior en los molariformes superiores de las especies de *Lagostomus*.

Figura 4.37. Gráficos bivariados de dispersión comparando el diámetro transverso con el diámetro anteroposterior en los molariformes inferiores de las especies de *Lagostomus*

Figura 5.1. Paladar de varios caviomorfos mostrando los estados para los caracteres 7 a 12.

Figura 5.2. Dibujos esquemáticos de denticiones superiores de varios caviomorfos mostrando los estados para los caracteres 45 a 47 y 49 a 57.

Figura 5.3. Dibujos esquemáticos de denticiones superiores de varios caviomorfos mostrando los estados para los caracteres 58 a 62.

Figura 5.4. Tres árboles más parsimoniosos obtenidos

Figura 5.5. Árbol de consenso estricto de tres árboles más parsimoniosos.

Figura 5.6. Árbol de consenso estricto indicando el número de cada nodo.

Figura 5.7. Árbol de consenso estricto indicando las sinampomorfías comunes a todos los árboles más parsimoniosos. Los caracteres se indican abajo, y los estados de carácter se indican arriba.

Figura 5.8. Árbol de consenso indicando los grupos monofiléticos de rango supragenérico soportados por el análisis cladístico.

Figura 5.9. Árbol de consenso con las especies de *Lagostomus* tradicionalmente consideradas pertenecientes a “*Lagostomopsis*” indicadas en verde.

Figura 5.10. Árbol de consenso mostrando el soporte de Bremer para cada nodo.

Figura 5.11. Análisis de Bootstrap con frecuencias absolutas (arriba) y con frecuencias GC (abajo).

Figura 5.12. Análisis de Jackknife con frecuencias absolutas (arriba) y con frecuencias GC (abajo).

Figura 5.13. Árbol filogenético calibrado estratigráficamente, indicando los principales eventos de radiación.

Figura 6.1. Edades Mamífero Sudamericanas del Oligoceno temprano al Mioceno medio.

Figura 6.2. Pisos/edades del Mioceno tardío al Holoceno, y propuestas bioestratigráficas de Argentina.

Figura 6.3. Distribución estratigráfica de los géneros de Chinchillidae, mostrando tres

episodios con géneros característicos.

Figura 6.4. Distribución estratigráfica de las especies de Lagostominae y los géneros vivientes de Chinchillinae.

Figura 6.5. Columnas estratigráficas de siete localidades del sur de la Provincia de Buenos Aires, indicando los registros de *Lagostomus*.

Figura 6.6. Distribución estratigráfica de las especies de *Lagostomus* desde el Montehermosense hasta la Actualidad en la provincia de Buenos Aires.

Figura 6.7. Distribución geográfica de chinchílidos vivientes y fósiles.

Figura 7.1. Aspecto externo de los chinchílidos vivientes.

Figura 7.2. Rango de masa corporal estimada de chinchílidos fósiles y rango de masa corporal de chinchílidos vivientes.

Figura 7.3. Correlación entre el aumento de tamaño en los chinchílidos y cambios ambientales en el Cenozoico.

Figura 7.4. Gráfico bivariado de los índices del húmero, IMH e IE.

Figura 7.5. Gráfico bivariado de los índices del fémur, IG e IRF.

Figura 7.6. Gráfico bivariado de los índices de la tibia, IET e IRT.

Figura 7.7. Morfología oclusal de los molariformes de lagostominos fósiles y vivientes.

Lista de tablas

- Tabla 2.1. Material de chinchillidos fósiles utilizado en este trabajo.
- Tabla 2.2. Material actual de *Lagostomus maximus* utilizado en este trabajo.
- Tabla 3.1. Variación en tamaño entre sexos en distintas especies de roedores caviomorfos.
- Tabla 3.2. Análisis bivariado de alometría en la ontogenia de hembras de *Lagostomus maximus*.
- Tabla 3.3. Análisis bivariado de alometría en la ontogenia de machos de *Lagostomus maximus*.
- Tabla 3.4. Test para pendiente común, ordenada común y variación en hembras y machos de *Lagostomus maximus*.
- Tabla 3.5. Resultados por sexo del análisis multivariado de alometría del cráneo en *Lagostomus maximus*.
- Tabla 4.1. Medidas de los molariformes superiores de Lagostominos de la Argentina.
- Tabla 4.2. Medidas de los molariformes inferiores de Lagostominos de la Argentina.
- Tabla 5.1. Matriz de datos para el análisis filogenético.
- Tabla 7.1. Masa estimada en gramos a partir de molares superiores e inferiores, y datos de pesos conocidos para machos y hembras de *Lagostomus maximus*.
- Tabla 7.2. Masa corporal estimada en chinchillidos fósiles.
- Tabla 7.3. Masa corporal estimada promedio para las especies fósiles de chinchillidos.
- Tabla 7.4. Índices de huesos largos para especies de *Lagostomus*.
- Tabla 7.5. Modos de locomoción de caviomorfos vivientes.

Figuras

Capítulo I – Introducción y objetivos

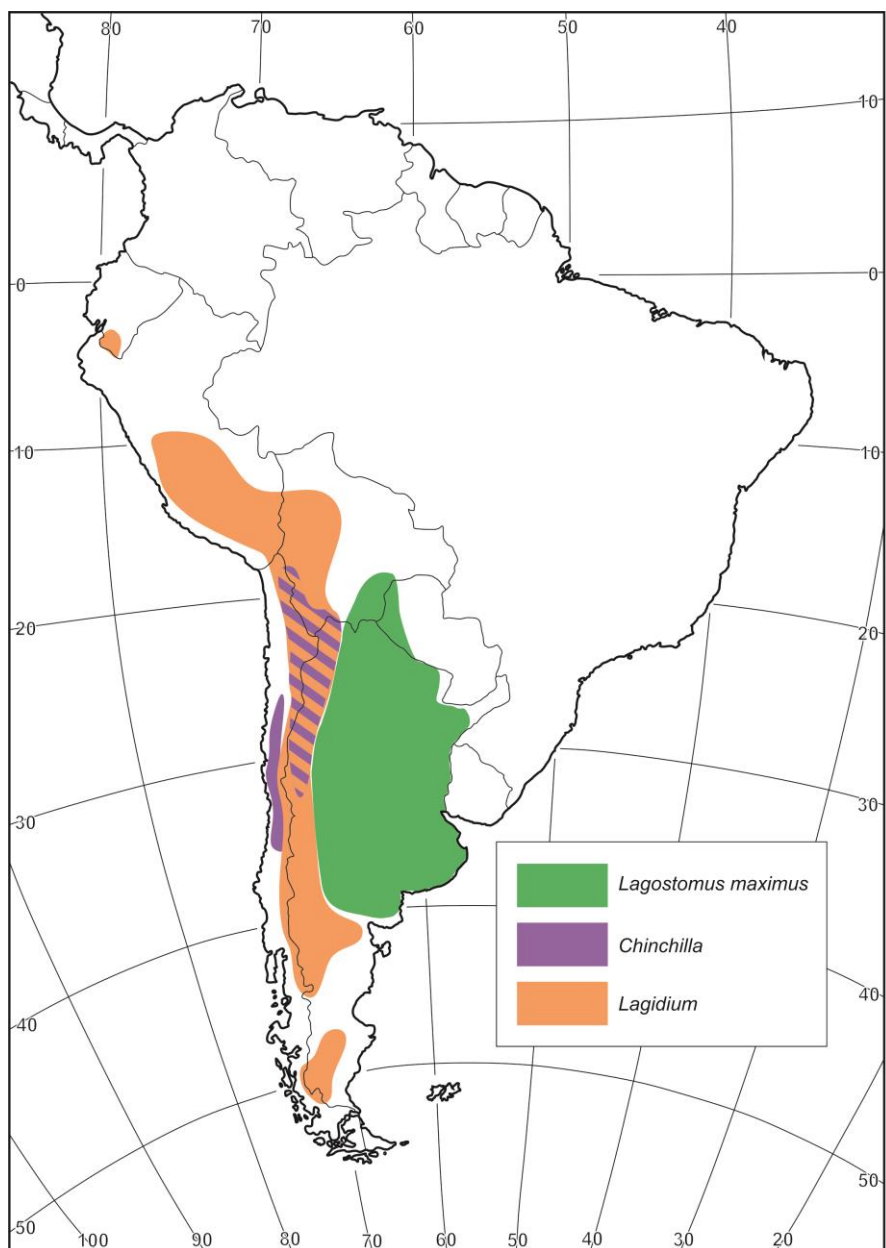


Figura 1.1. Mapa de distribución de los chinchillidos vivientes *Lagostomus*, *Lagidium* y *Chinchilla*. Modificado de Weir (1974); Rowlands (1974); Jackson et al. (1996); Spotorno et al. (2004a).

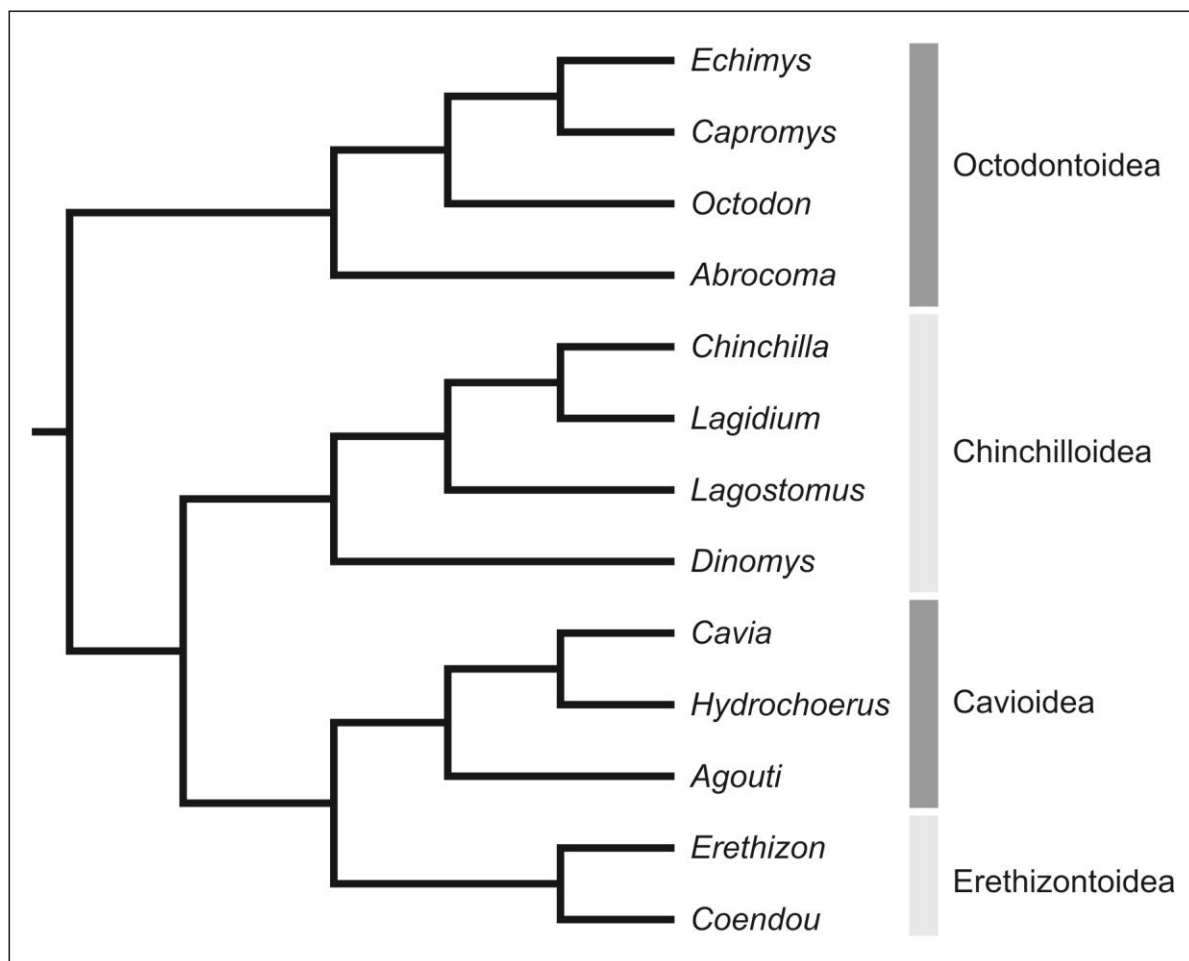


Figura 1.2. Relaciones filogenéticas entre las cuatro Superfamilias de roedores caviomorfos. Modificado de Spotorno et al. (2004b) y Blanga-Kanfi et al. (2009).

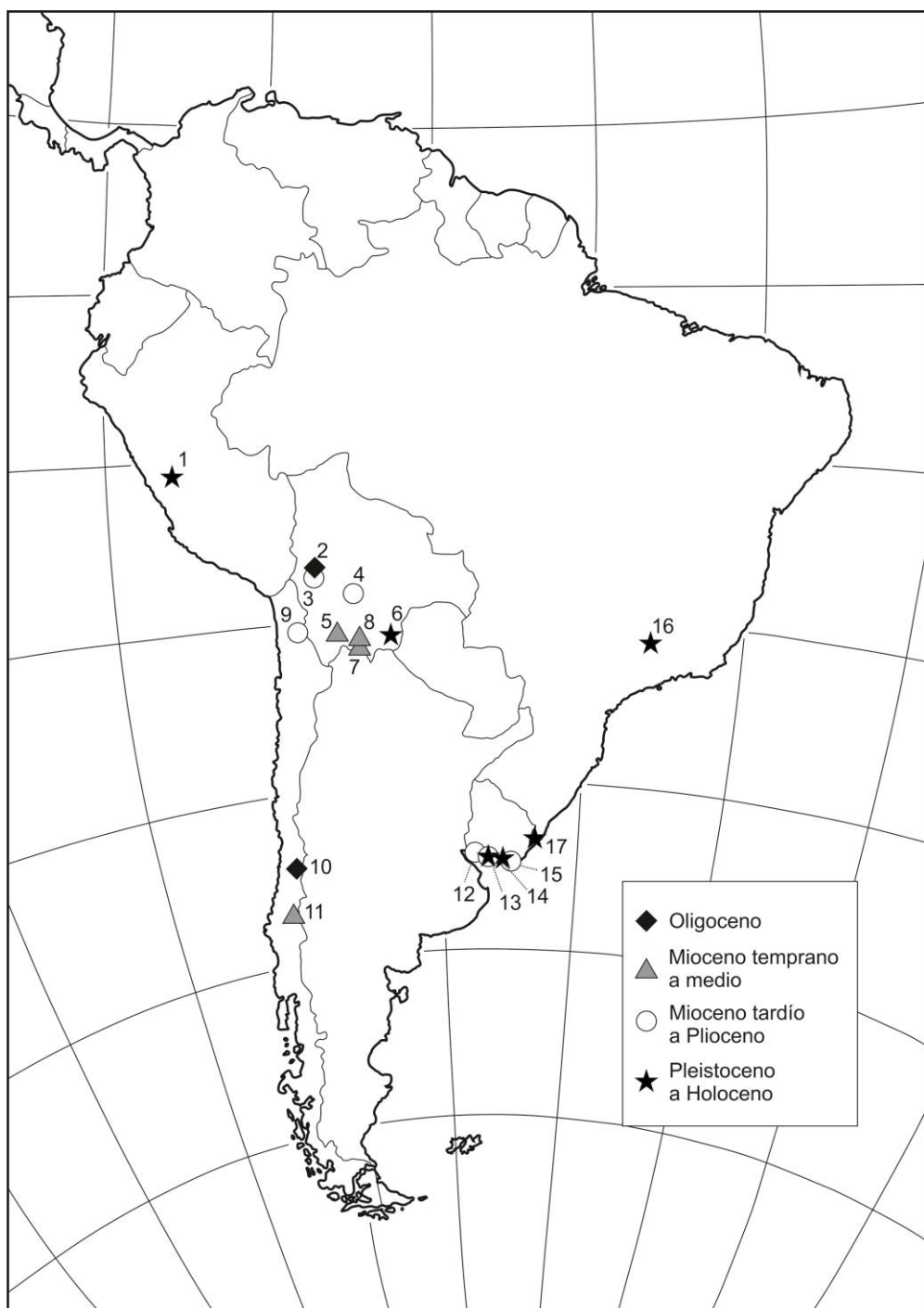
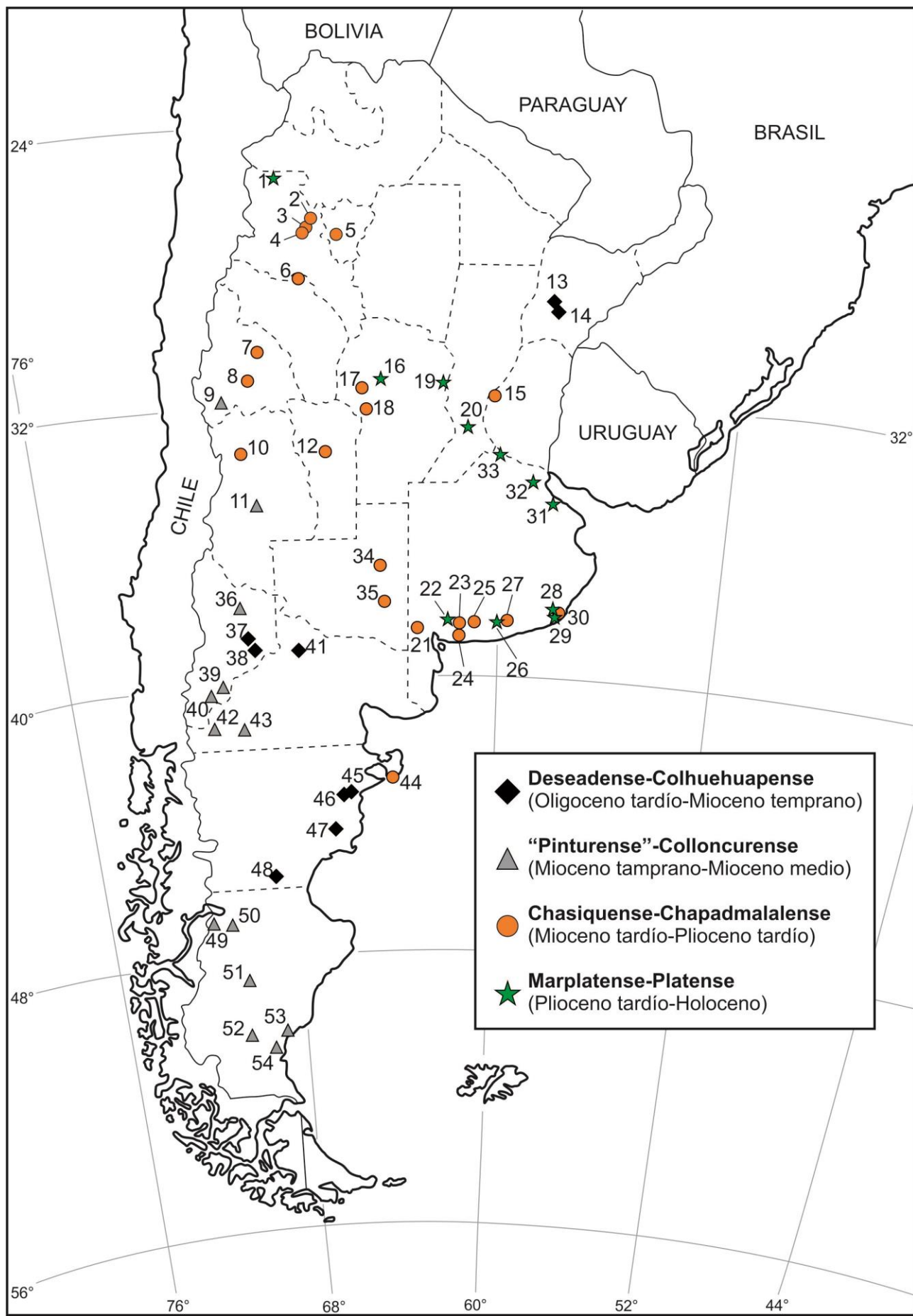


Figura 1.3. Mapa de América de Sur con las localidades donde se han hallado chinchillidos fósiles fuera de Argentina. Perú: 1, cuevas del Altiplano; Bolivia: 2, Lacayani; 3, Formación Umala; 4, Muyu Huasi; 5, Cerdas; 6, Ñuapua; 7, Quebrada Honda; 8, Estación Arenales; Chile: 9, Chucal; 10, Tinguiririca; 11, Laguna del Laja; Uruguay: 12, Departamento de Colonia; 13, Departamento de San José; 14, Departamento de Canelones; 15, Departamento de Maldonado; Brasil: 16, Lagoa Santa; 17, Arroyo Chuí.



L. L. Rasia – Los Chinchillidae fósiles de la República Argentina

Figura 1.4. Mapa de la Argentina indicando las localidades donde se han recuperado chinchillidos fósiles. Catamarca: **1**, Tebenquiche Chico; **2**, El Molino; **3**, Villavil; **4**, Puerta de Corral Quemado; Tucumán: **5**, El Molino; La Rioja: **6**, Sierras de Velasco; San Juan: **7**, Loma del Camello; **8**, Loma de las Tapias; **9**, Las Hornillas; Mendoza: **10**, Huayquerías de San Carlos; **11**, Arroyo Seco de la Frazada; San Luis: **12**, Cantera Díaz Nogarol; Corrientes: **13**, Arroyo María Grande; **14**, Arroyo Ávalos; Entre Ríos: **15**, Paraná; Córdoba: **16**, ciudad de Córdoba; **17**, valle del Nono; **18**, La Calera; **19**, San Francisco; Santa Fe: **20**, río Carcarañá; Buenos Aires: **21**, Arroyo Chasicó; **22**, Bajo San José; **23**, Las Obscuras; **24**, Farola Monte Hermoso; **25**, Cascada Grande; **26**, Sitio Arroyo Seco 2; **27**, Paso Otero; **28**, Lobería- El Abra-Tixi; **29**, Punta Hermengo-Miramar; **30**, área de Chapadmalal; **31**, La Plata; **32**, Río Reconquista; **33**, Ramallo; La Pampa: **34**, Cerro Azul; **35**, Salinas Grandes de Hidalgo; Neuquén: **36**, ;**37**, Sierra del Portezuelo Norte; **38**, Cerro Bayo Mesa; **39**, Cañadón del Tordillo; **40**, Río Collón Curá; Río Negro: **41**, Paso Córdova; **42**, Pilcaniyeu Viejo; **43**, Ingeniero Jacobacci; Chubut: **44**, Puerto Madryn; **45**, Bryn Gwyn; **46**, Gaiman; **47**, Cabeza Blanca; **48**, Gran Barranca; Santa Cruz: **49**, Cerro Boleadoras; **50**, Río Pinturas; **51**, Gobernador Gregores; **52**, Río Santa Cruz; **53**, Monte León; **54**, Monte Observación.

Capítulo 2 – Materiales y métodos

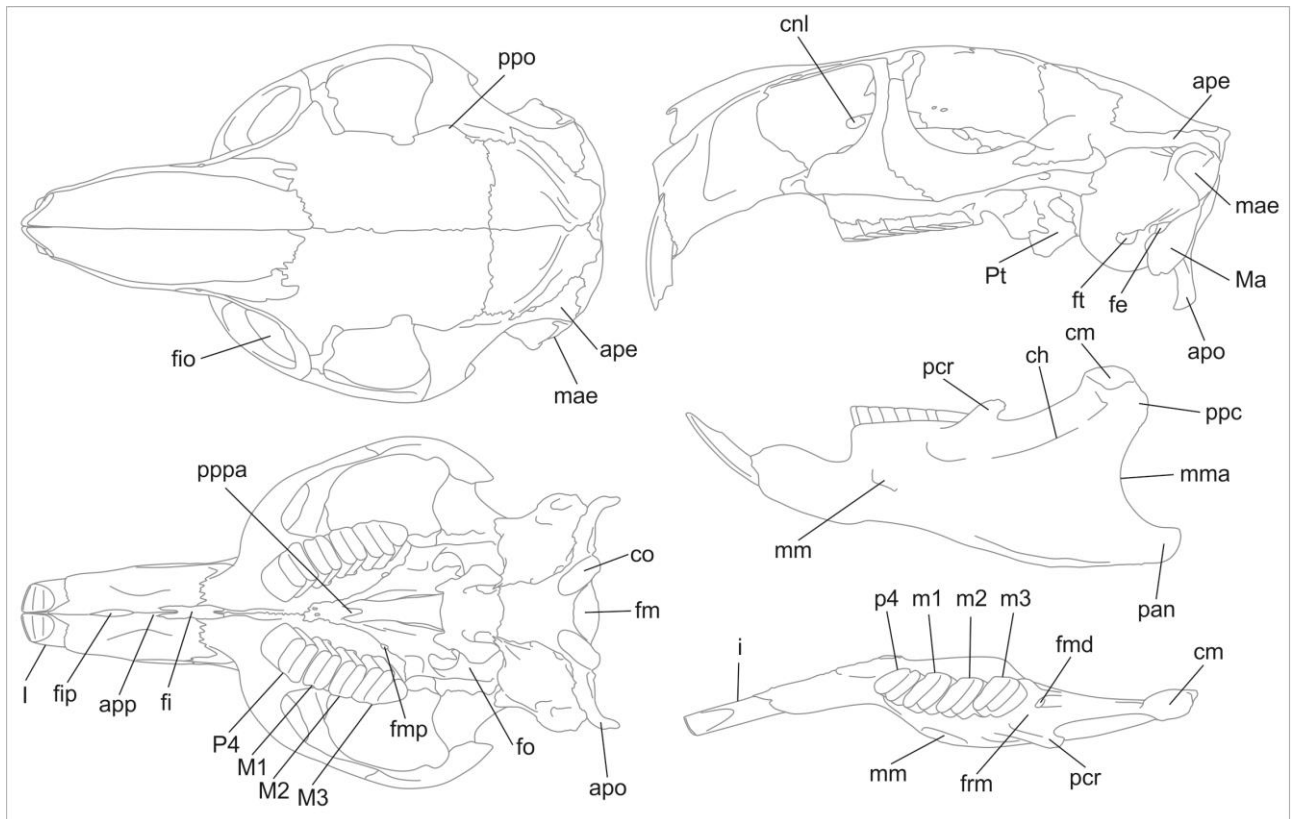


Figura 2.1. Abreviaturas dentarias y de estructuras craneanas utilizadas. **apo**, apófisis paraoccipital; **ape**, apófisis posterior del escamoso; **app**, apófisis palatina posterior del premaxilar; **ch**, cresta horizontal; **cm**, cóndilo mandibular; **cnl**, canal nasolacrima; **co**, cóndilo occipital; **dP4**, premolar deciduo superior; **dp4**, premolar deciduo inferior; **fe**, foramen estilomastoideo; **fi**, foramen incisivo; **fio**, foramen infraorbitario; **fip**, foramen interpremaxilar; **fm**, foramen magnum; **fmd**, foramen mandibular; **fmp**, foramen maxilar posterior; **fo**, foramen oval; **frm**, fosa retromolar; **ft**, expansión distal de la fenestra timpánica; **I**, incisivo superior; **i**, incisivo inferior; **Ma**, mastoideo; **mae**, meato acústico externo; **mma**, muesca mandibular; **mm**, muesca maseterica; **pan**, proceso angular; **M1**, primer molar superior; **m1**, primer molar inferior; **M2**, segundo molar superior; **m2**, segundo molar inferior; **M3**, tercer molar superior; **m3**, tercer molar inferior; **pcr**, proceso coronoideo; **ppc**, proceso postcondiloideo; **ppo**, proceso postorbitario; **pppa**, proceso medio posterior del palatino; **P4**, premolar superior; **p4**, premolar inferior.

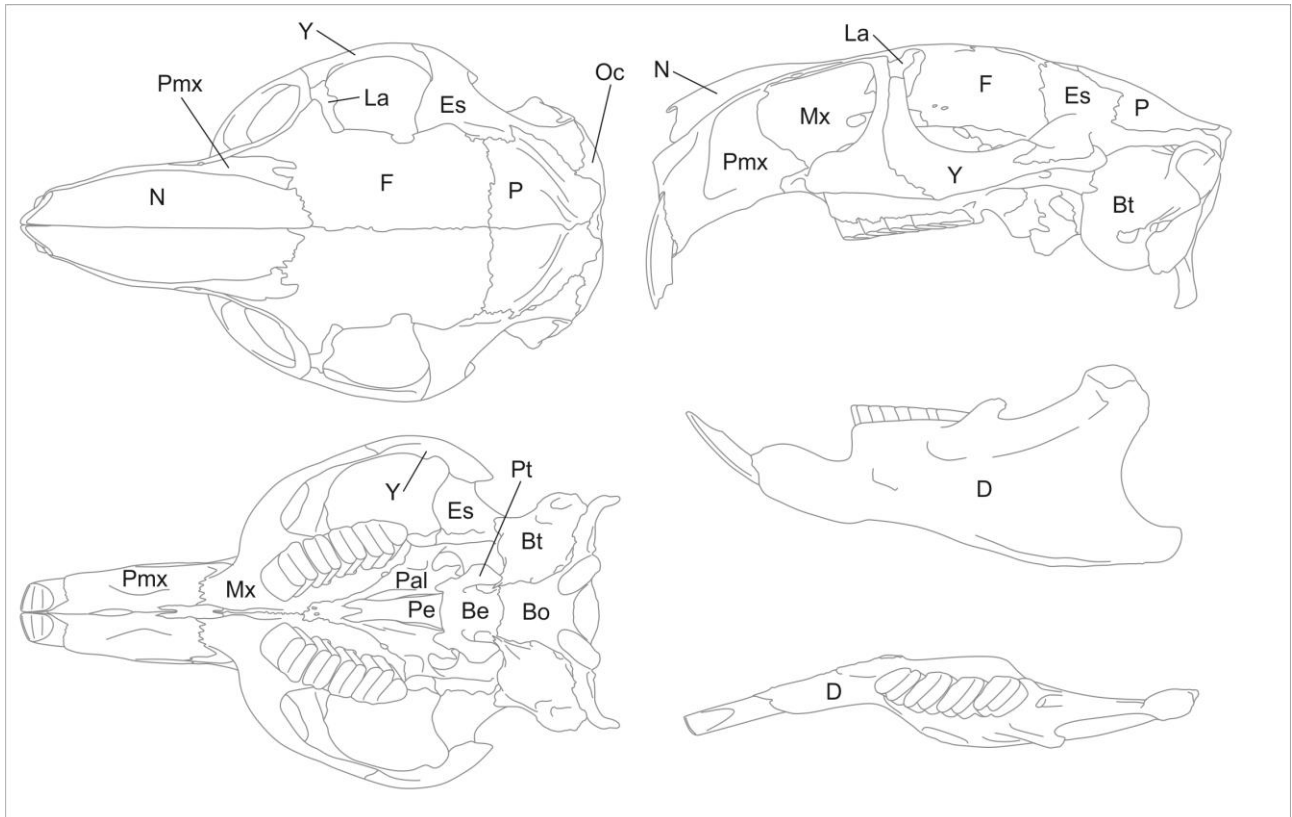


Figura 2.2. Abreviaturas de los huesos craneanos utilizadas. **Be**, basiesfenoides; **Bo**, basioccipital; **Bt**, bulla timpánica; **D**, dentario; **F**, frontal; **La**, lagrimal; **Mx**, maxilar; **N**, nasal; **Oc**, occipital (So+Eo+Bo); **P**, parietal; **Pal**, palatino; **Pe**, presfenoides; **Pmx**, premaxilar; **Pt**, pterigoides; **Es**, escamoso; **Y**, yugal.

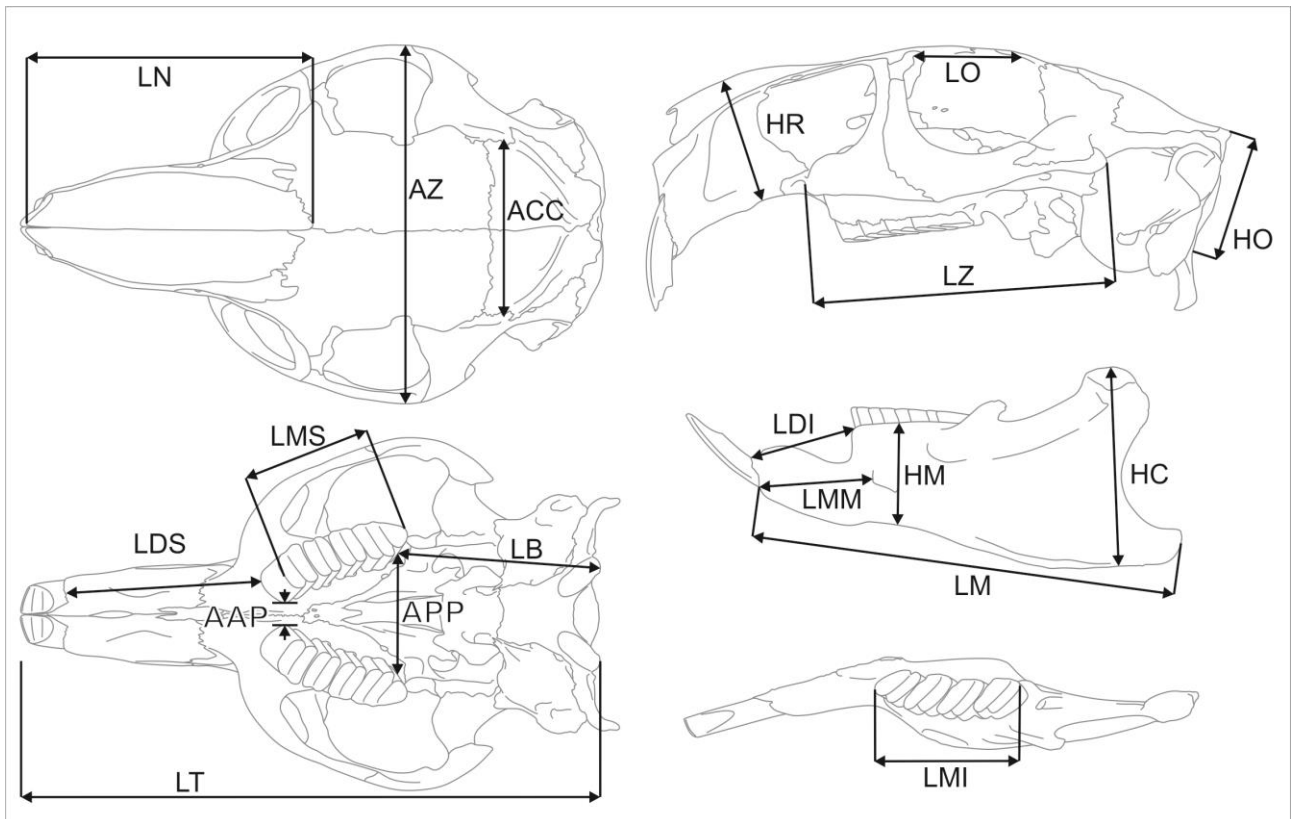


Figura 2.3. Medidas craneanas utilizadas en el análisis alométrico de *Lagostomus maximus*. **AAP**, ancho anterior del paladar; **ACC**, ancho de la caja craneana; **APP**, ancho posterior del paladar; **AZ**, ancho bicigomático; **HC**, altura del cóndilo; **HM**, altura del cuerpo mandibular medido entre el m1 y el m2; **HO**, altura occipital; **HR**, altura del rostro; **LB**, longitud del basicráneo; **LDI**, longitud del diastema inferior; **LDS**, longitud del diastema superior; **LM**, longitud mandibular; **LMI**, longitud de la serie molar inferior; **LMM**, longitud anterior a la muesca masetérica; **LMS**, longitud de la serie molar superior; **LN**, longitud de los nasales; **LO**, longitud de la órbita; **LT**, longitud total; **LZ**, longitud cigomática.

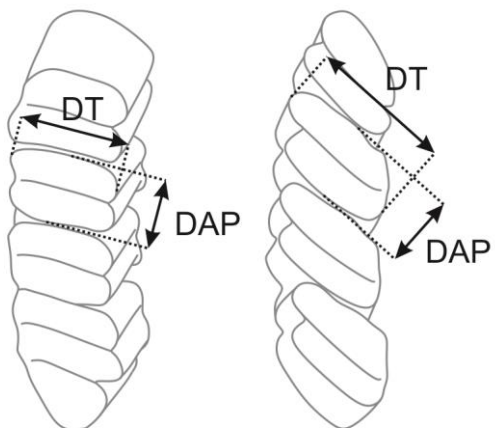


Figura 2.4. Medidas dentarias utilizadas de la serie dentaria superior (izquierda) e inferior (derecha) en el análisis cuantitativo de las especies fósiles de *Lagostomus*.
DAP, diámetro anteroposterior; **DT**, diámetro transverso.

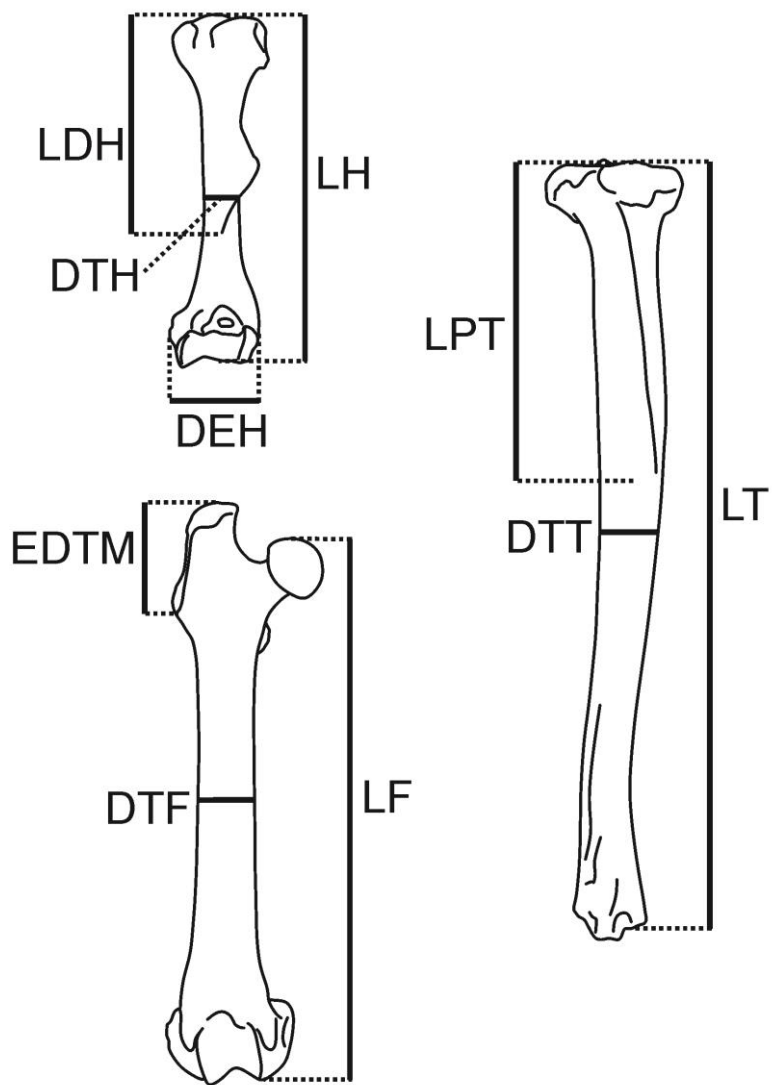


Figura 2.5. Medidas utilizadas en el análisis cuantitativo de los huesos largos de chinchillidos fósiles. DEH, diámetro de los epicóndilos; DTF, diámetro transverso del fémur; DTH, diámetro transverso del humero; DTT, diámetro transverso de la tibia; EDTM, extensión distal del trocánter mayor; LDH, largo deltoideo del humero; LF, largo funcional del fémur; LH, largo funcional del humero; LPT, largo proximal de la tibia; LT, largo funcional de la tibia.

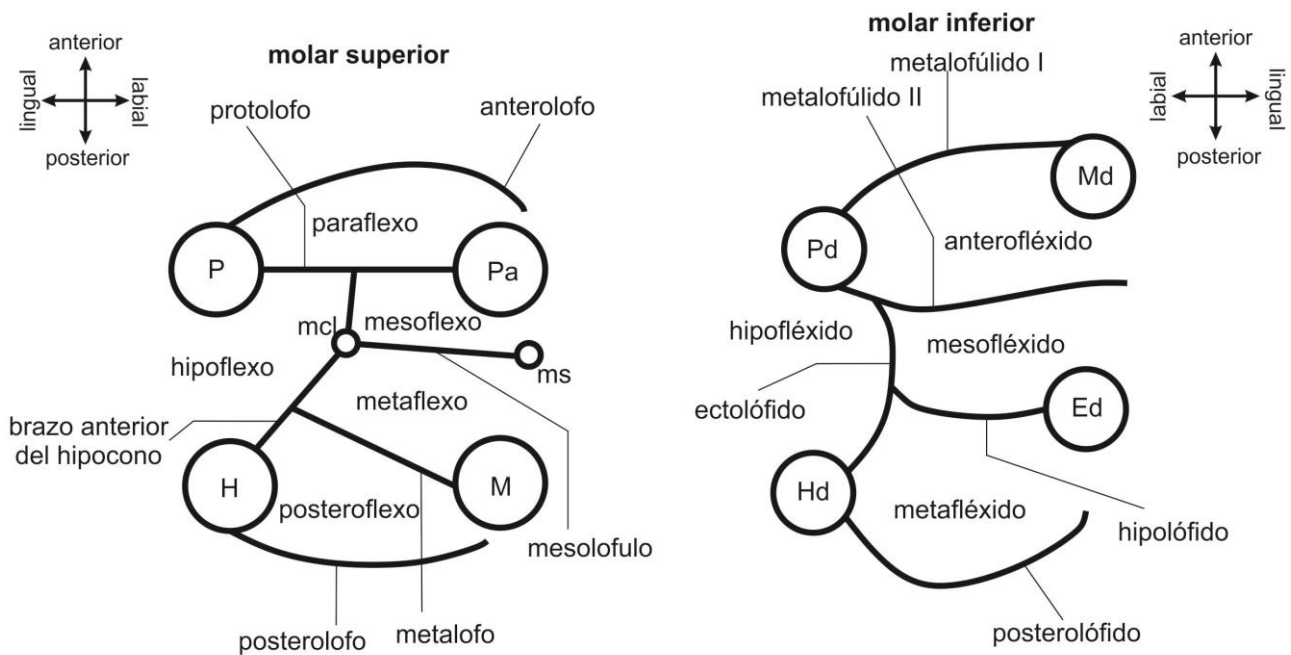


Figura 2.6. Nomenclatura dentaria. **Ed**, entocónido; **H**, hipocono; **Hd**, hipocónido; **M**, metacono; **mcl**, metacónulo; **Md**, metacónido; **ms**, mesostilo; **P**, protocono; **Pa**, paracono; **Pd**, protocónido. Modificado de Candela, 1999; Candela y Rasia, 2012; Marivaux et al., 2001, 2004.

Capítulo 3 – Variación morfológica en *Lagostomus maximus*



Figura 3.1. Macho (izquierda) y hembra (derecha) de vizcacha viviente, *Lagostomus maximus*, exhibiendo dimorfismo sexual. Foto tomada por Alejandro Daniel Sánchez en el Parque Nacional El Palmar, provincia de Entre Ríos (www.fotonatura.org). Imagen reproducida con permiso del autor.

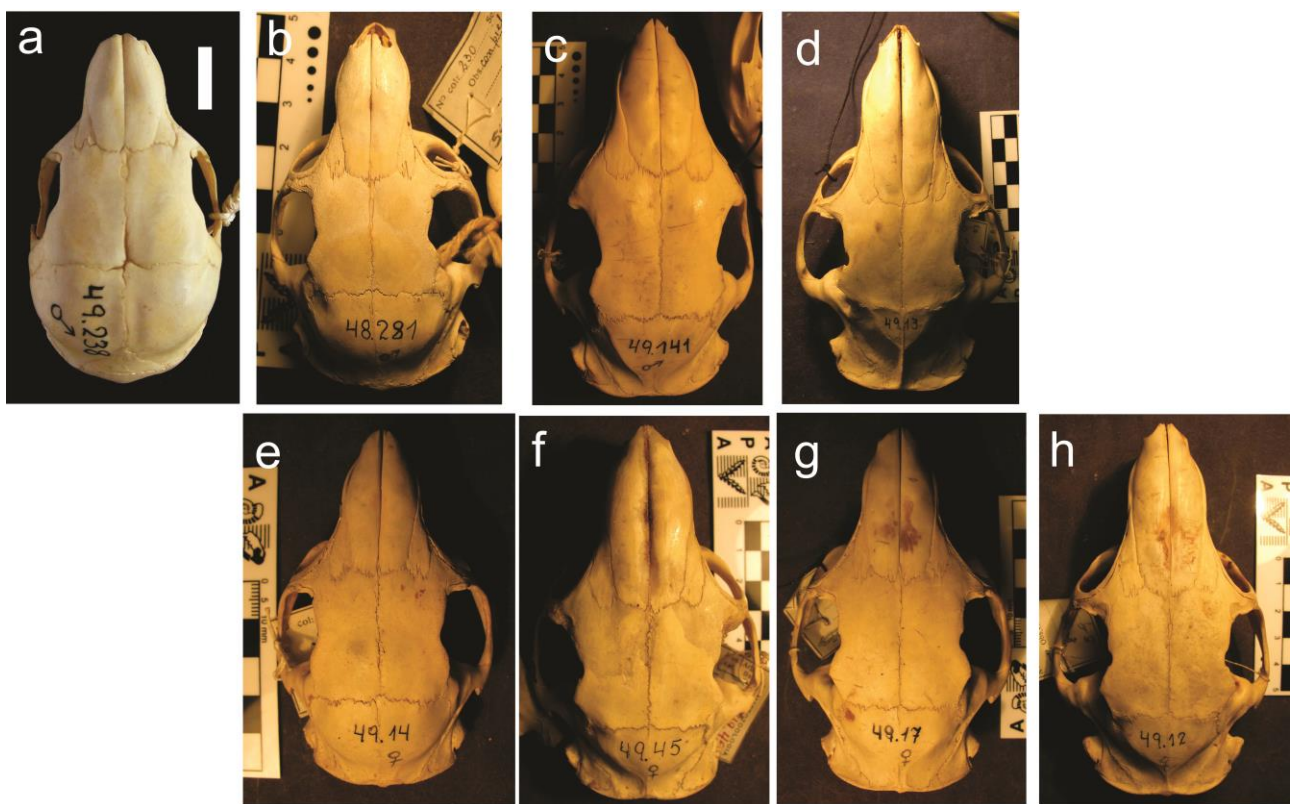


Figura 3.2. Cráneos en vista dorsal mostrando rangos de edad en machos (hilera superior) y hembras (hilera inferior) de *Lagostomus maximus*. **a**, Estado I, neonato; **b** y **e**, Estado II, juvenil; **c** y **f**, Estado III, subadulto; **d** y **g**, Estado IV, adulto; **h**, Estado V, adulto.

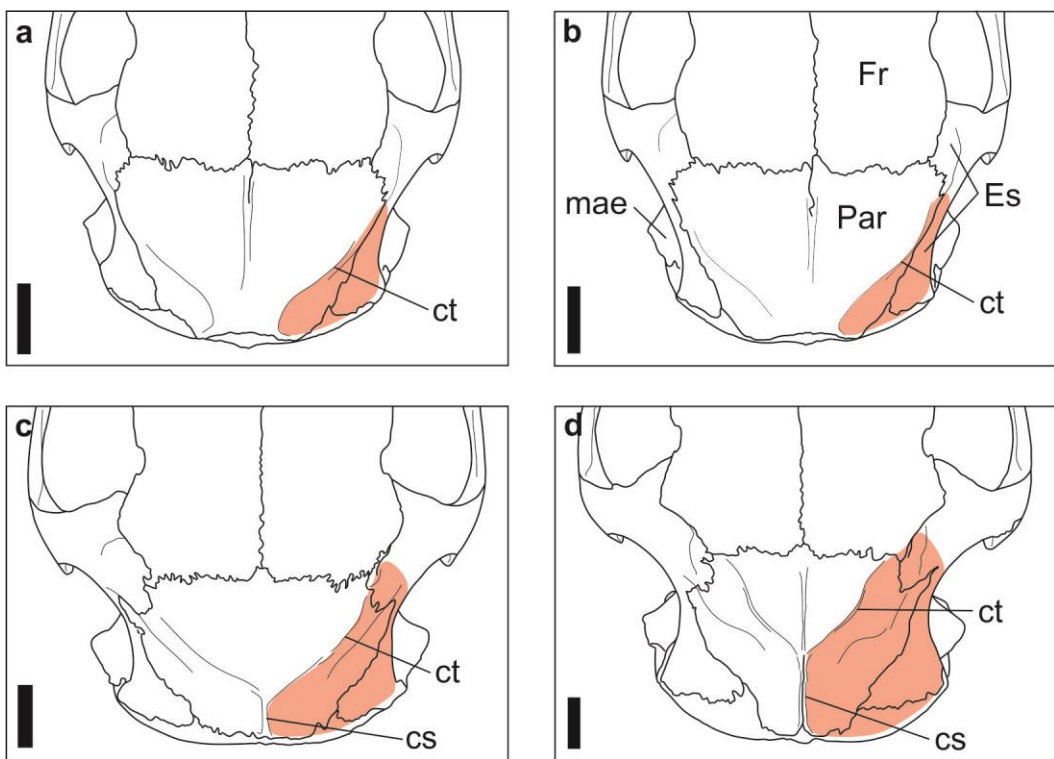


Figura 3.3. Comparación de la región temporal del cráneo en vista dorsal entre hembras y machos de *Lagostomus maximus*. **a**, MACN Mz 49.44, hembra juvenil; **b**, MACN Mz 49.5, macho juvenil; **c**, MACN Mz 49.43, hembra adulta; **d**, MACN Mz 48.276, macho adulto. cs, cresta sagital; ct, cresta temporal; Es, escamoso; Fr, frontal; mae, meato acústico externo; Par, parietal. El área coloreada indica el origen del músculo temporal. La barra equivale a 1 cm.

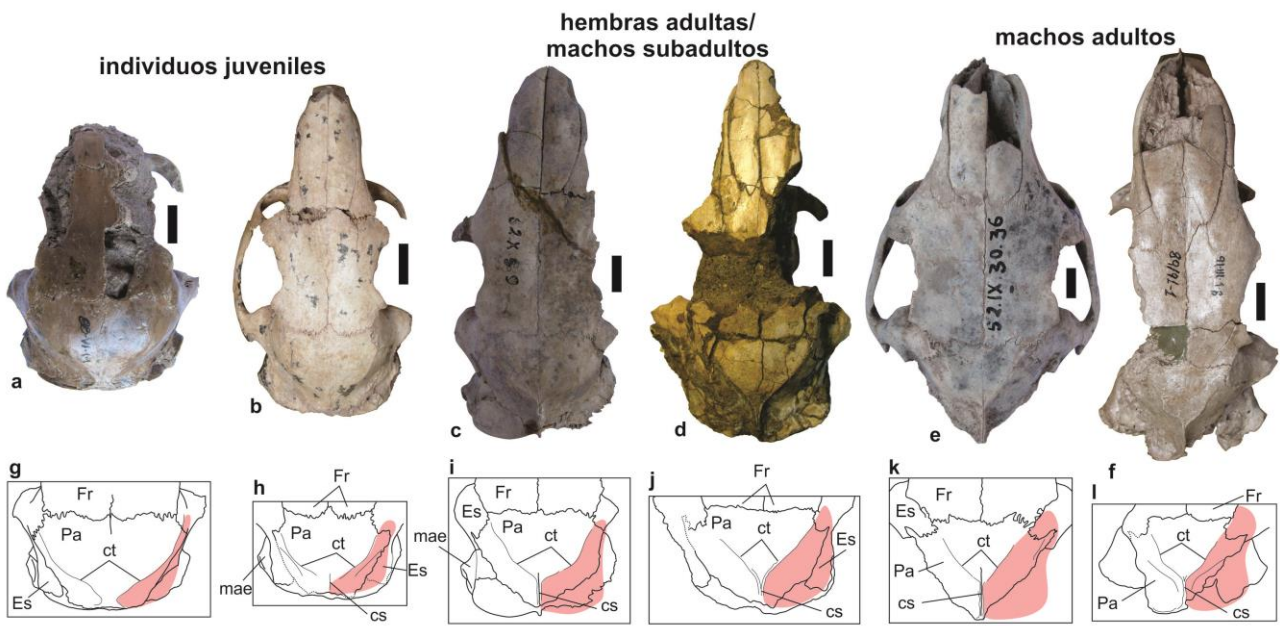


Figura 3.4. Posible dimorfismo sexual en individuos fósiles de *Lagostomus*. **a-f**, cráneos en vista dorsal; **g-l**, esquema de la región temporal. **a** y **g**, MLP Pv 88-VI-1-1, *Lagostomus euplasius*; **b** y **h**, MLP Pv 91-IV-5-258, *Lagostomus incisus*; **c** e **i**, MLP Pv 52-X-5-9, *Lagostomus cavifrons*; **d** y **j**, MACN Pv 8339, *Lagostomus pretrichodactyla*; **e** y **k**, MLP Pv 52-IX-30-36, *Lagostomus cavifrons*; **f** y **l**, MLP Pv 91-III-1-18, *Lagostomus incisus*. cs, cresta sagital; ct, cresta temporal; Es, escamoso; Fr, frontal; mae, meato acústico externo; Par, parietal. El área coloreada indica el origen del músculo temporal. La barra equivale a 1 cm.

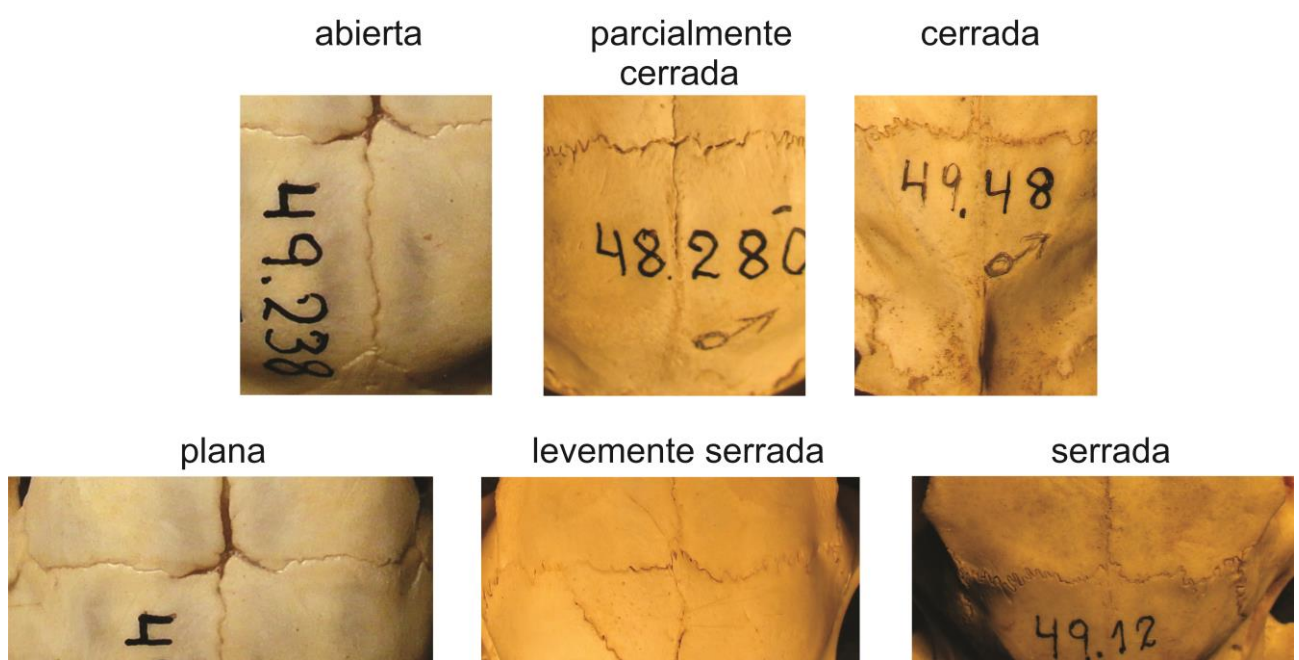


Figura 3.5. Clasificación de las suturas craneanas. Grados de cierre de la sutura parietal-parietal (fila superior) y forma de la sutura fronto-parietal (fila inferior).

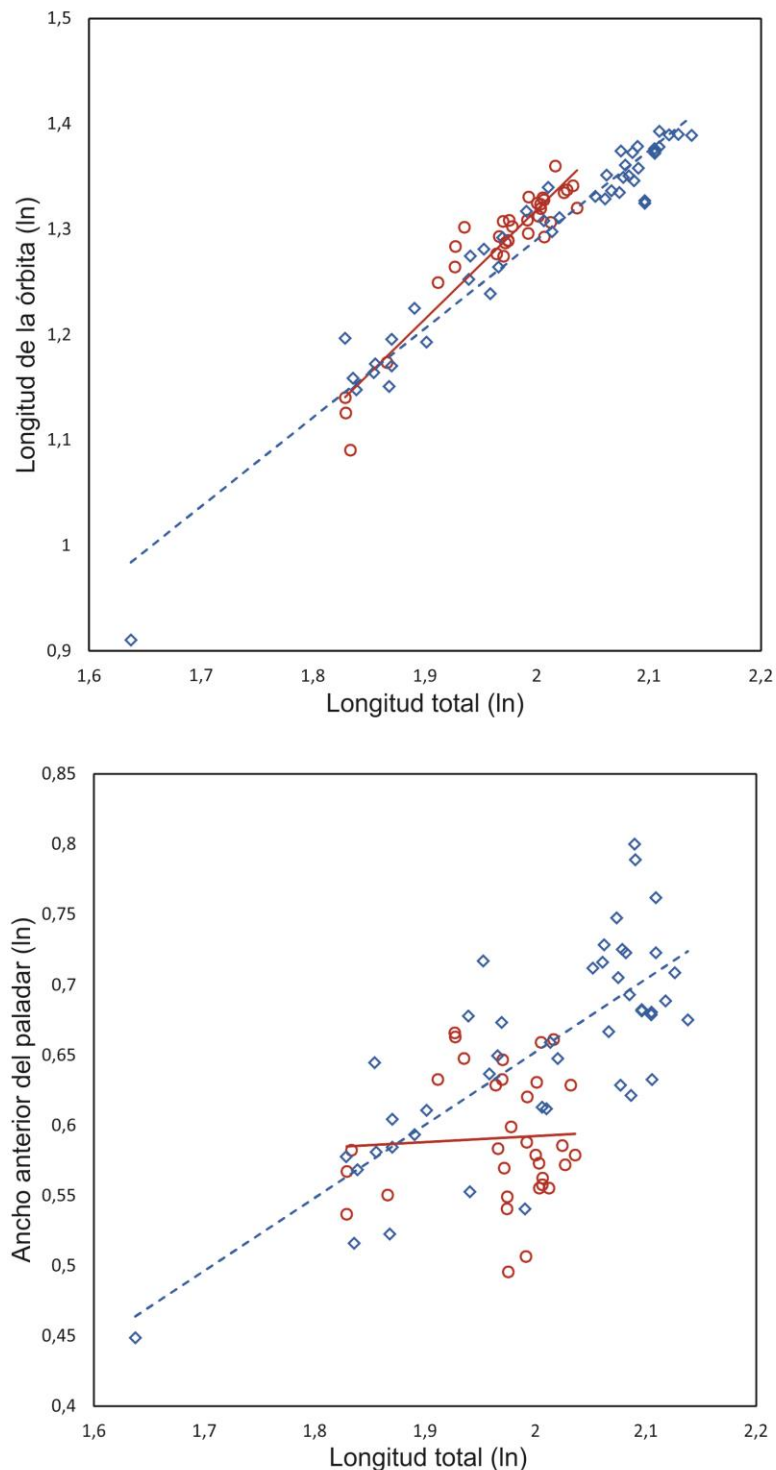


Figura 3.6. Gráficos bivariados de dos de las variables que mostraron mayor grado de dimorfismo en *Lagostomus maximus*, comparados con la longitud total. Hembras, círculos rojos; machos, rombos azules.

Capítulo IV – Paleontología sistemática de los Chinchillidae de Argentina

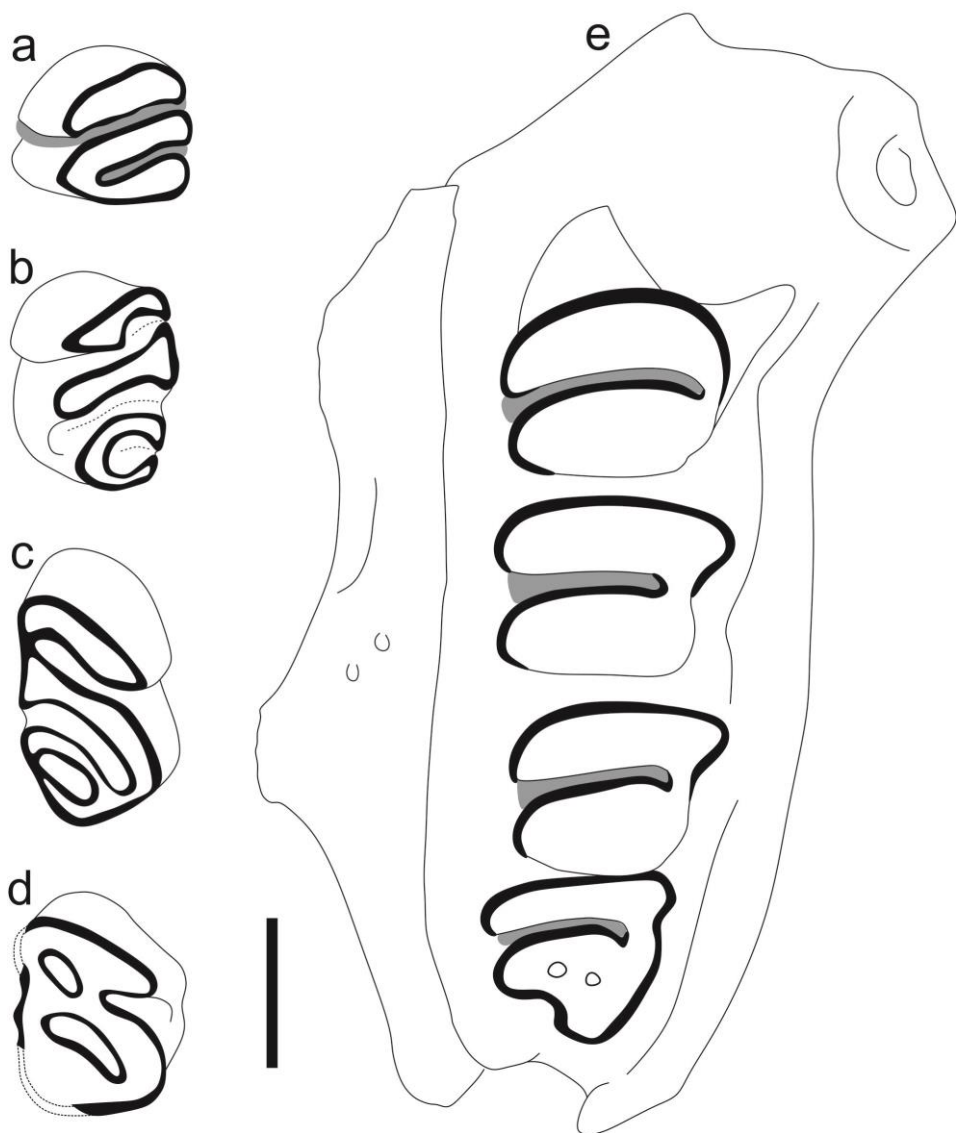


Figura 4.1. Esquema oclusal de Chinchillidae con DP4. **a**, Chinchillidae gen. et sp. indet. 1, MACN Pv SC2539, DP4 izquierdo. **b**, **c** y **d**, “*Eoviscaccia*” *australis*. **b**, MACN Pv CH 1872, DP4 izquierdo. **c**, MACN Pv CH 1873, DP4 derecho. **d**, MACN Pv CH 1874, DP4 derecho. **e**, *Prolagostomus* sp., MLP Pv 15-180, fragmento de paladar con DP4-M3 izquierdos (holotipo de “*Sphaeramys irruptus*”). La barra equivale a 0,2 cm. **a**, redibujado de Kramarz, 2002; **b**, **c** y **d**, redibujados de Kramarz, 2001a.

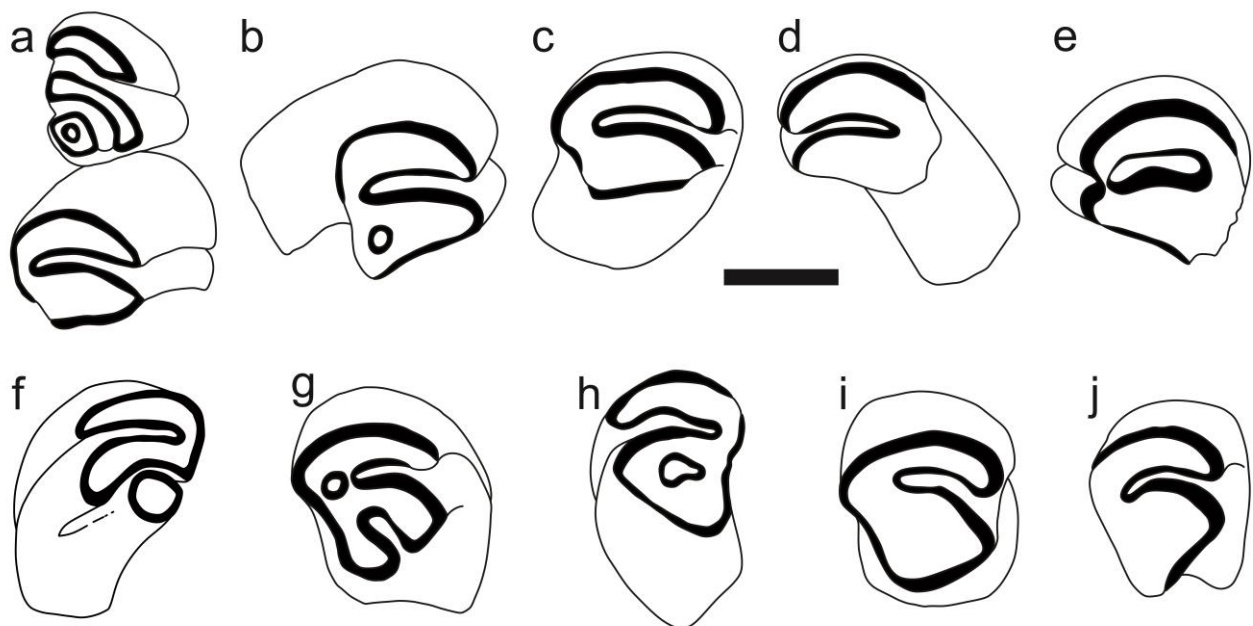


Figura 4.2. Dentición superior de “*Eoviscaccia*” *australis*. **a**, MACN CH 1862, P4 y M1 derechos asociados; **b**, MACN CH 1863, M1 o M2 derecho; **c**, MACN CH 1864, M1 o M2 izquierdo; **d**, MACN CH 1865, M1 o M2 derecho; **e**, MACN CH 1866, M1 o M2 izquierdo; **f**, MACN CH 1867, M3 izquierdo; **g**, MACN CH 1868, M3 derecho; **h**, MACN CH 1869, M3 izquierdo; **i**, MACN CH 1870, M3 derecho. La barra equivale a 0,2 cm. Redibujado de Kramarz, 2001a.

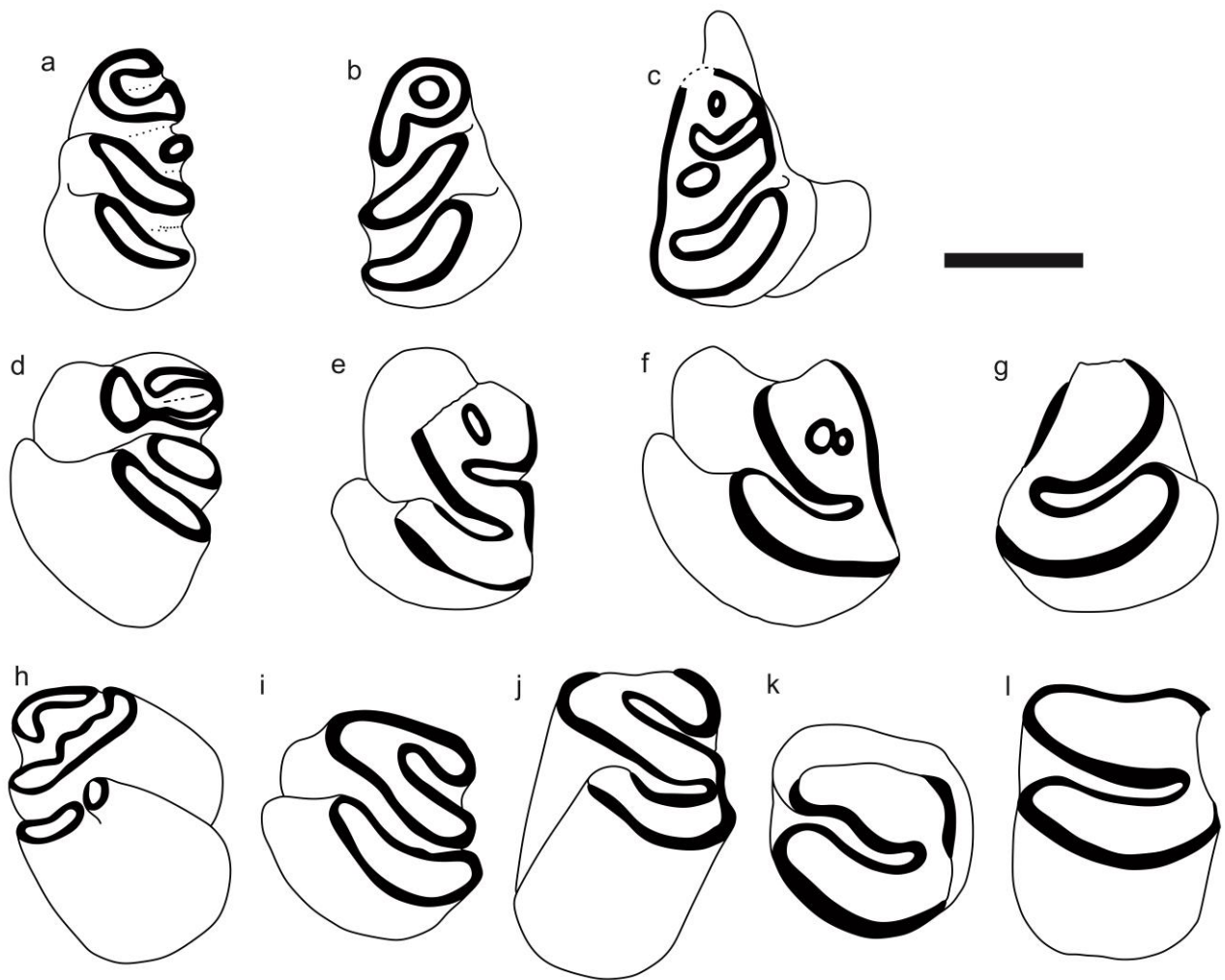


Figura 4.3. Denticción inferior de “*Eoviscaccia*” *australis*. **a**, MACN CH 1884, dp4 izquierdo; **b**, MACN CH 1885, dp4 derecho; **c**, MACN CH 1886, dp4 derecho; **d**, MACN CH 1875, p4 izquierdo; **e**, MACN CH 1876, p4 izquierdo; **f**, MACN CH 1877, p4 izquierdo; **g**, MACN CH 1878, p4 derecho; **h**, MACN CH 1879, m1 o m2 derecho; **i**, MACN CH 1880, m1 o m2 izquierdo; **j**, MACN CH 1881, m1 o m2 izquierdo; **k**, MACN CH 1883, m1 o m2 izquierdo; **l**, MACN CH 1882, m1 o m2 izquierdo. La barra equivale a 0,2 cm. Redibujado de Kramarz, 2001a.

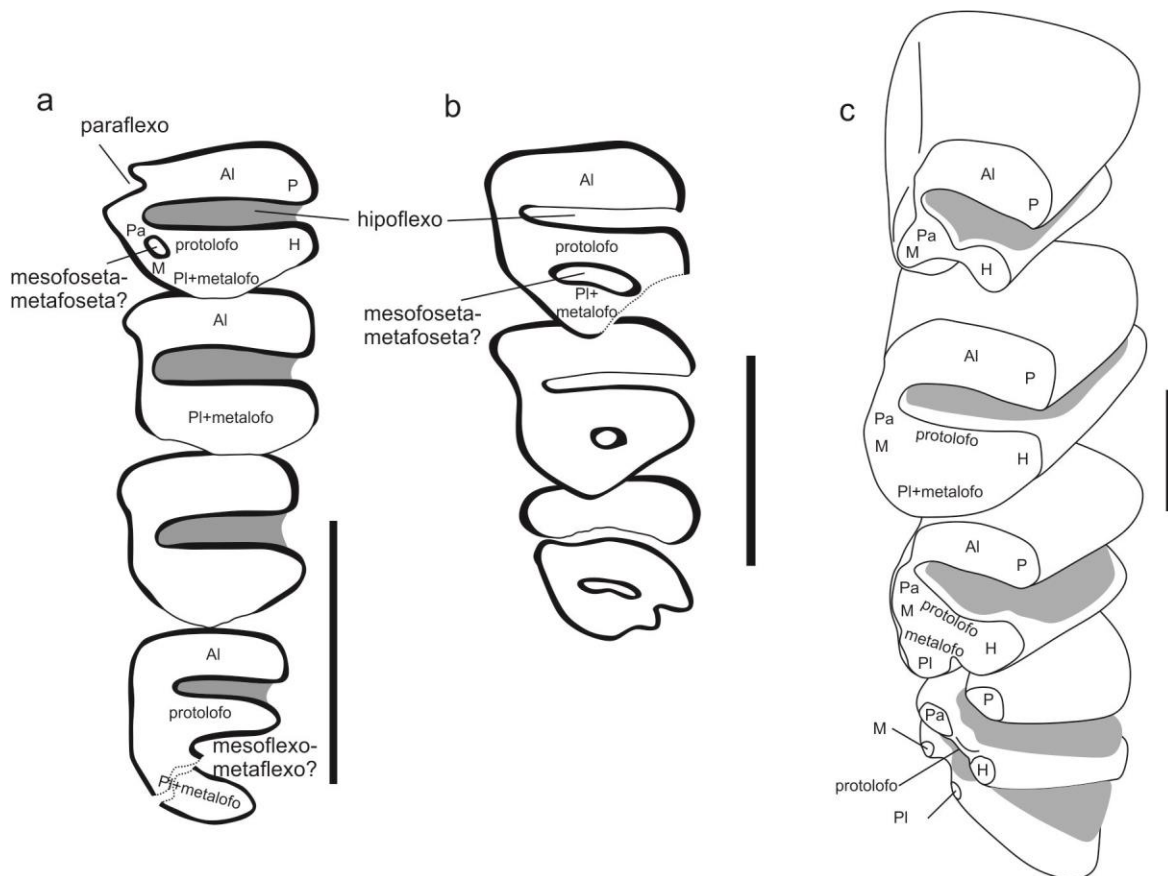


Figura 4.4. Esquema oclusal de molariformes superiores con poco desgaste de Lagostominae. **a**, *Prolagostomus pusillus*, MLP Pv 15-136, P4-M3 derechos (holotipo); **b**, *Prolagostomus* sp., MLP Pv 15-87, P4-M2 derechos (holotipo de “*Scotaeumys imminutus*”); **c**, *Lagostomus maximus*, MACN Mz 49.238, P4-M3 de un individuo neonato. Al, anterolofo; H, área del hipocono; M, área del metacono; P, área del protocono; Pa, área del paracono; Pl, posterolofo. La barra equivale a 0,25 cm.

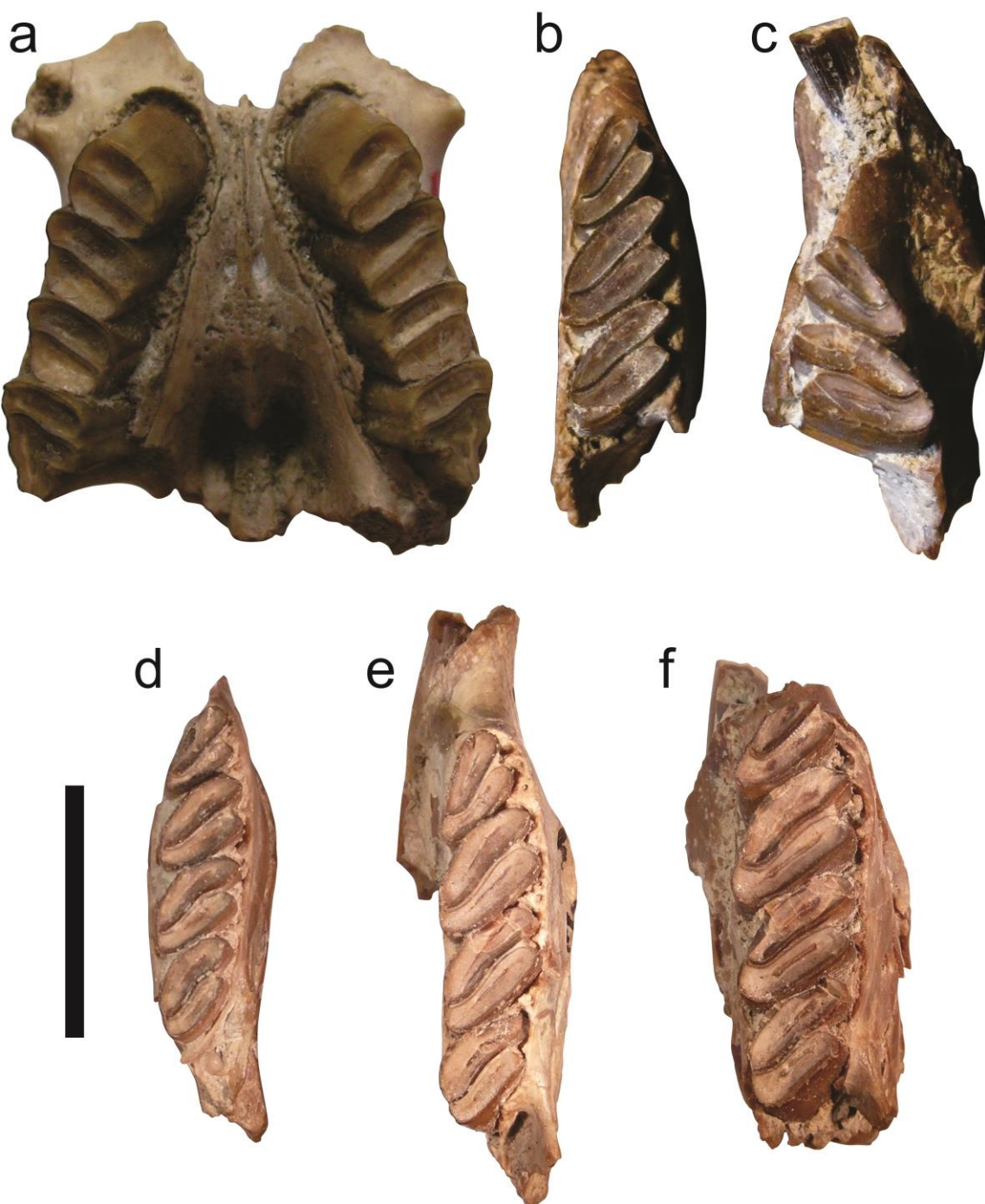


Figura 4.5. *Prolagostomus pusillus*. **a**, MLP Pv 15-152 (tipo de “*Pr. divisus*”), paladar en vista ventral; **b**, MLP Pv15-88 (paratipo de “*Pr. profluens*”), mandíbula derecha en vista dorsal; **c**, MLP Pv 15-115 (tipo de “*Pr. imperialis*”), mandíbula izquierda en vista dorsal; **d**, MACN A 394 (tipo de “*L. primigenius*”), mandíbula derecha en vista oclusal; **e**, MACN A 392a (sintipo de “*L. lateralis*”), mandíbula derecha en vista oclusal; **f**, MACN A 392b (sintipo de “*L. lateralis*”), mandíbula derecha en vista oclusal. La barra equivale a 1 cm.

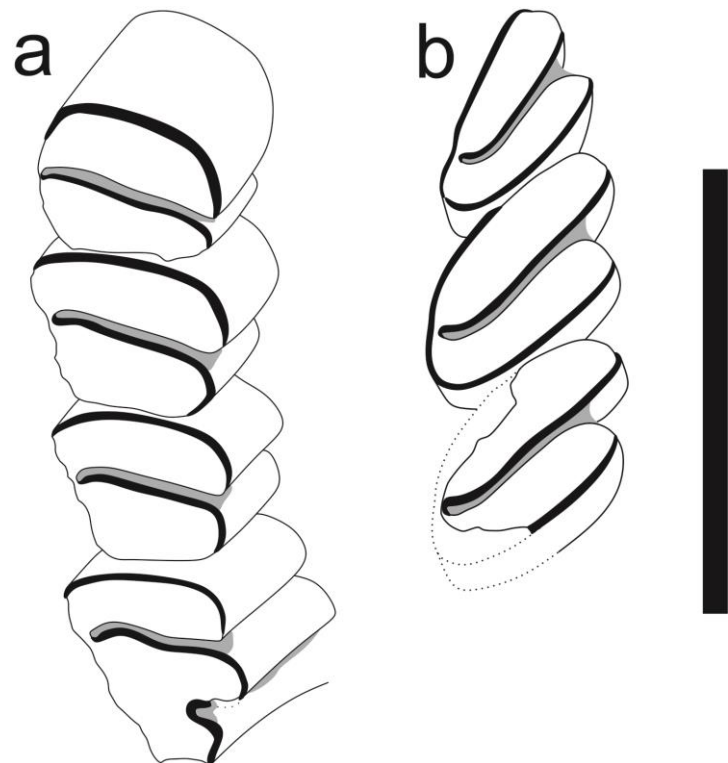


Figura 4.6. *Prolagostomus pusillus*. Esquemas de la morfología oclusal de los molariformes superiores (a) e inferiores (b). a, MLP Pv 15-152; b, MLP Pv 15-88. La barra equivale a 1 cm.

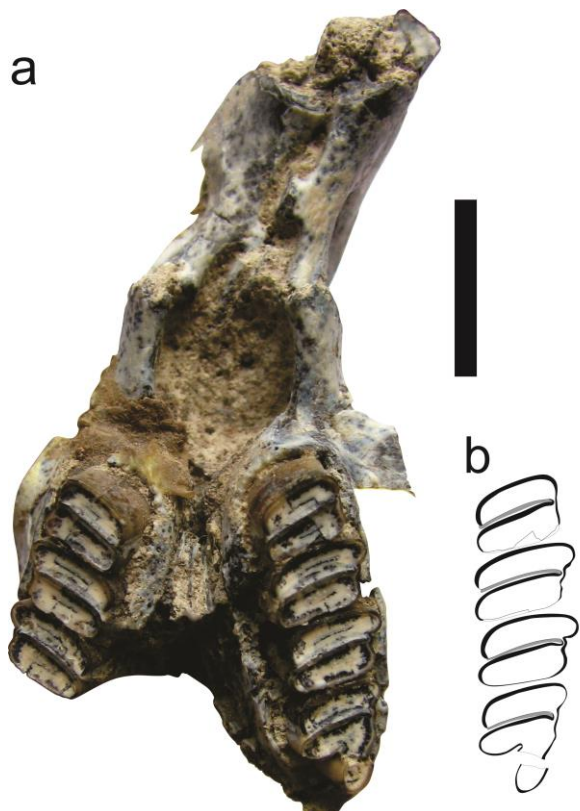


Figura 4.7. *Prolagostomus rosendoi*. **a-b**, MLP Pv 76-VIII-30-3, holotipo, cráneo en vista ventral (**a**) y esquema de la morfología oclusal de los molariformes superiores (**b**). La barra equivale a 1 cm.

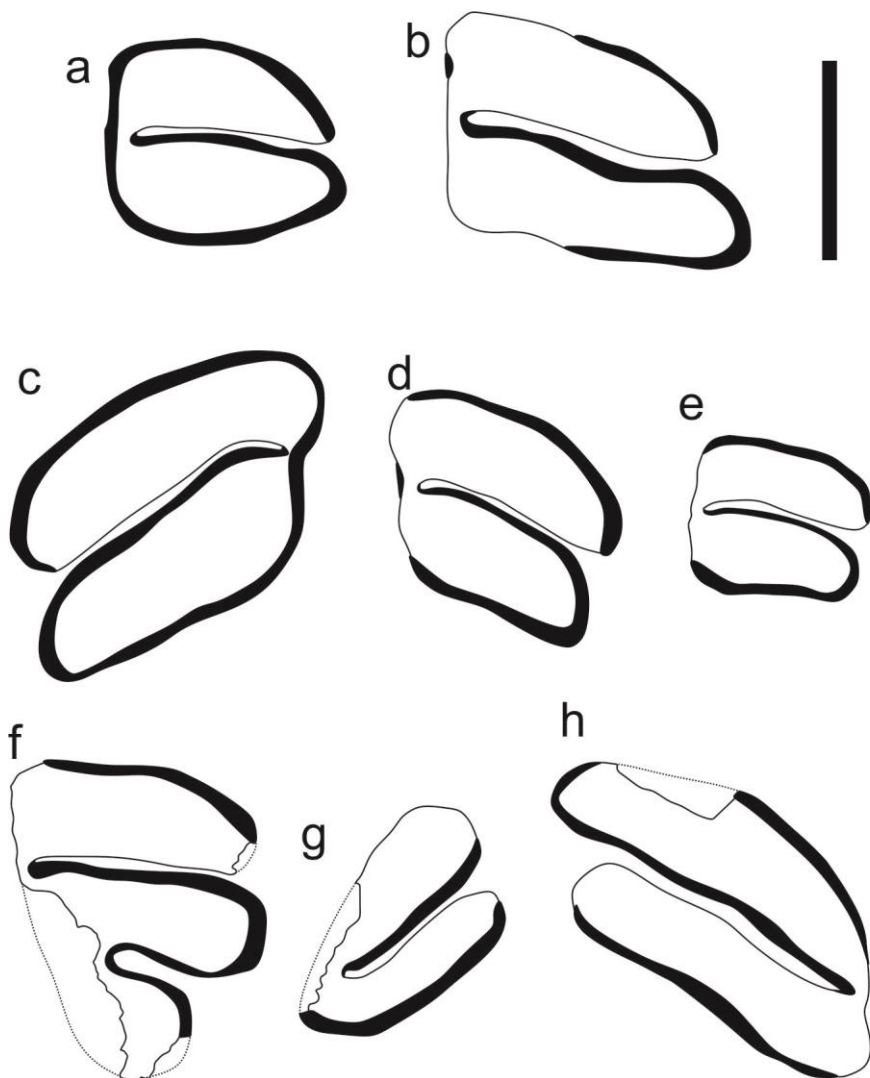


Figura 4.8. *Prolagostomus* sp. 1. Esquemas de la morfología oclusal de molariformes aislados. **a**, MACN Pv SC2538, P4 derecho; **b**, MACN Pv SC2766, P4? derecho; **c**, MACN Pv SC2596, molar superior izquierdo; **d**, MACN Pv SC2597, molar superior derecho; **e**, MACN Pv SC2599, molar superior derecho; **f**, MACN PvSC2598, M3 derecho; **g**, MACN Pv SC2768, p4 derecho; **h**, MACN Pv SC2767, molar inferior izquierdo. La barra equivale a 0,2 cm. Redibujado de Kramarz, 2002. El cemento no está esquematizado.

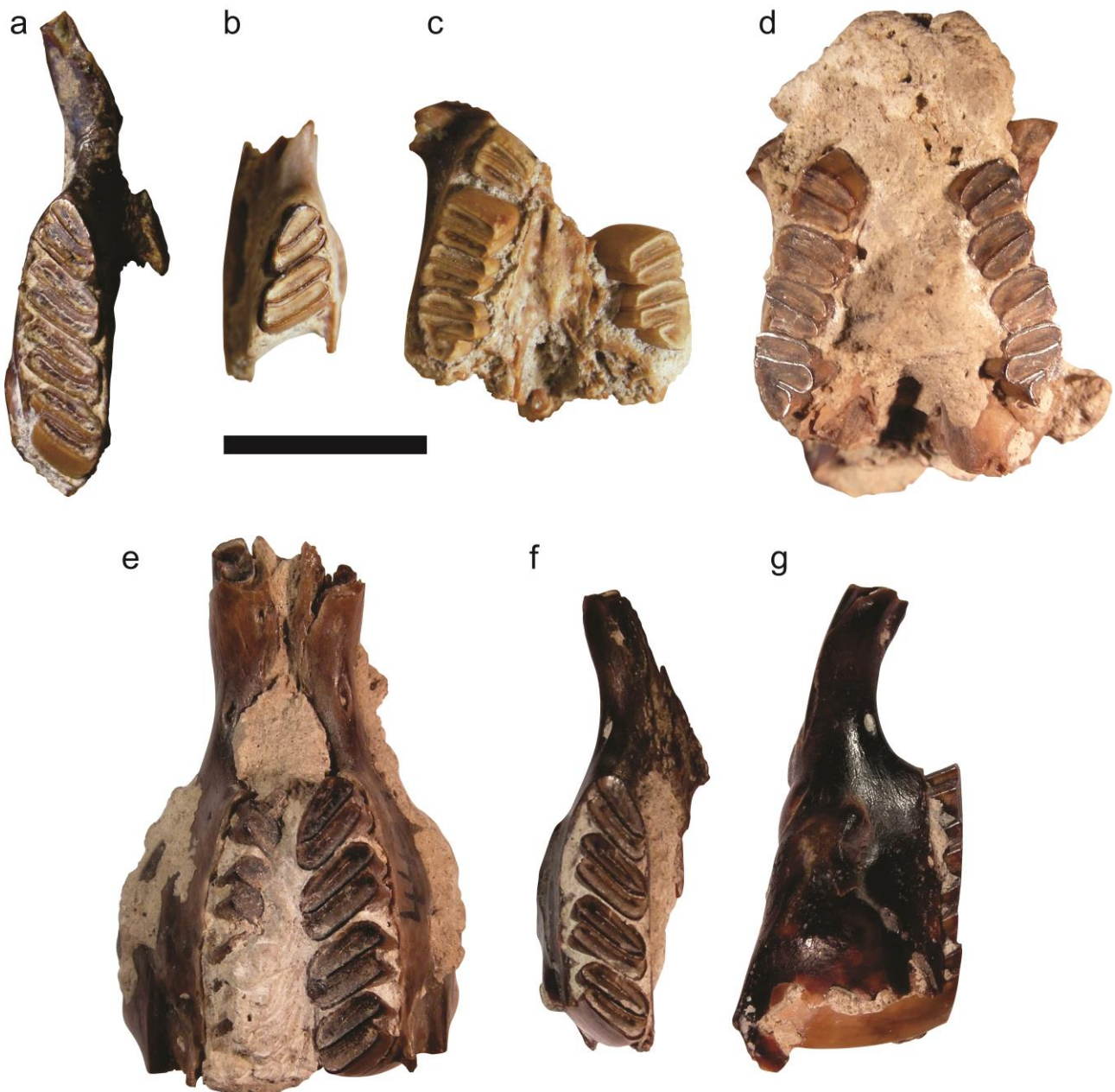


Figura 4.9. “*Pliolagostomus*” *notatus*. **a**, MLP Pv 15-18, holotipo, mandíbula izquierda en vista oclusal; **b**, MLP Pv 15-171, mandíbula derecha en vista oclusal; **c**, MLP Pv 15-100, paladar en vista ventral; **d**, MACN A 4438, fragmento de cráneo en vista ventral; **e**, MACN A 4439, mandíbulas en vista oclusal; **f-g**, MACN A 4440, mandíbula izquierda en vista oclusal (**f**) y lateral (**g**). La barra equivale a 1 cm.

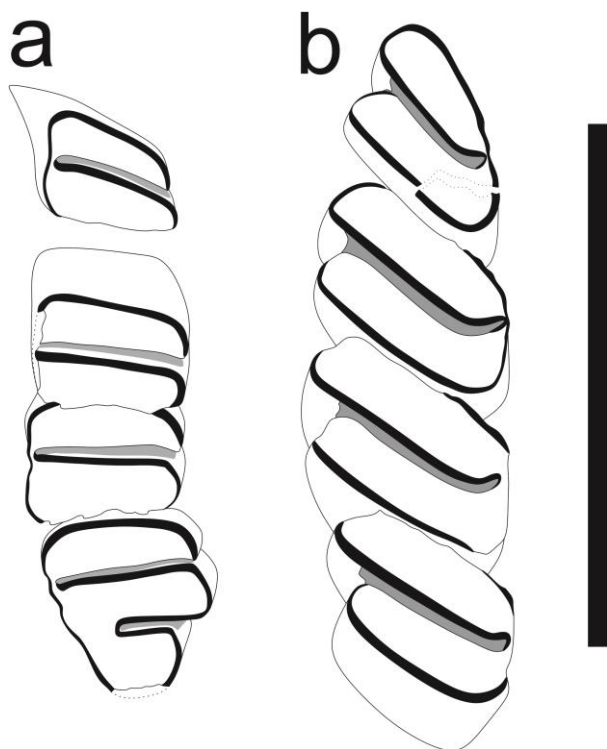


Figura 4.10. “*Pliolagostomus*” *notatus*. Esquemas de la morfología oclusal de los molariformes superiores (a) e inferiores (b). a, MLP Pv 15-100; b, MLP Pv 15-18, holotipo. La barra equivale a 1 cm.

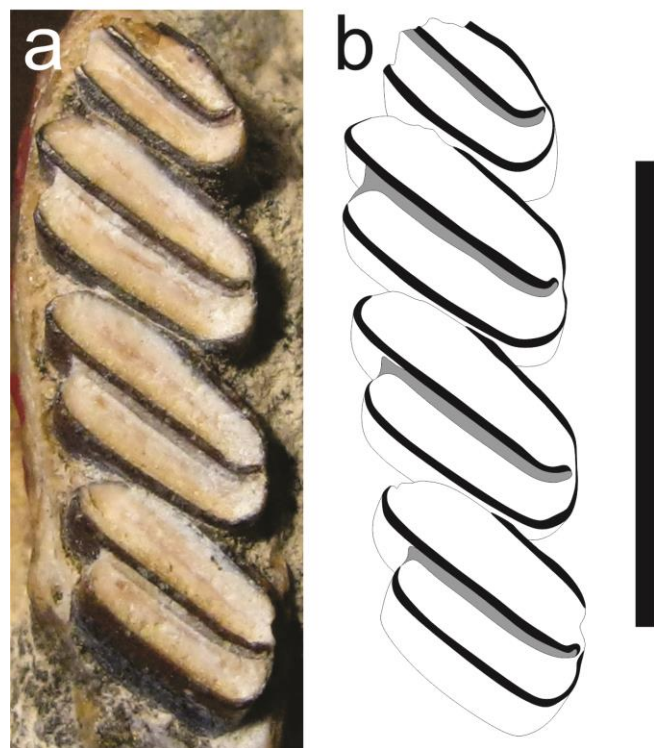


Figura 4.11. “*Pliolagostomus*” *friasensis*. **a-b**, MLP Pv 15-419, holotipo, serie p4-m3 izquierda (**a**) y esquema de la morfología oclusal (**b**). La barra equivale a 1 cm.

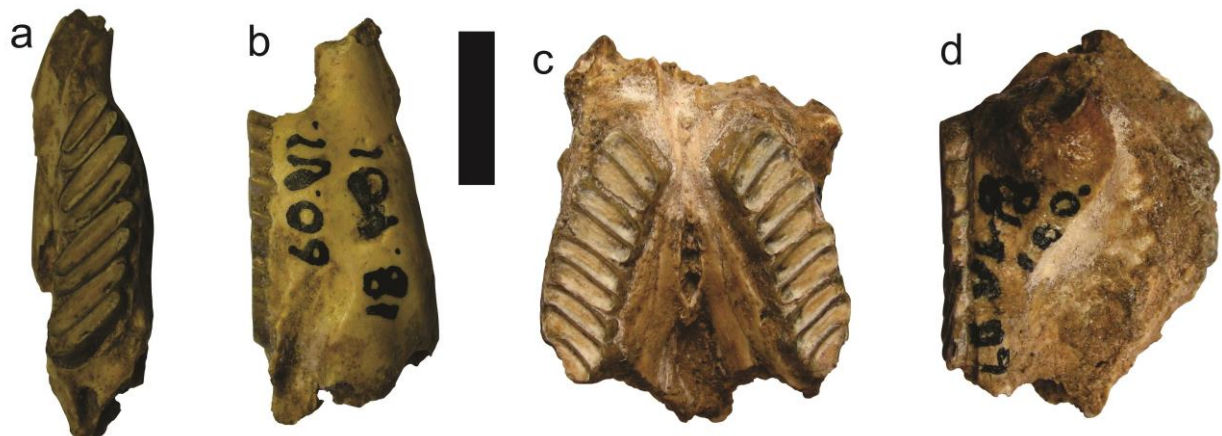


Figura 4.12. *Lagostomus* sp. nov. A. **a**, **b**, MLP Pv 60-VI-18-101, mandíbula derecha en vista dorsal (**a**) y lateral (**b**); **c**, **d**, MLP Pv 60-VI-18-100, holotipo, paladar en vista ventral (**c**) y lateral (**d**). Barra equivale a 1 cm.

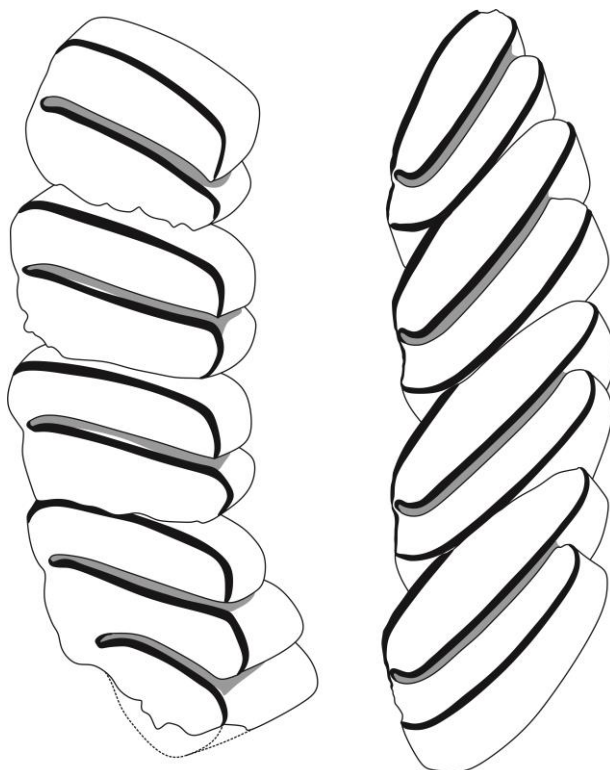


Figura 4.13. *Lagostomus* sp. nov. A. Esquema de la morfología oclusal de los molariformes superiores (**a**) e inferiores (**b**). **a**, MLP Pv 60-VI-18-100; **b**, MLP Pv 60-VI-18-101. La barra equivale a 1 cm.

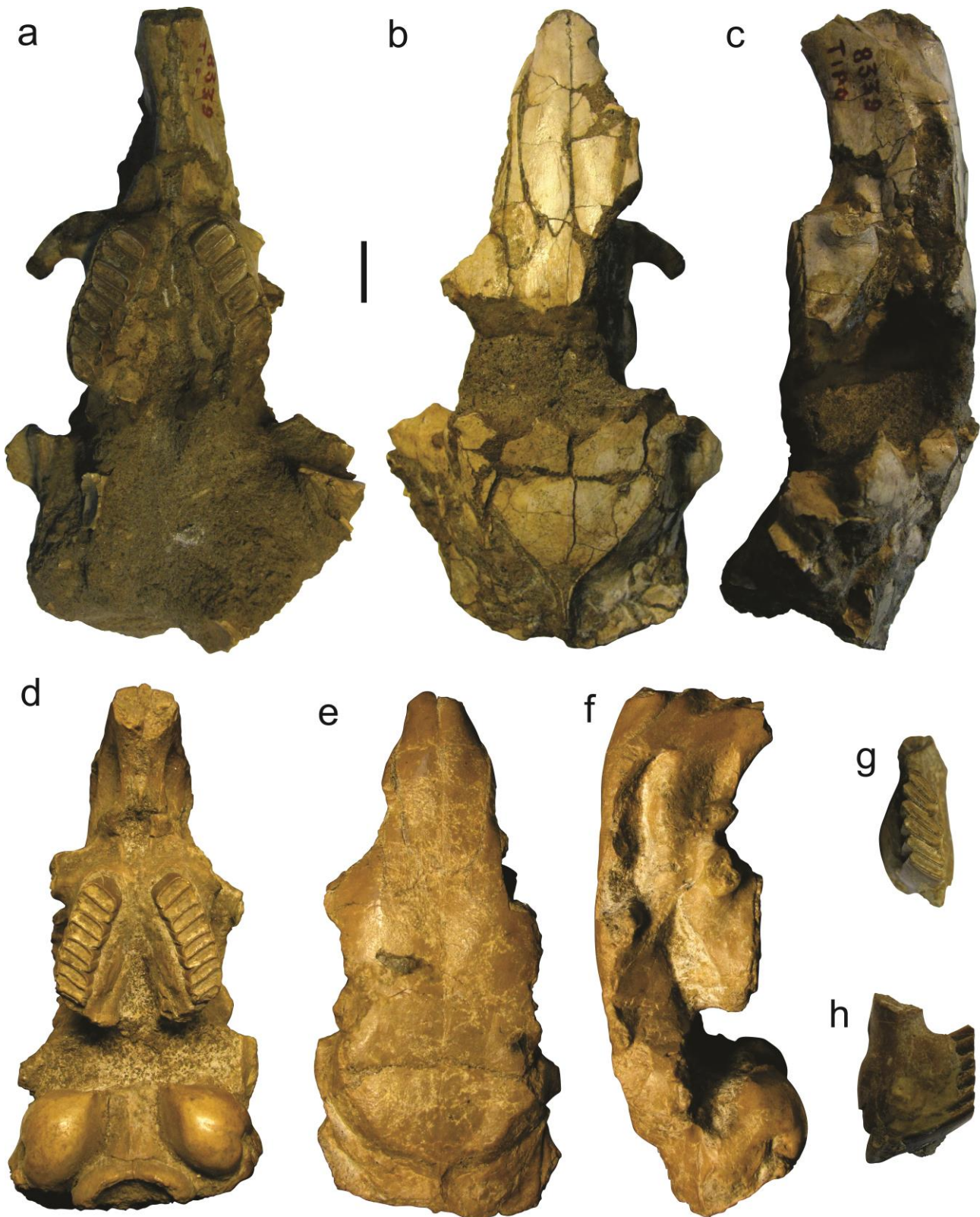


Figura 4.14. *Lagostomus pretrichodactyla*. a-c, holotipo, MACN Pv 8339, holotipo, cráneo en vista dorsal (a), lateral (b) y ventral (c); d-h, MACN Pv 8345, cráneo en vista ventral (d), dorsal (e) y lateral (f), mandíbula izquierda en vista dorsal (g) y lateral (h). La barra equivale a 1 cm.

L. L. Rasia – Los Chinchillidae fósiles de la República Argentina

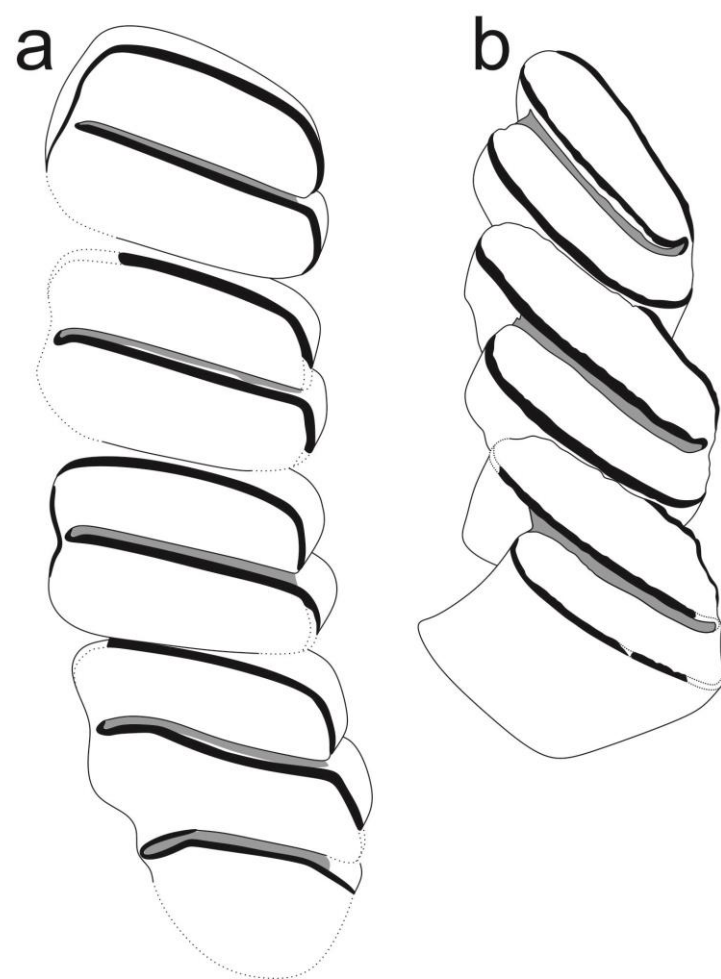


Figura 4.15. *Lagostomus pretrichodactyla*. Esquema de la morfología oclusal de los molariformes superiores (a) e inferiores (b). a y b, MACN Pv 8345.

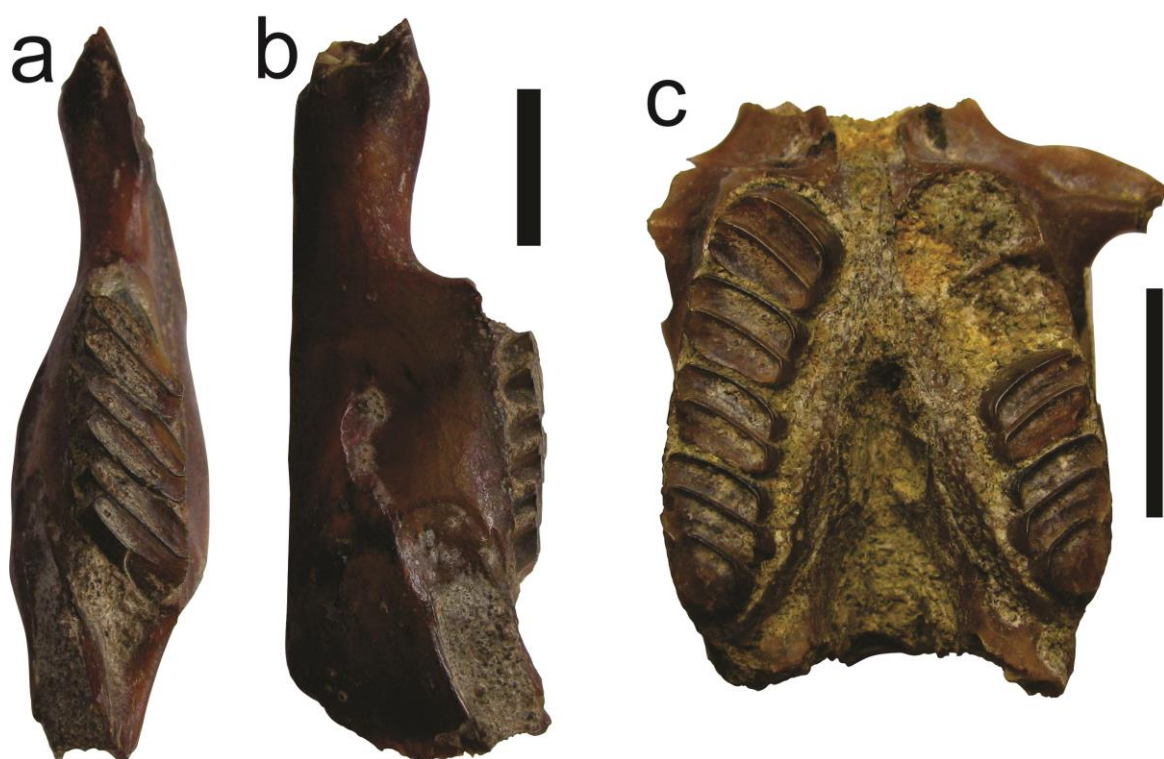


Figura 4.16. *Lagostomus antiquus*. **a-b**, MASP 32, holotipo, mandíbula en vista dorsal (**a**) y lateral (**b**); **c**, MLP Pv 97-X-3-1a, paladar en vista ventral. La barra equivale a 1 cm.

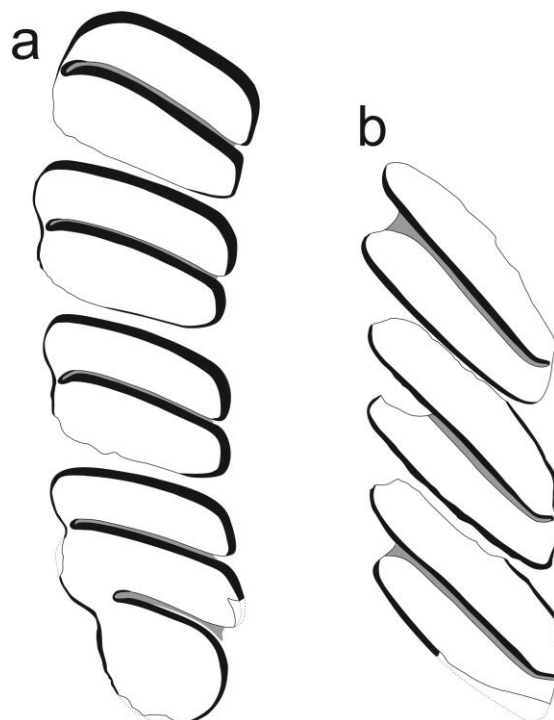


Figura 4.17. *Lagostomus antiquus*. Esquema de la morfología oclusal de los molariformes superiores (**a**) e inferiores (**b**). **a**, MLP Pv 97-X-3-1a; **b**, holotipo, MASP 32.

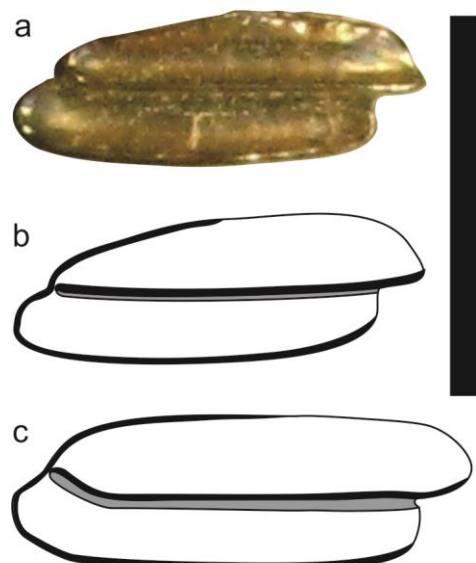


Figura 4.18. *Lagostomus laminosus*. **a-b**, MACN A 8883a, holotipo, molariforme inferior en vista oclusal (**a**) y esquema (**b**); **c**, MACN Pv 5884a, esquema oclusal de un molariforme inferior. La escala equivale a 0,5 cm.



Figura 4.19. “*Lagostomus pallidens*”. **a**, MASP 30, holotipo, fragmento sinfisario mandibular e incisivo derecho en vista lateral; **b**, MASP 31, fragmento mandibular izquierdo con p4-m3 en vista lateral. La escala equivale a 1 cm.

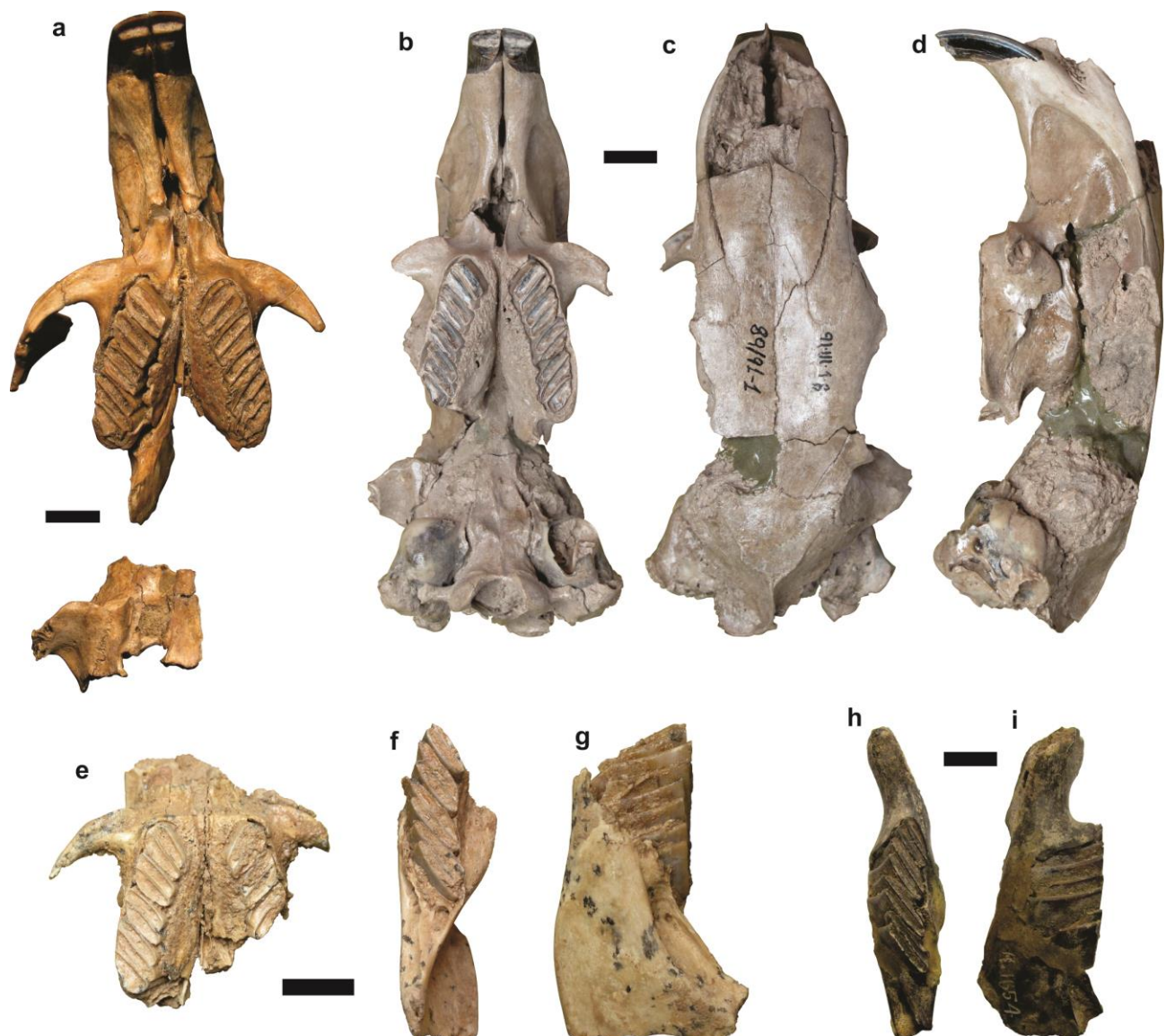


Figura 4.20. *Lagostomus incisus*. **a**, MACN A 1112, neotipo, cráneo en vista ventral. **b-d**, MLP Pv 91-III-1-18, cráneo en vista ventral (**b**), dorsal (**c**) y lateral (**d**); **e-g**, MLP Pv 88-VI-1-2, paladar en vista ventral (**e**), mandíbula izquierda en vista dorsal (**f**) y lateral (**g**); **h, i**, MACN A 1654, mandíbula izquierda en vista dorsal (**h**) y lateral (**i**). La barra equivale a 1 cm.

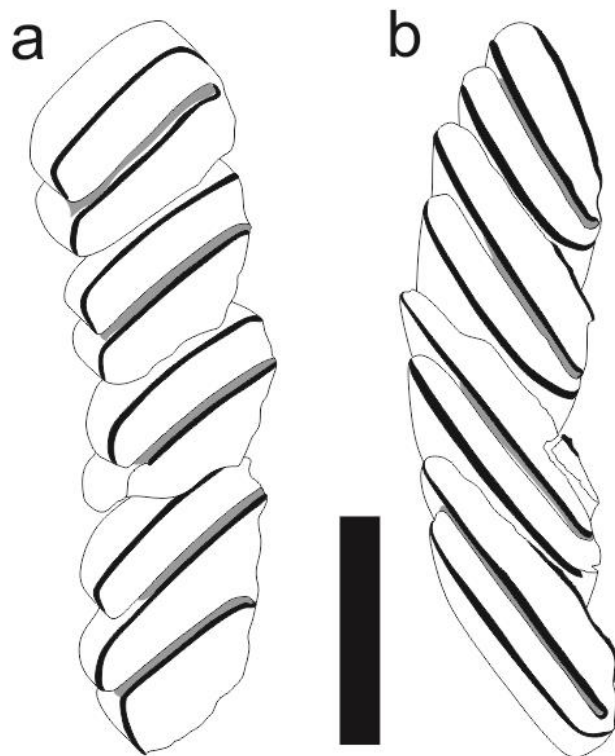


Figura 4.21. *Lagostomus incisus*. Esquema de la morfología oclusal de los molariformes superiores (a) e inferiores (b). **a**, MLP Pv 91-III-1-18; **b**, MACN A 1654. La barra equivale a 1 cm.



Figura 4.22. Húmero en vista posterior de distintas especies de *Lagostomus*. **a**, *Lagostomus maximus*; **b** y **c**, *Lagostomus euplasius*; **d** y **e**, *Lagostomus incisus*. **b** y **c**, MLP Pv 52-X-5-60/59; **d**, MLP Pv 91-III-1-88; **e**, MLP 94-II-1-146. **a**, **b** y **d** son húmeros izquierdos, **c** y **e** son derechos. La barra equivale a 1 cm.

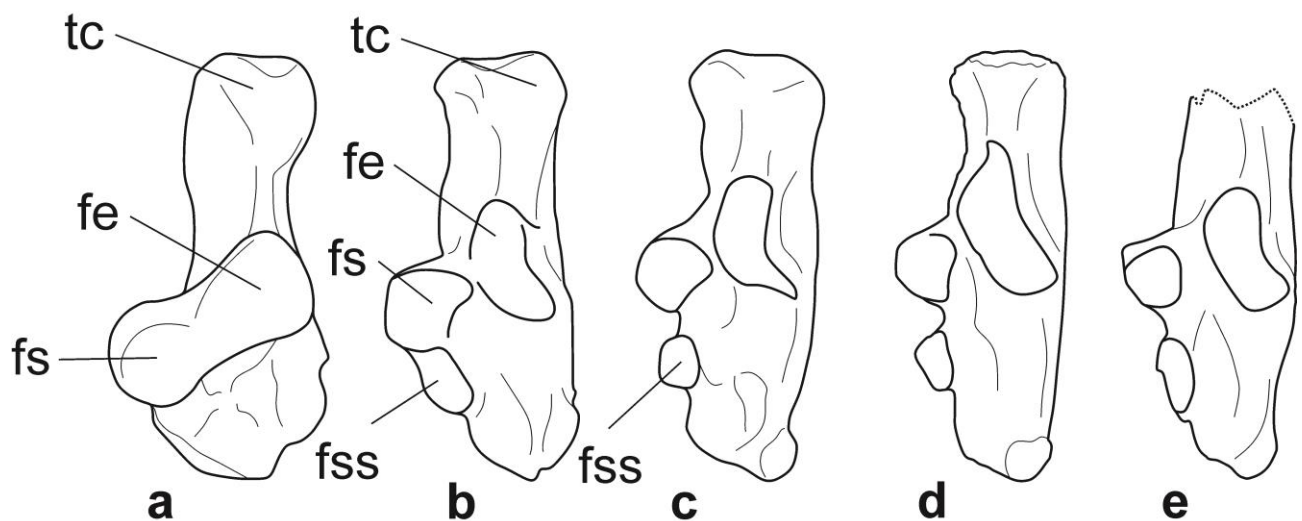


Figura 4.23. Calcáneo de varios caviomorfos. **a**, *Coendou villosus*; **b**, *Chinchilla*; **c**, *Lagostomus maximus*; **d**, *Lagostomus euplasius*; **e**, *Lagostomus incisus*. fe, faceta ectal; fs, faceta sustentacular; fss, faceta sustentacular secundaria; tc, tuberosidad calcánea. **a**, **b** y **c** modificado de Candela y Picasso, 2008; **d**, MLP Pv 88-VI-1-1; **e**, MLP Pv 91-IV-5-258.

L. L. Rasia – Los Chinchillidae fósiles de la República Argentina

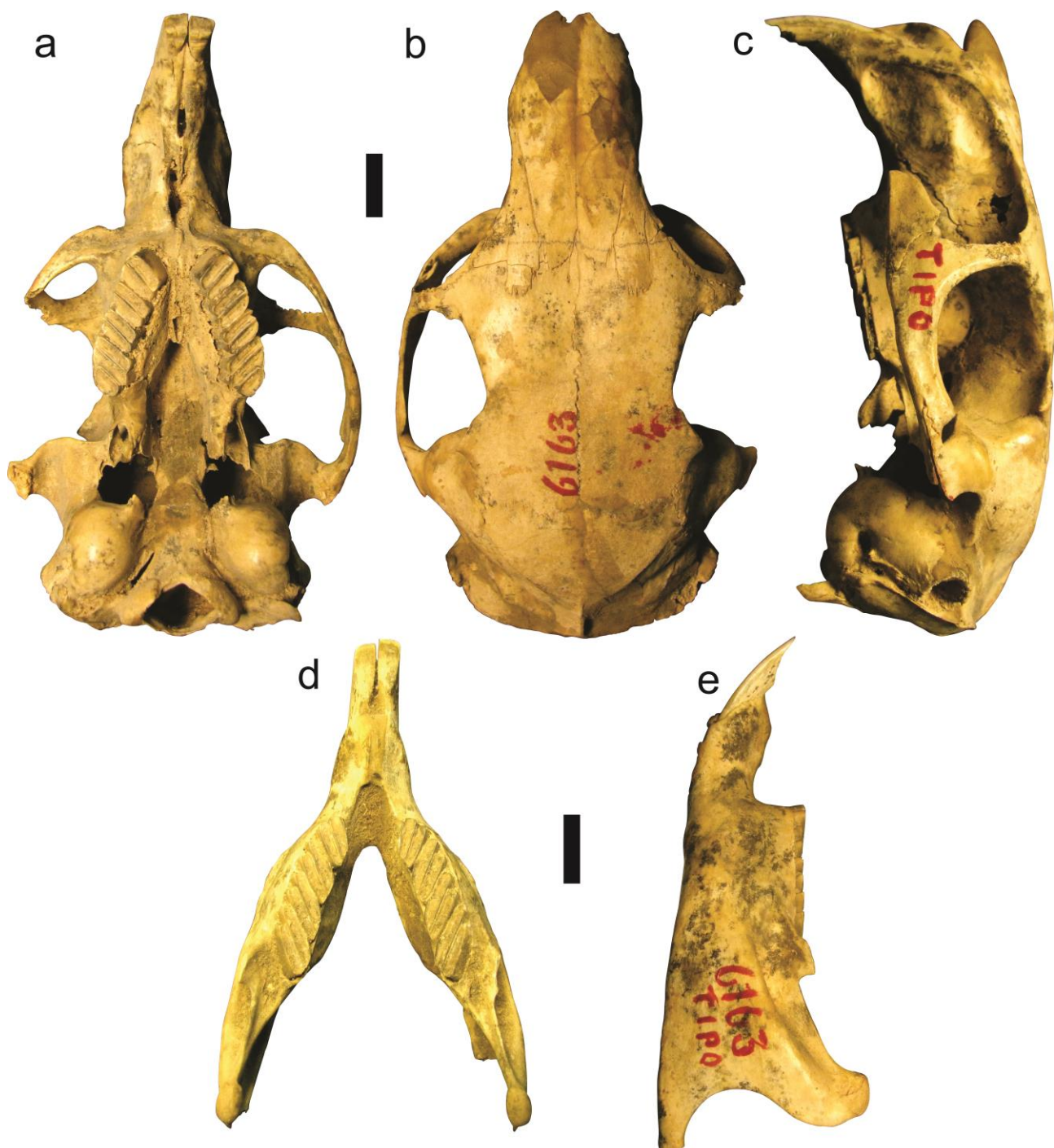


Figura 4.24. *Lagostomus euplasius*. a-e, MACN A 6163, holotipo , cráneo en vista ventral (a), dorsal (b) y lateral (c), mandíbulas en vista dorsal (d) y lateral (e). La barra equivale a 1 cm.

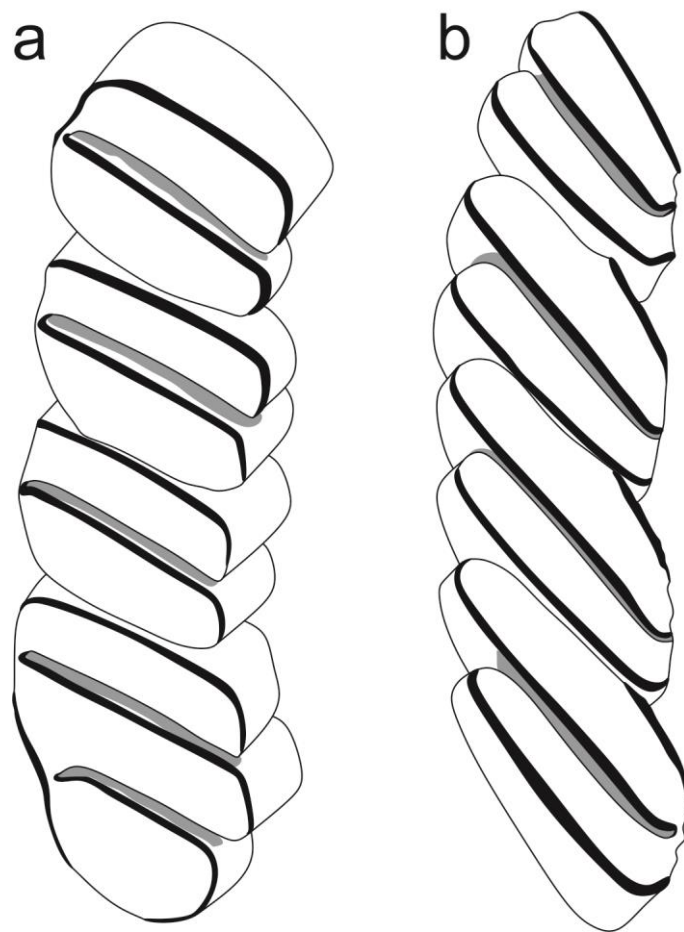


Figura 4.25. *Lagostomus euplasius*. Esquema de la morfología oclusal de los molariformes superiores (**a**) e inferiores (**b**).

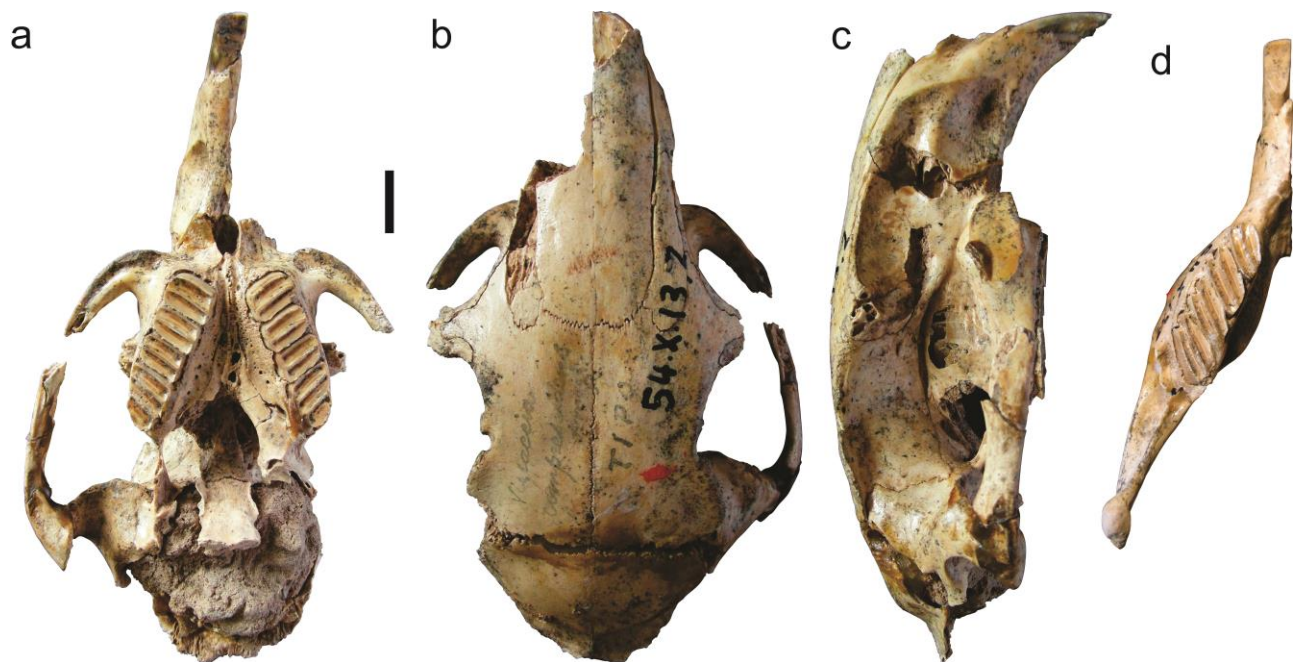


Figura 4.26. *Lagostomus compressidens*. a-d, MLP Pv 54-X-13-2, holotipo, cráneo en vista ventral (a), dorsal (b) y lateral (c), y mandíbula izquierda en vista dorsal (d). La barra equivale a 1 cm.

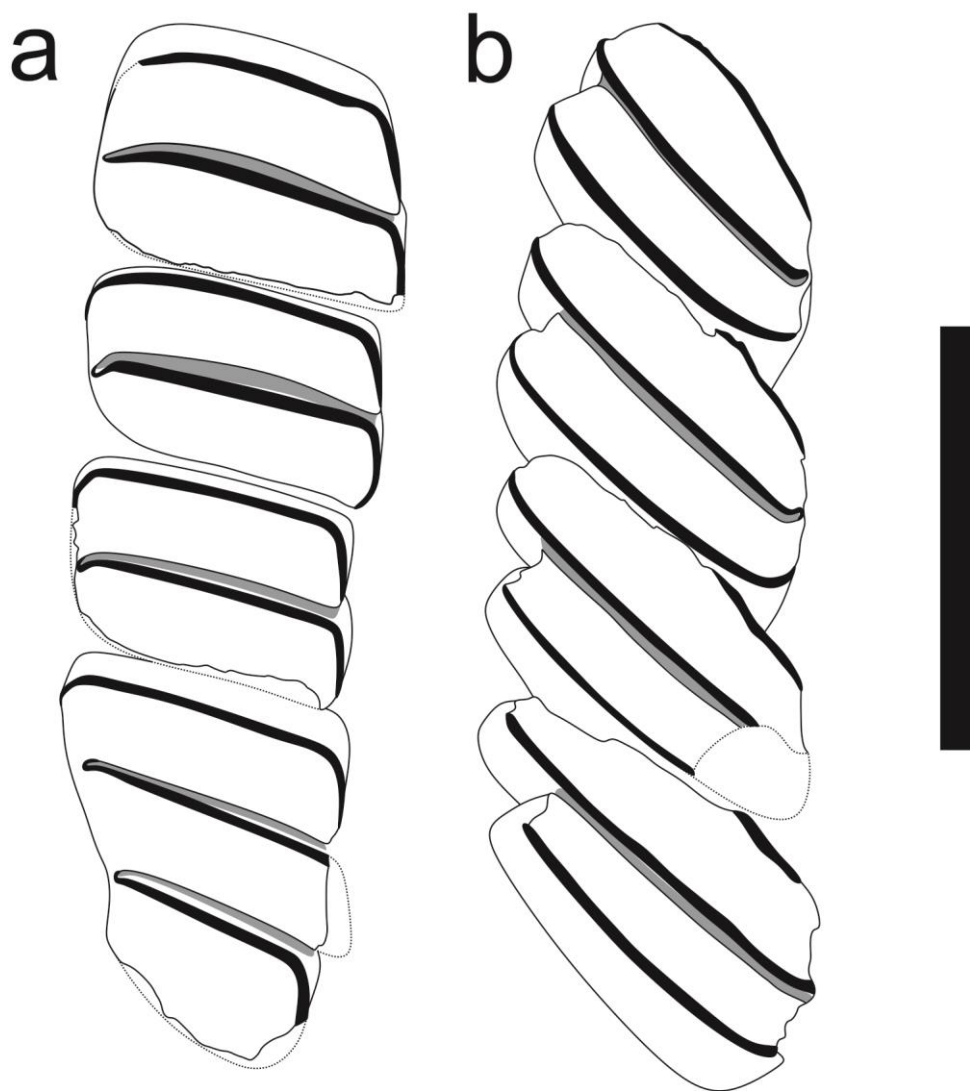


Figura 4.27. *Lagostomus compressidens*. Esquema de la morfología oclusal de los molariformes superiores (a) e inferiores (b). MLP Pv 54-X-13-2, holotipo. La barra equivale a 1 cm.

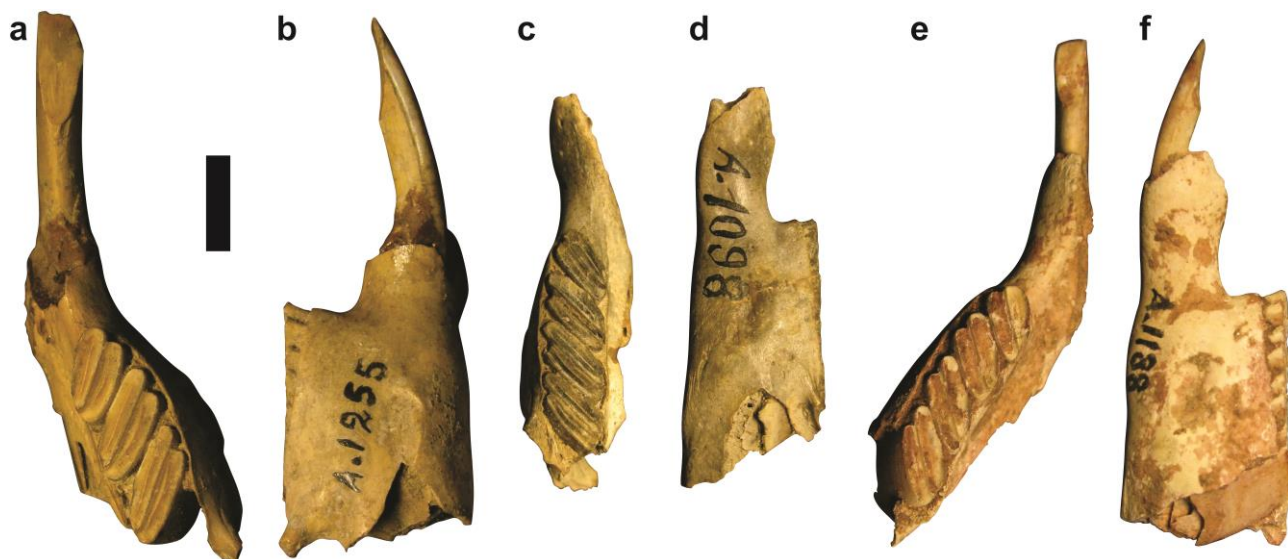


Figura 4.28. *Lagostomus debilis*. **a** y **b**, MACN A 1255 (holotipo), mandíbula derecha en vista oclusal (**a**) y lateral (**b**); **c** y **d**, MACN A 1098, mandíbula izquierda en vista oclusal (**c**) y lateral (**d**); **e** y **f**, MACN A 1188, mandíbula izquierda en vista oclusal (**e**) y lateral (**f**). La barra equivale a 1 cm.

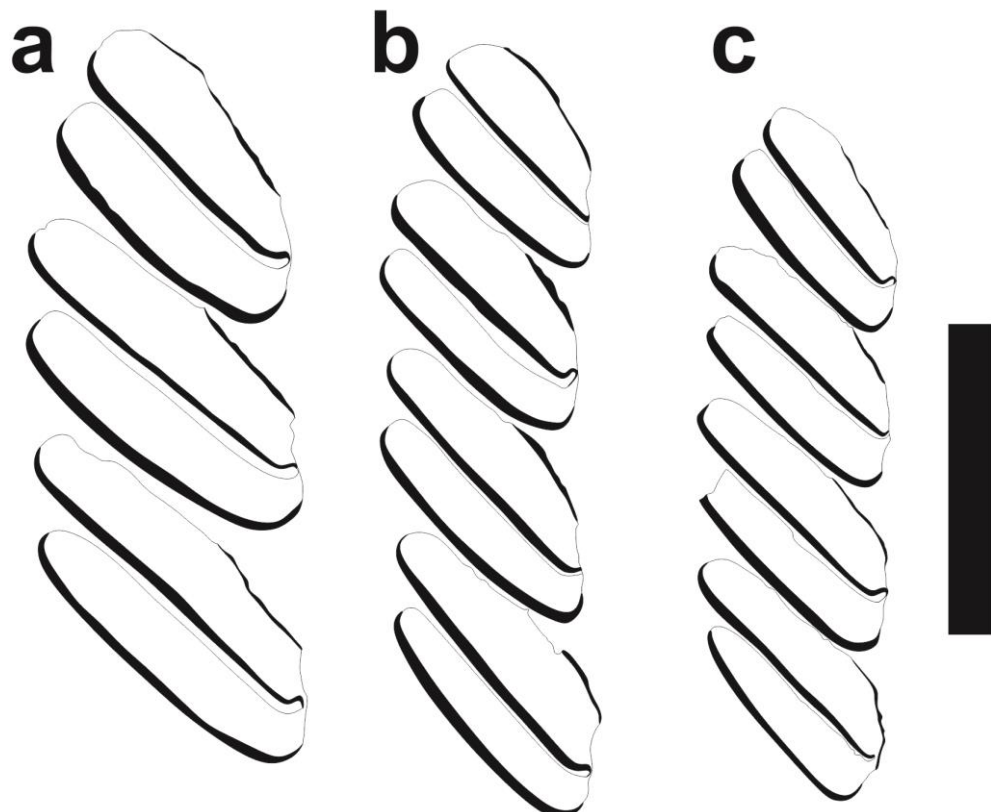


Figura 4.29. *Lagostomus debilis*. Esquema de la morfología oclusal de los molariformes inferiores. **a**, MACN A 1255 (holotipo-imagen invertida); **b**, MACN A 1188; **c**, MACN A 1098. La barra equivale a 1 cm.

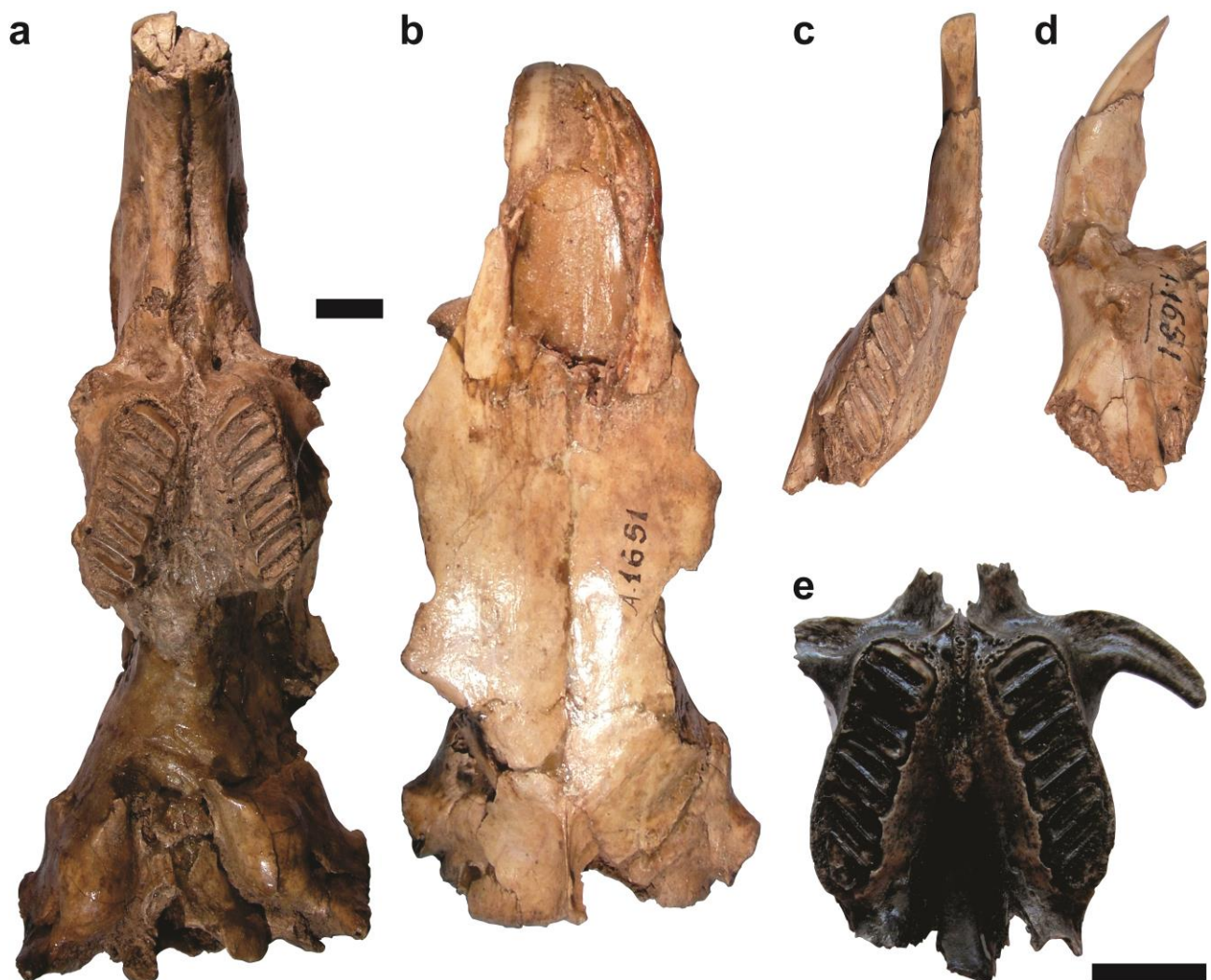


Figura 4.30. *Lagostomus cavifrons*. a-d, MACN A 1651, holotipo, cráneo en vista ventral (a) dorsal (b) y mandíbula izquierda en vista oclusal (c) y lateral (d); e, ; MLP Pv 96-VIII-4-9 , paladar en vista ventral. La barra equivale a 1 cm.

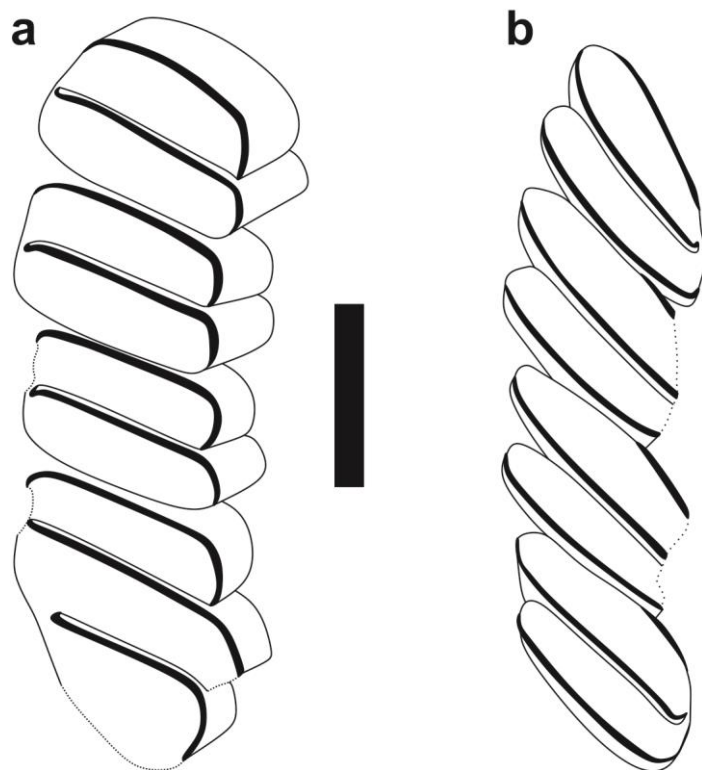


Figura 4.31. *Lagostomus cavifrons*. Esquema de la morfología oclusal de los molariformes superiores (a) e inferiores (b). a, MLP Pv 52-IX-30-36; b, MACN A 1651. La barra equivale a 1 cm.



Figura 4.32. *Lagostomus egenus*. a-c, MACN A 417, holotipo, mandíbula derecha en vista oclusal (a), lateral (b) y ventral (c). La barra equivale a 1 cm.

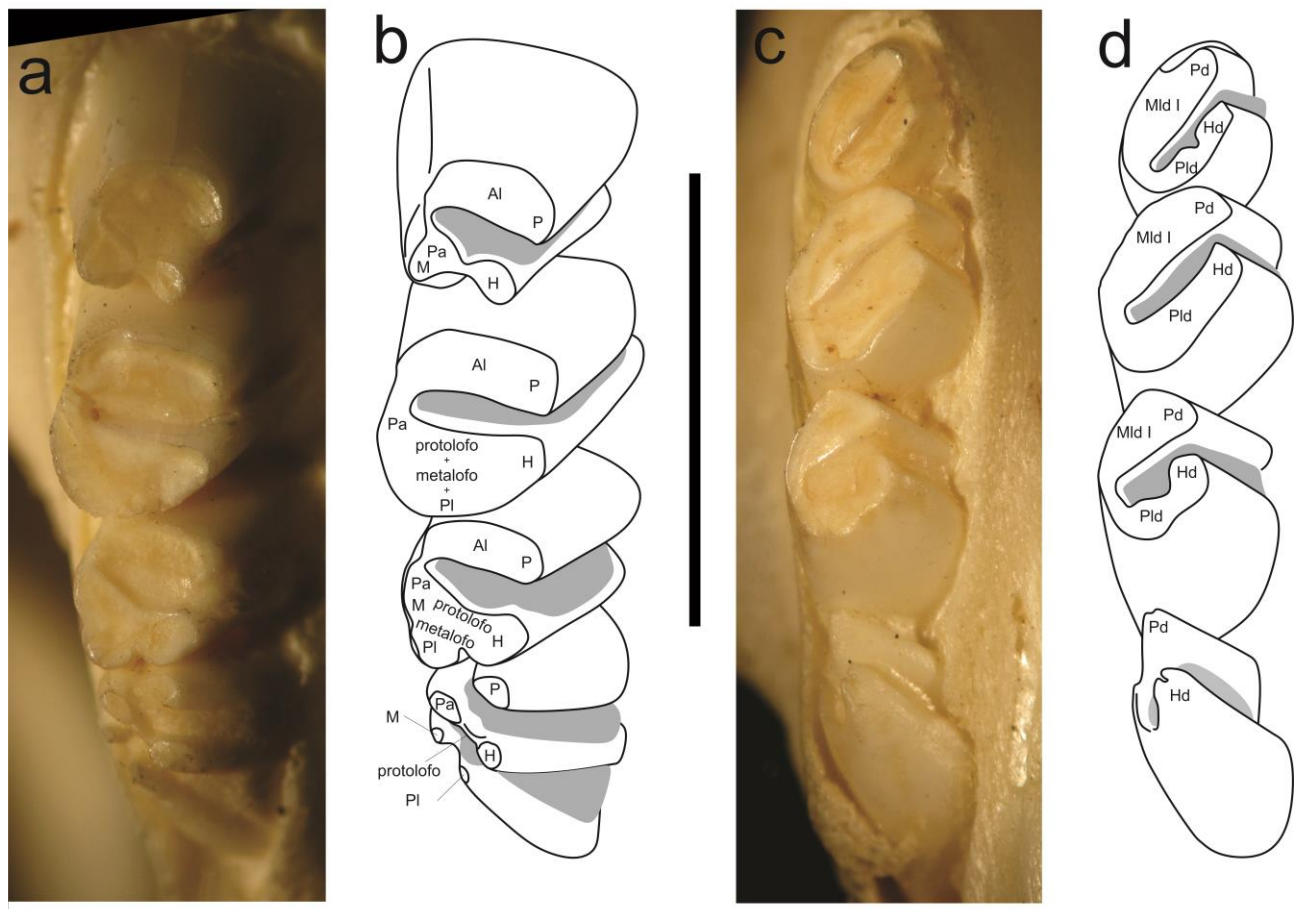


Figura 4.33. Dentición superior (**a** y **b**) e inferior (**c** y **d**) de un individuo neonato de *Lagostomus maximus*, MACN Mz 49.238. Al, anterolovo; H, área del hipocono; Hd, área del hipocónido; M, área del metacono; Mld I, metalofúlido I; P, área del protocono; Pa, área del paracono; Pd, área del protocónido; Pl, posterolovo; Plq, posterolófido. La barra equivale a 1 cm.



Figura 4.34. *Lagostomus maximus*. MLP Pv 158, esqueleto parcialmente articulado y cráneo asociado.

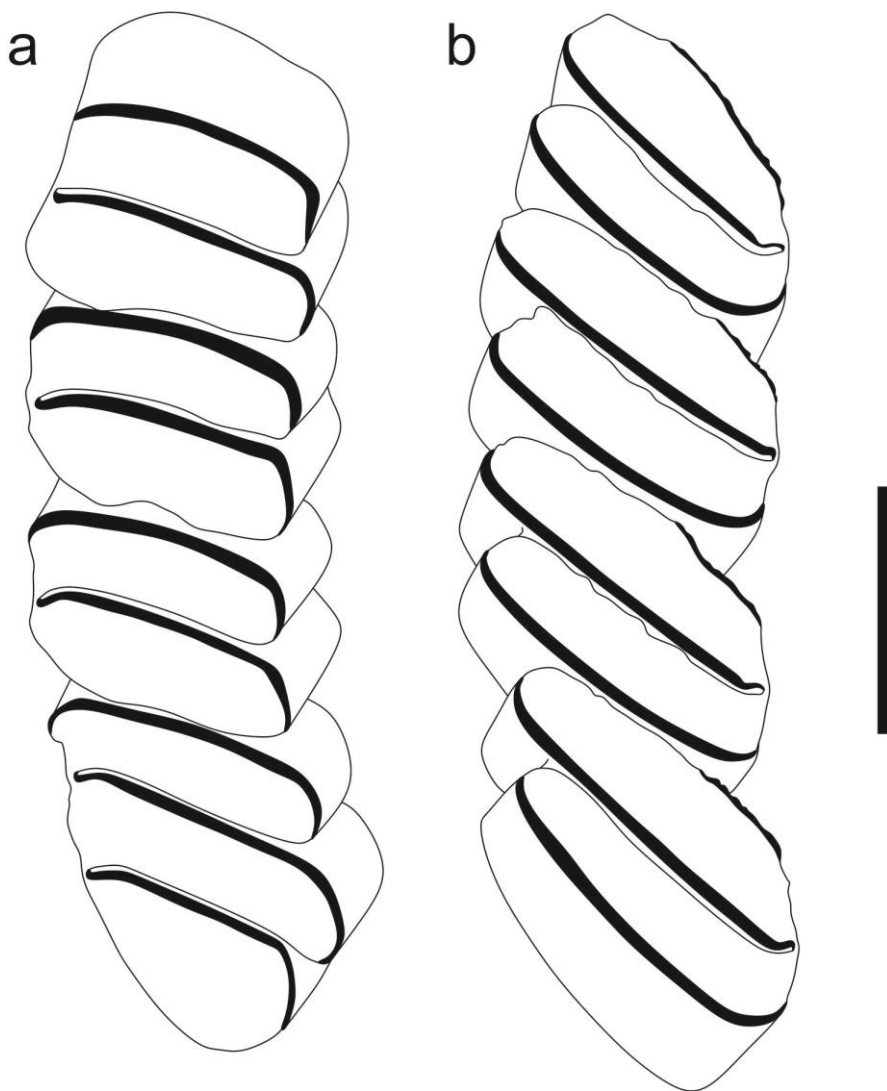


Figura 4.35. *Lagostomus maximus*. Esquema de la morfología oclusal de los molariformes superiores (**a**) e inferiores (**b**). **a**, MACN Mz 49.13; **b**, MACN Mz 48.276. La barra equivale a 1 cm.

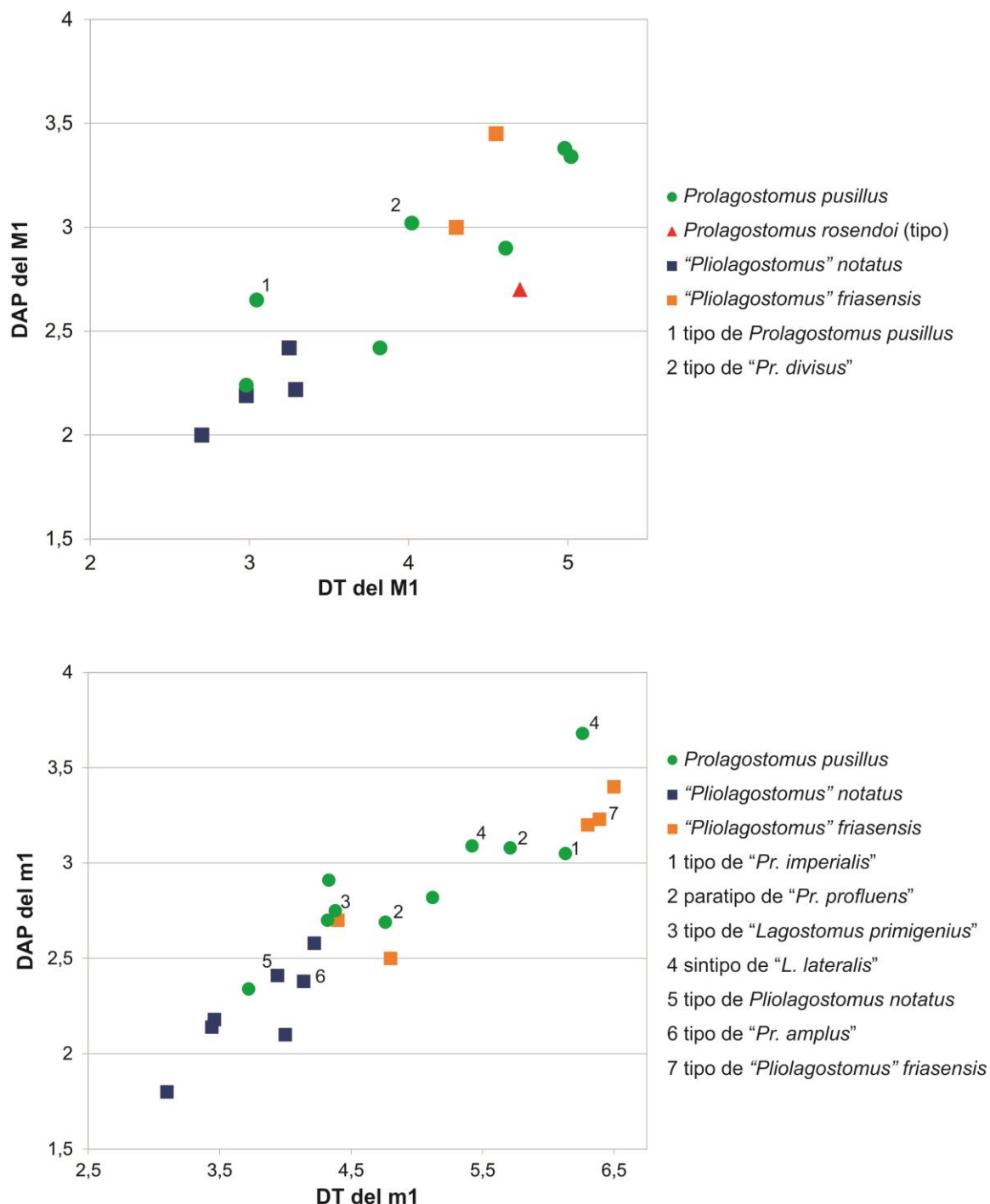


Figura 4.36. Gráficos bivariados comparando el diámetro transverso (DT) y el diámetro anteroposterior (DAP) del M1 (arriba) y el m1 (abajo) en especies de *Prolagostomus* y "*Pliolagostomus*".

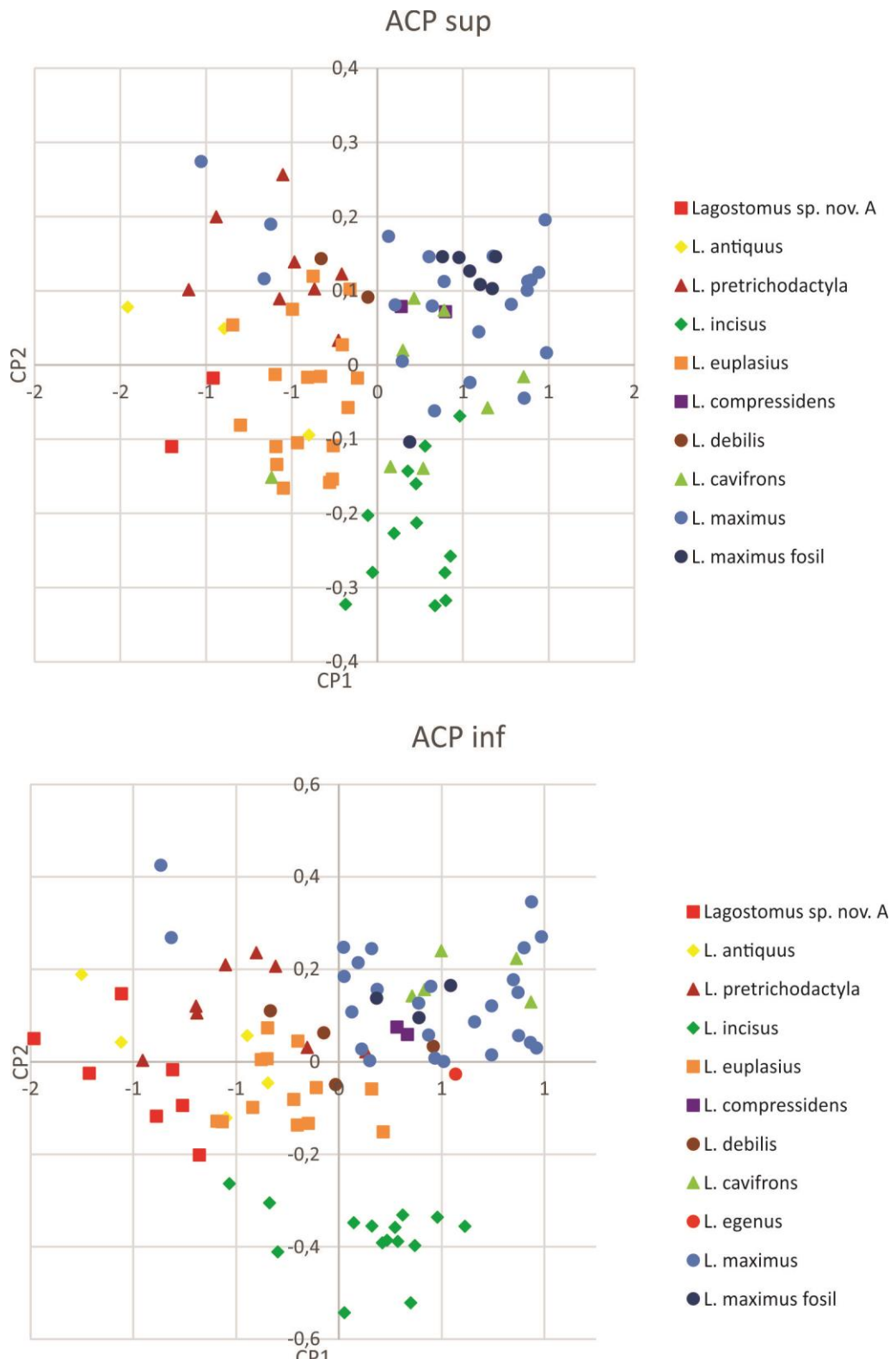


Figura 4.37. Distribución de los Componentes Principales 1 y 2 para las medidas de los molariformes superiores (arriba) e inferiores (abajo) de las especies de *Lagostomus*.

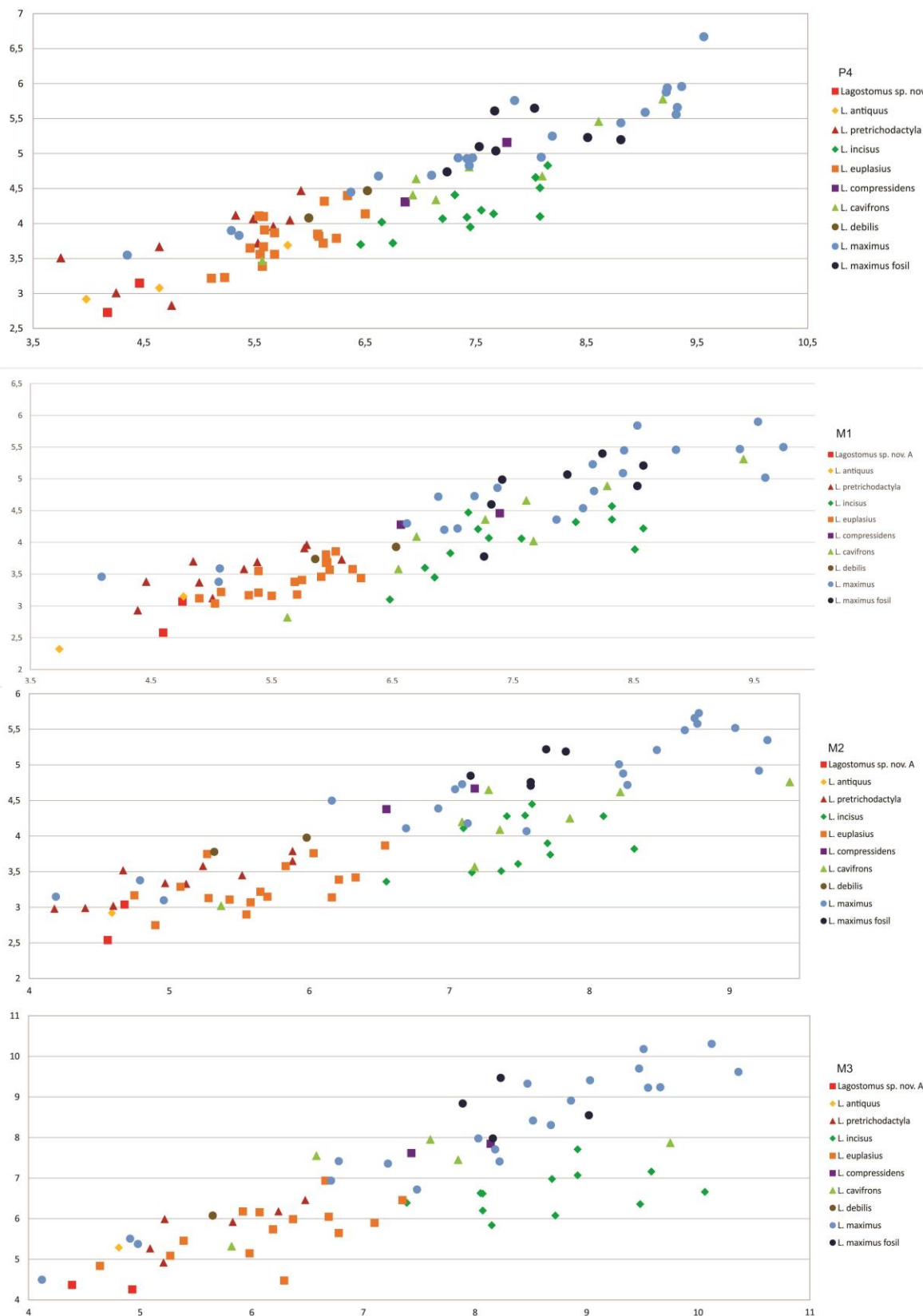


Figura 4.38. Gráficos bivariados de dispersión comparando el diámetro transverso (eje X) con el diámetro anteroposterior (eje Y) en los molariformes superiores de las especies de *Lagostomus*.

L. L. Rasia – Los Chinchillidae fósiles de la República Argentina

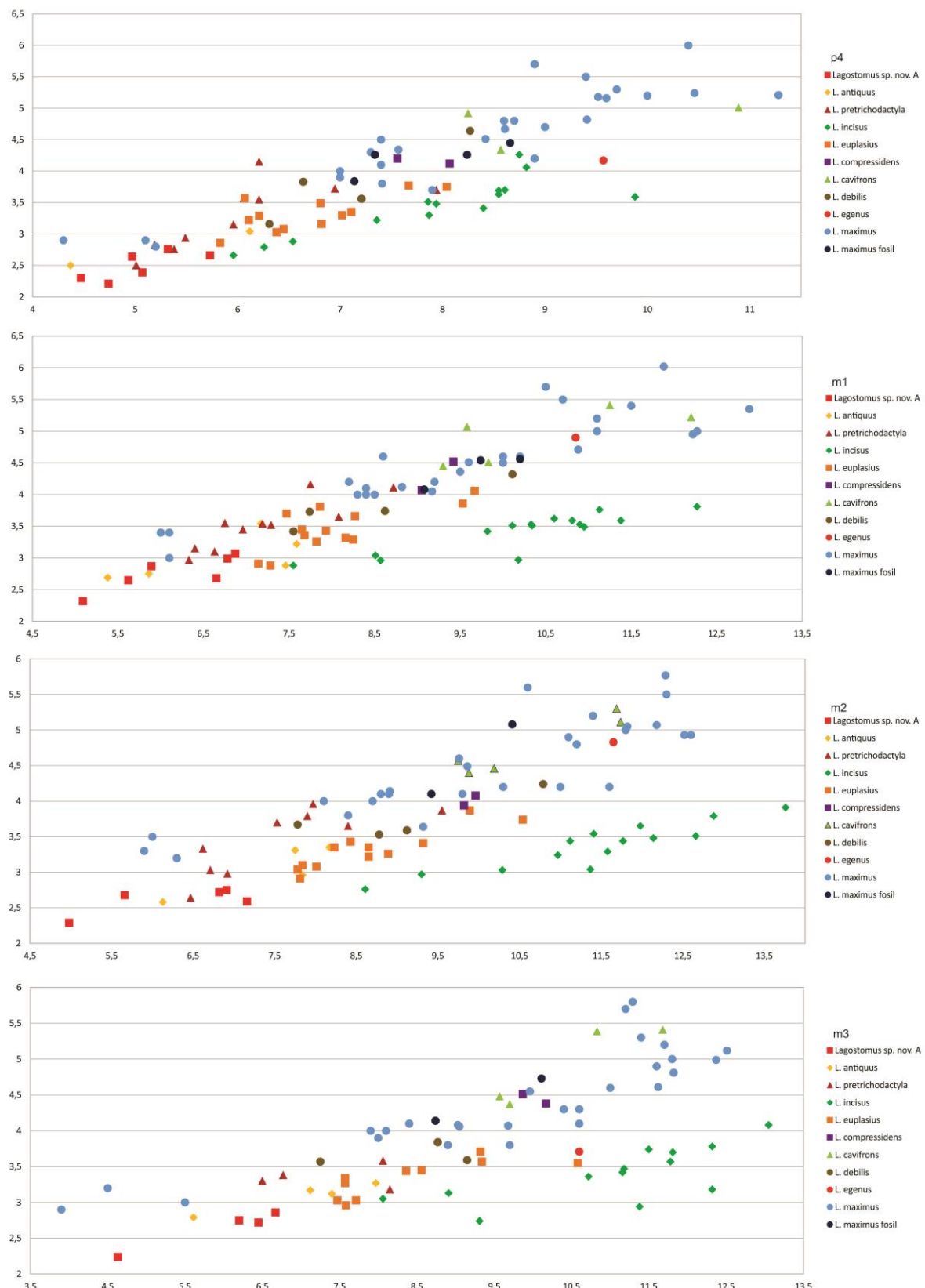


Figura 4.39. Gráficos bivariados de dispersión comparando el diámetro transverso (eje X) con el diámetro anteroposterior (eje Y) en los molariformes inferiores de las especies de *Lagostomus*.

L. L. Rasia – Los Chinchillidae fósiles de la República Argentina

Capítulo V – Evolución y filogenia

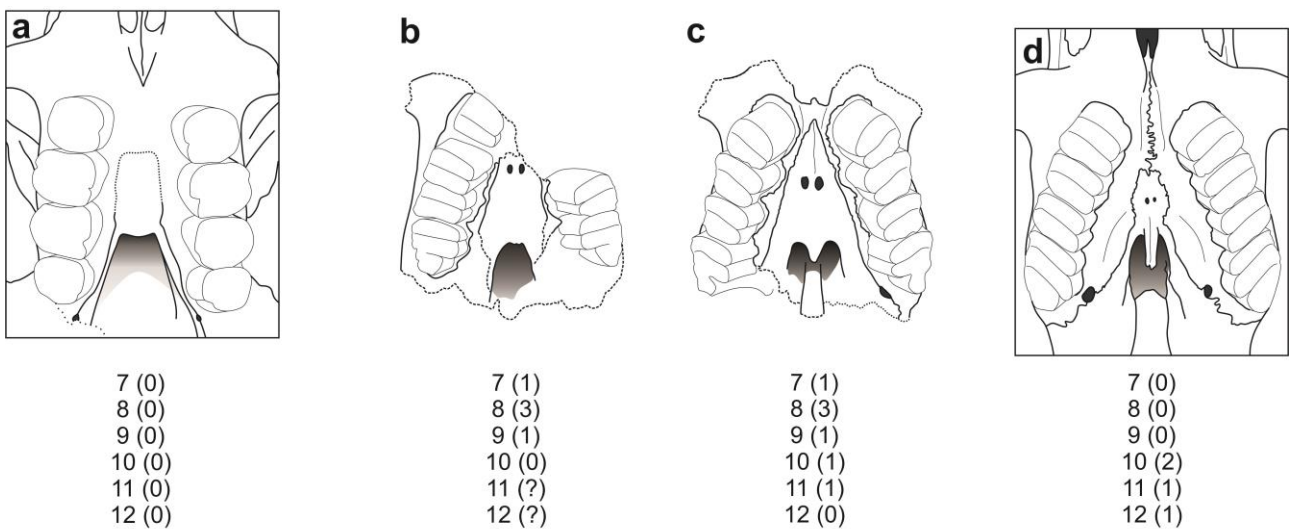


Figura 5.1. Paladar de *Steiromys duplicatus* (a), “*Pliolagostomus*” *notatus* (b), *Prolagostomus pusillus* (c) y *Lagostomus maximus* (d) mostrando los estados para los caracteres 7 (extensión anterior de los palatinos), 8 (paladar), 9 (coanas), 10 (proceso posterior de los palatinos), 11 (tamaño del foramen maxilar posterior), y 12 (posición del foramen maxilar posterior).

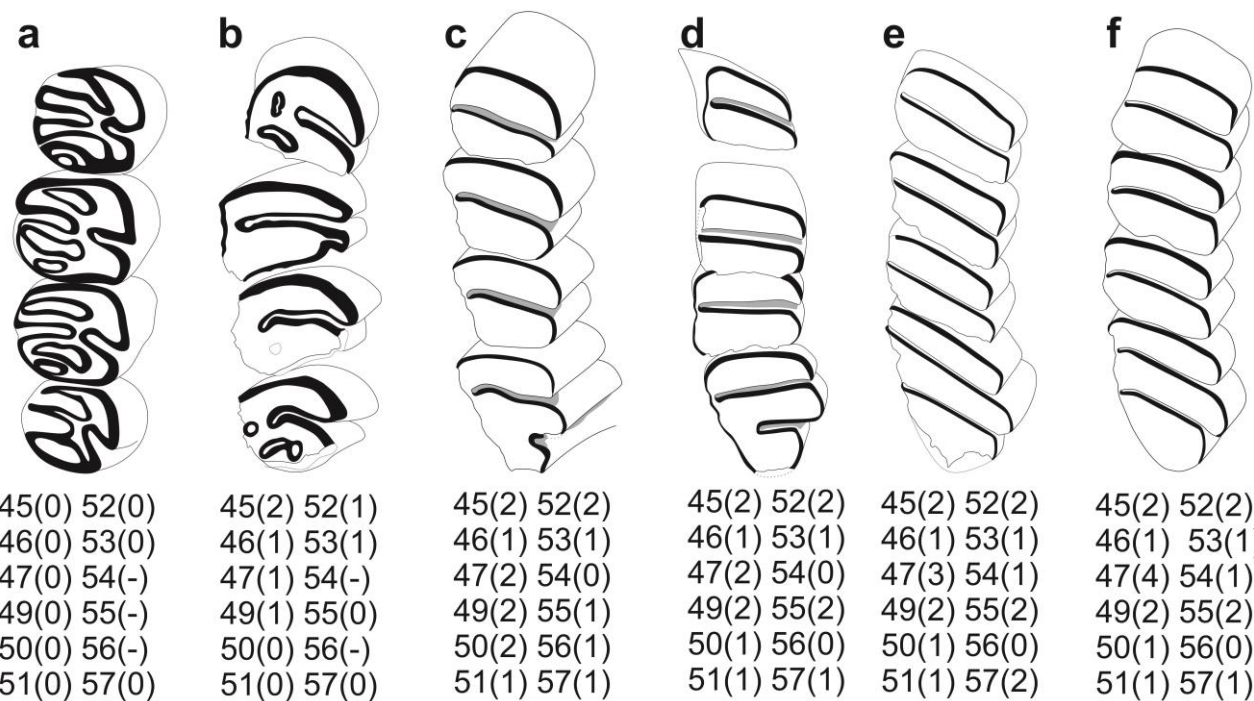
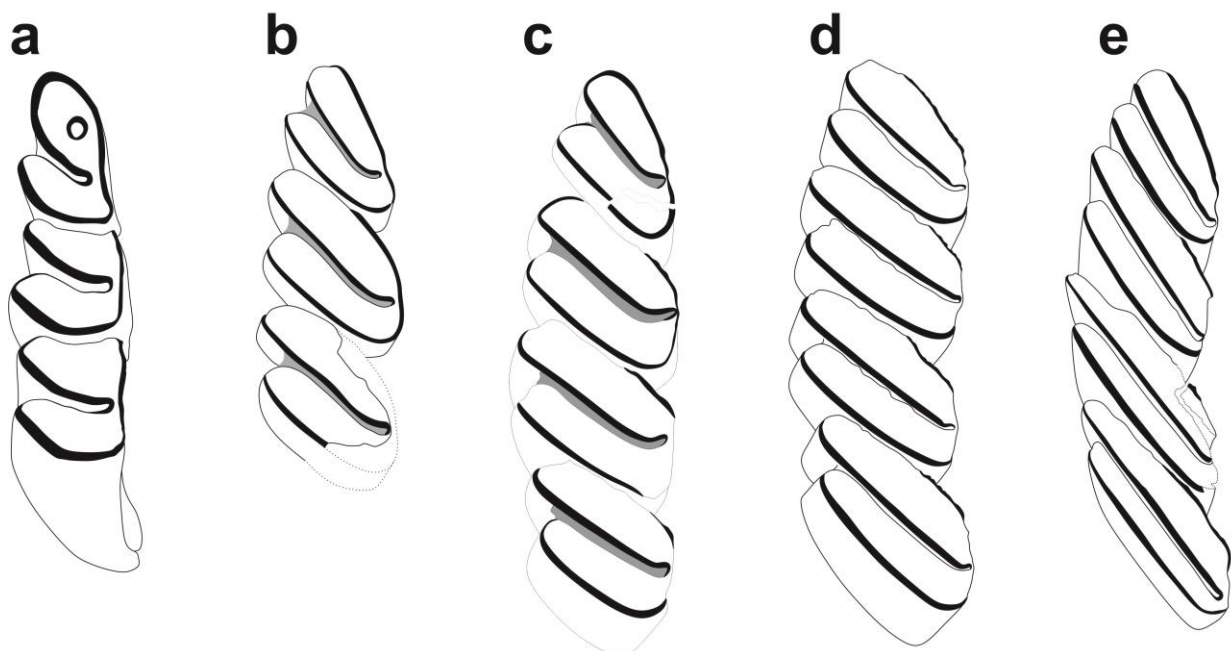


Figura 5.2. Dibujos esquemáticos de denticiones superiores de *Steiromys duplicatus* (a, modificado de Candela et al., 2013), “*Eoviscaccia*” *boliviensis* (b, modificado de Vucetich, 1986), *Prolagostomus pusillus* (c), “*Pliolagostomus*” *notatus* (d), *Lagostomus incisus* (e) y *Lagostomus maximus* (f), mostrando los estados para los caracteres 50 (número de láminas en M1-M2), 51 (elasmodontia), 52 (cemento), 55 (penetración del hipoflexo/ido), 56 (forma del hipoflexo/ido), 57 (ancho del hipoflexo/ido), 58 (dirección de penetración del hipoflexo), 59 (lofos del M1-M3 unidos labialmente), 70 (constricción del ápice de los lóbulos de los molares), 71 (tercer lóbulo en M3), 72 (relación 2da y 3er lamina del M3), 73 (desarrollo del tercer lóbulo del M3), 74 (orientación del 3er lóbulo del M3), y 75 (relación DT/DAP en P4-M2)..



| | | | | |
|-------|-------|-------|-------|-------|
| 58(0) | 58(1) | 58(1) | 58(2) | 58(3) |
| 59(1) | 59(0) | 59(1) | 59(1) | 59(1) |
| 60(1) | 60(1) | 60(1) | 60(1) | 60(1) |
| 61(0) | 61(1) | 61(1) | 61(2) | 61(2) |
| 62(1) | 62(2) | 62(2) | 62(2) | 62(2) |

Figura 5.3. Dibujos esquemáticos de la dentición inferior de “*Eoviscaccia*” *boliviensis* (a, modificado de Vucetich, 1986), *Prolagostomus pusillus* (b), “*Pliolagostomus*” *notatus* (c), *Lagostomus maximus* (d) y *Lagostomus incisus* (e), mostrando los estados para los caracteres 58 (relación DT/DAP en m1-m3), 59 (límite entre las caras anterior y lingual en m1-m3), 60 (distribución del esmalte en m1-m3), 61 (grosor del esmalte), y 62 (presencia de esmalte en la cara anterior de m1-m3).

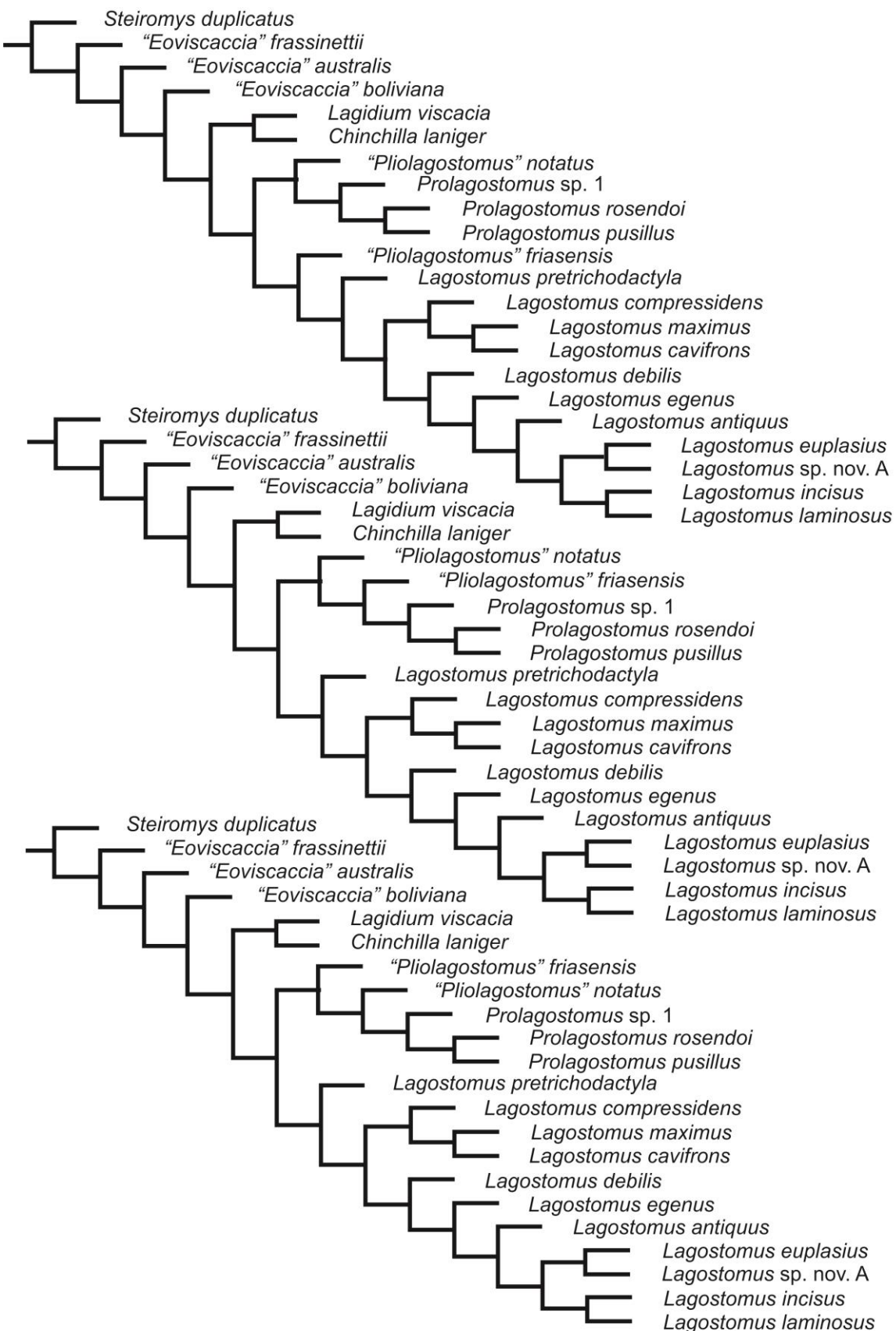


Figura 5.4. Tres árboles más parsimoniosos de 114 pasos obtenidos del análisis cladístico.

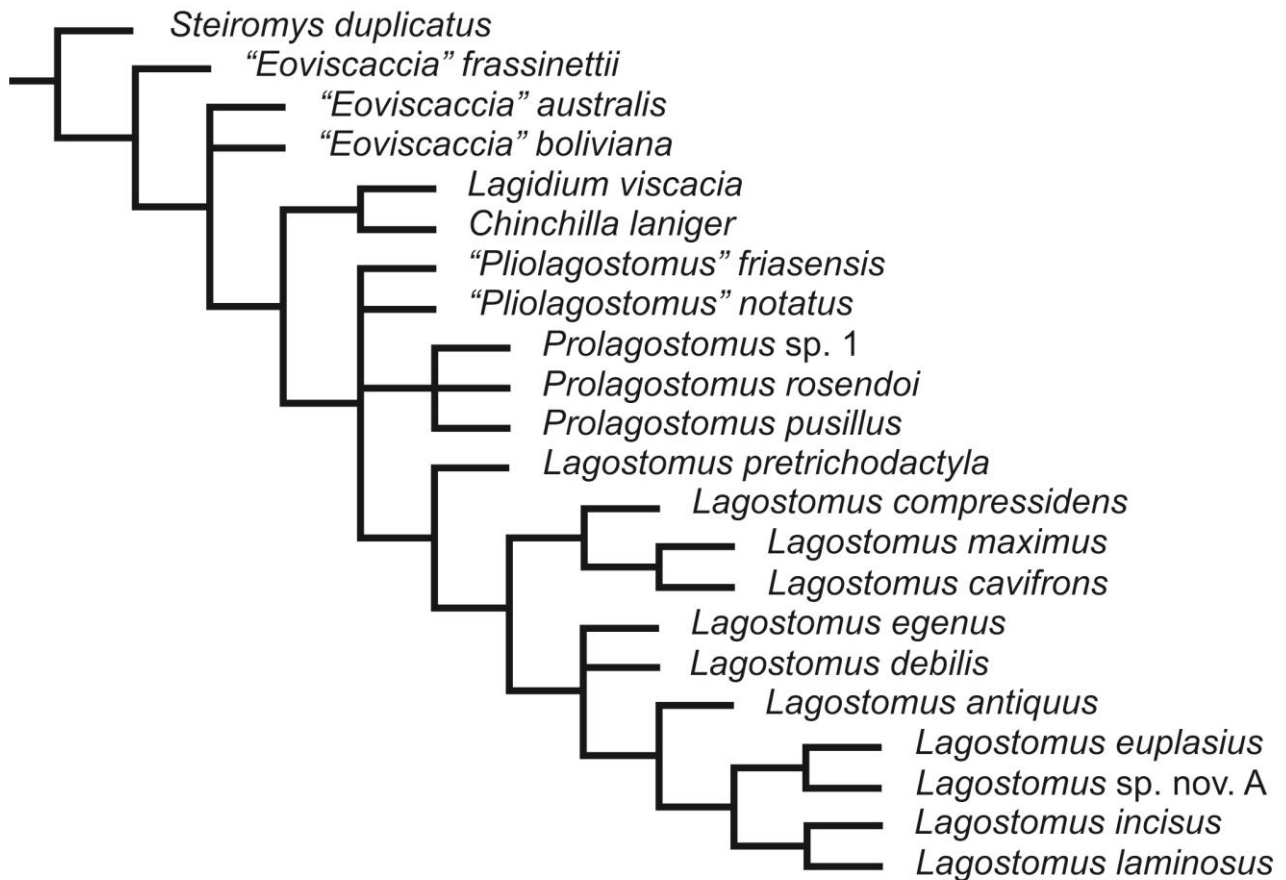


Figura 5.5. Árbol de consenso estricto de los tres árboles más parsimoniosos.

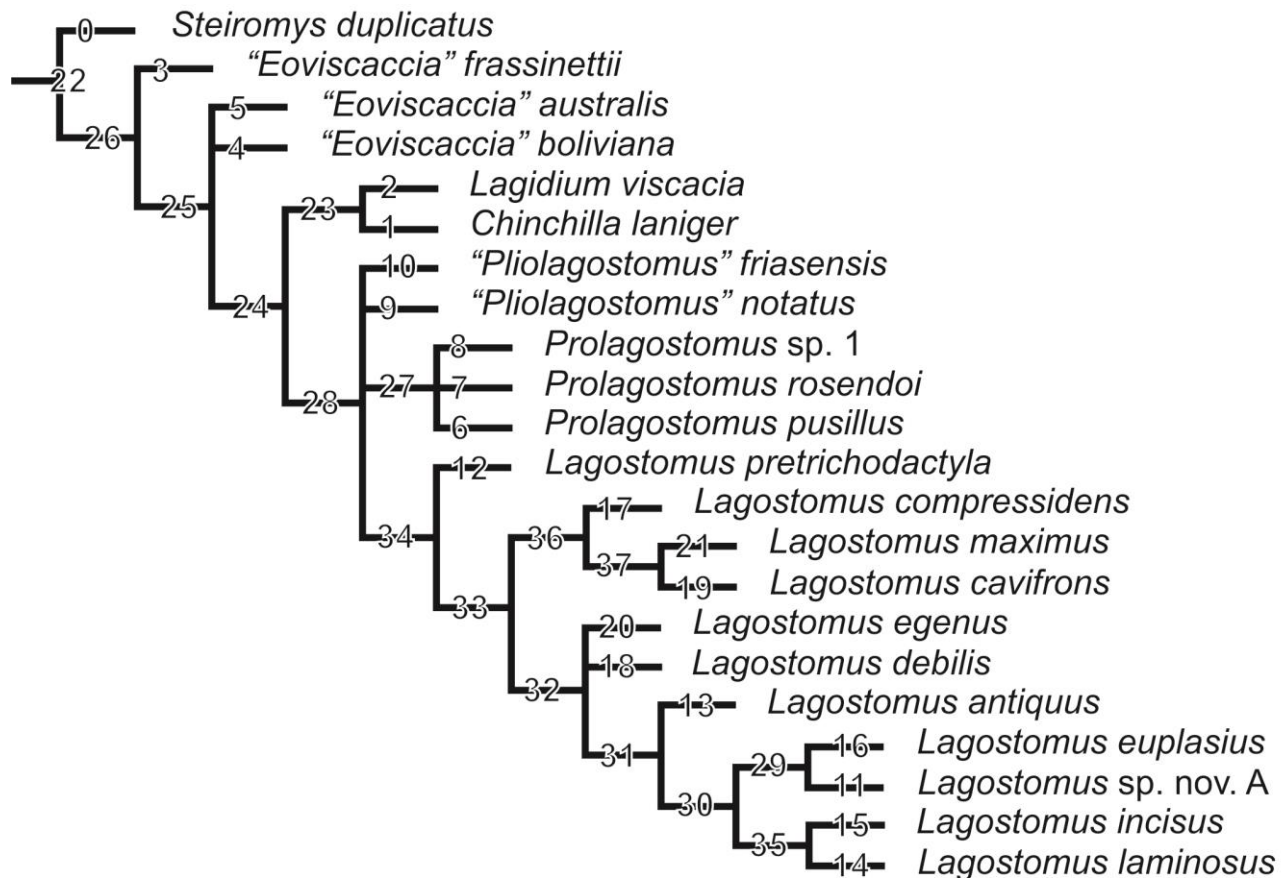


Figura 5.6. Árbol de consenso estricto indicando el número de cada nodo.

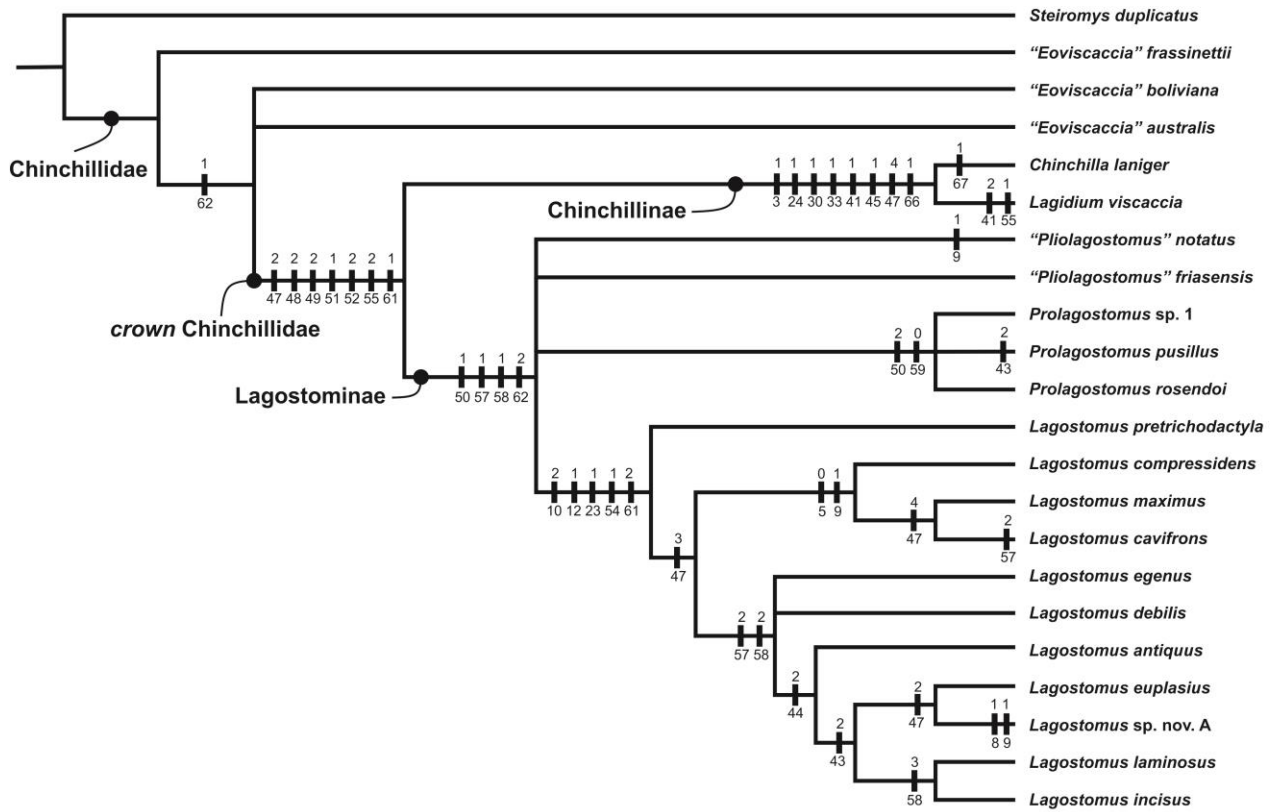


Figura 5.7. Árbol de consenso estricto indicando las sinapomorfías comunes a todos los árboles más parsimoniosos de cada nodo. Los caracteres se indican abajo, y los estados de carácter se indican arriba.

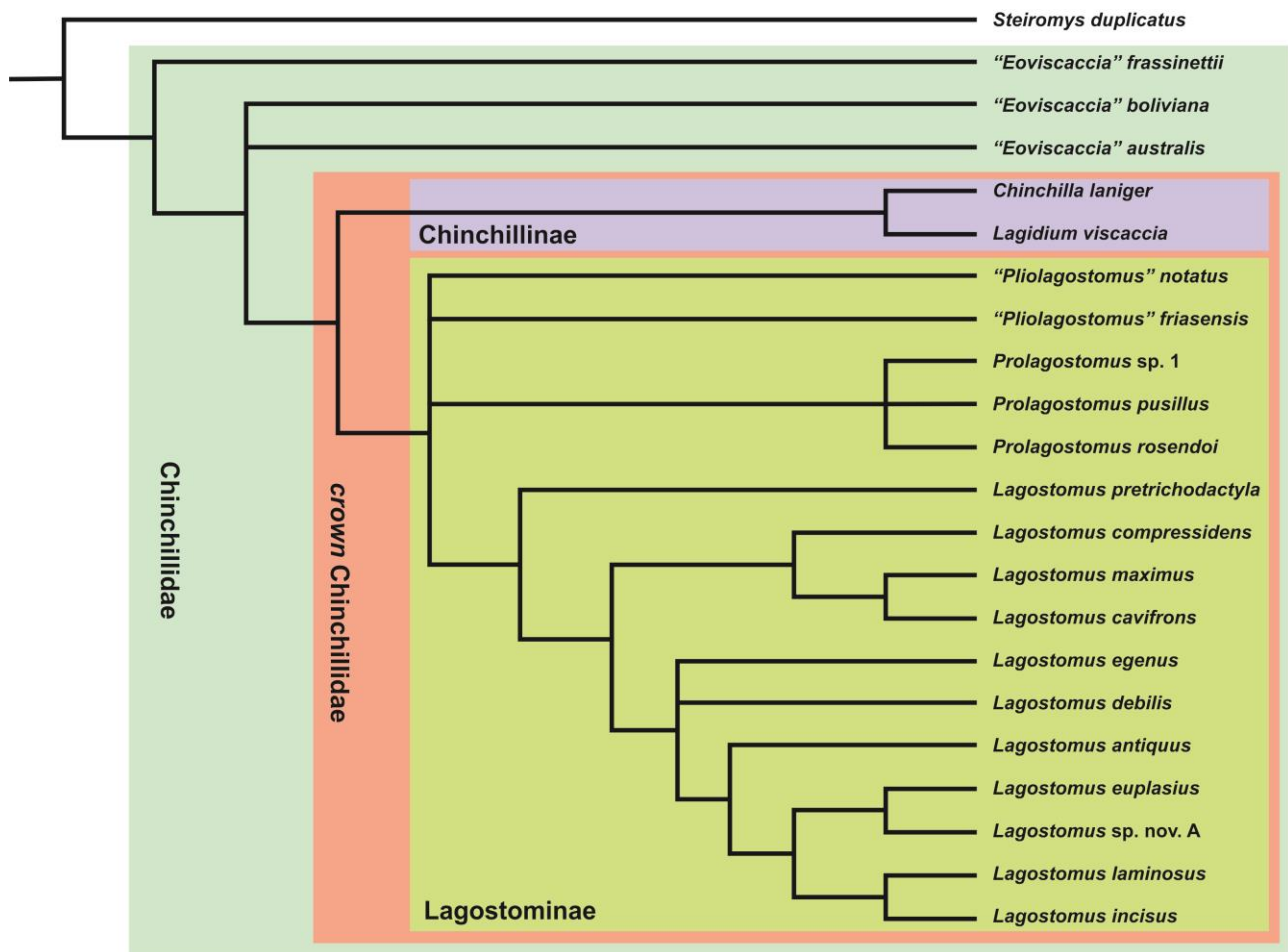


Figura 5.8. Árbol de consenso indicando los grupos monofiléticos de rango supragenérico soportados por el análisis cladístico.

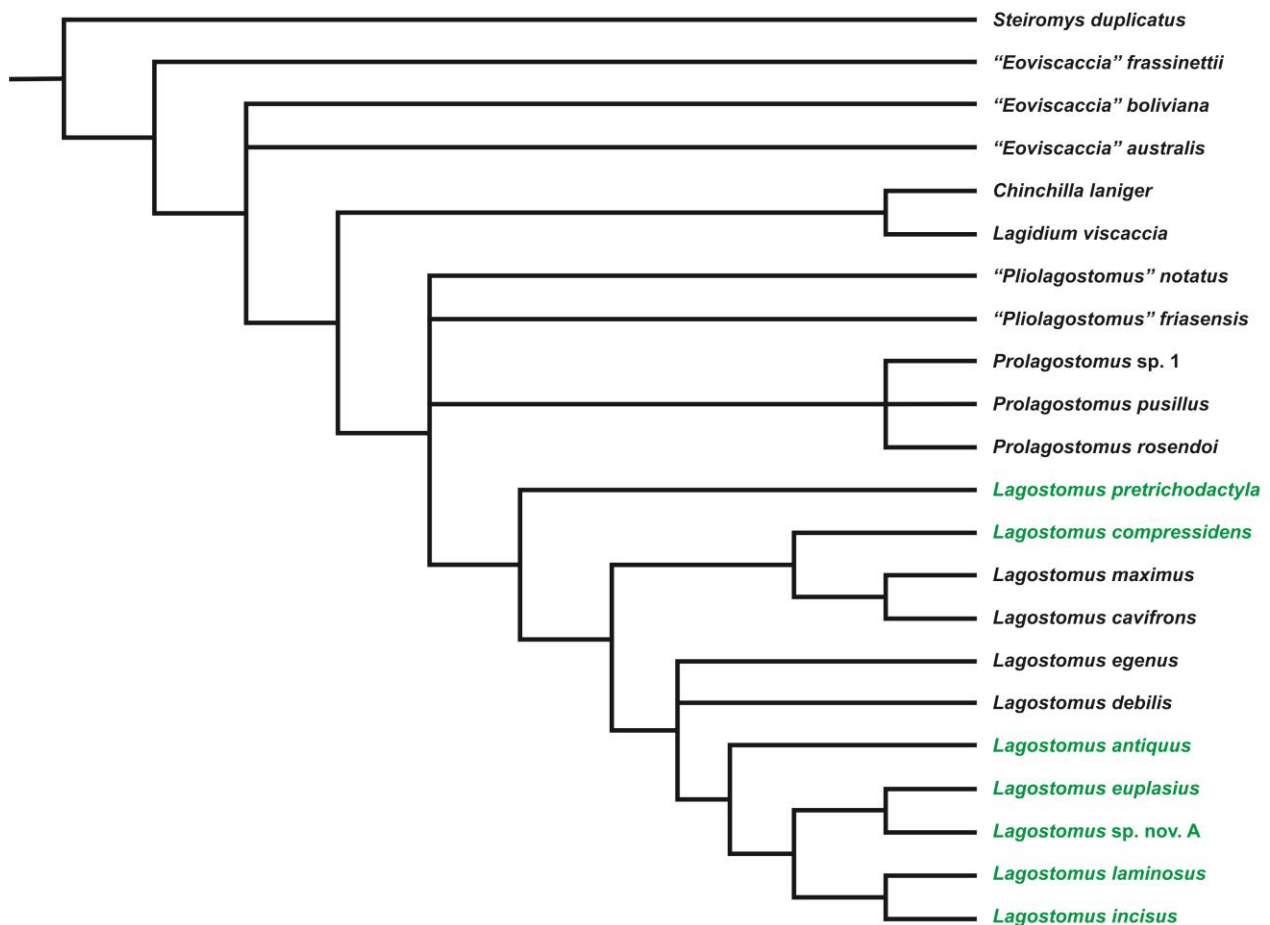


Figura 5.9. Árbol de consenso con las especies de *Lagostomus* tradicionalmente consideradas pertenecientes a "Lagostomopsis" indicadas en verde.

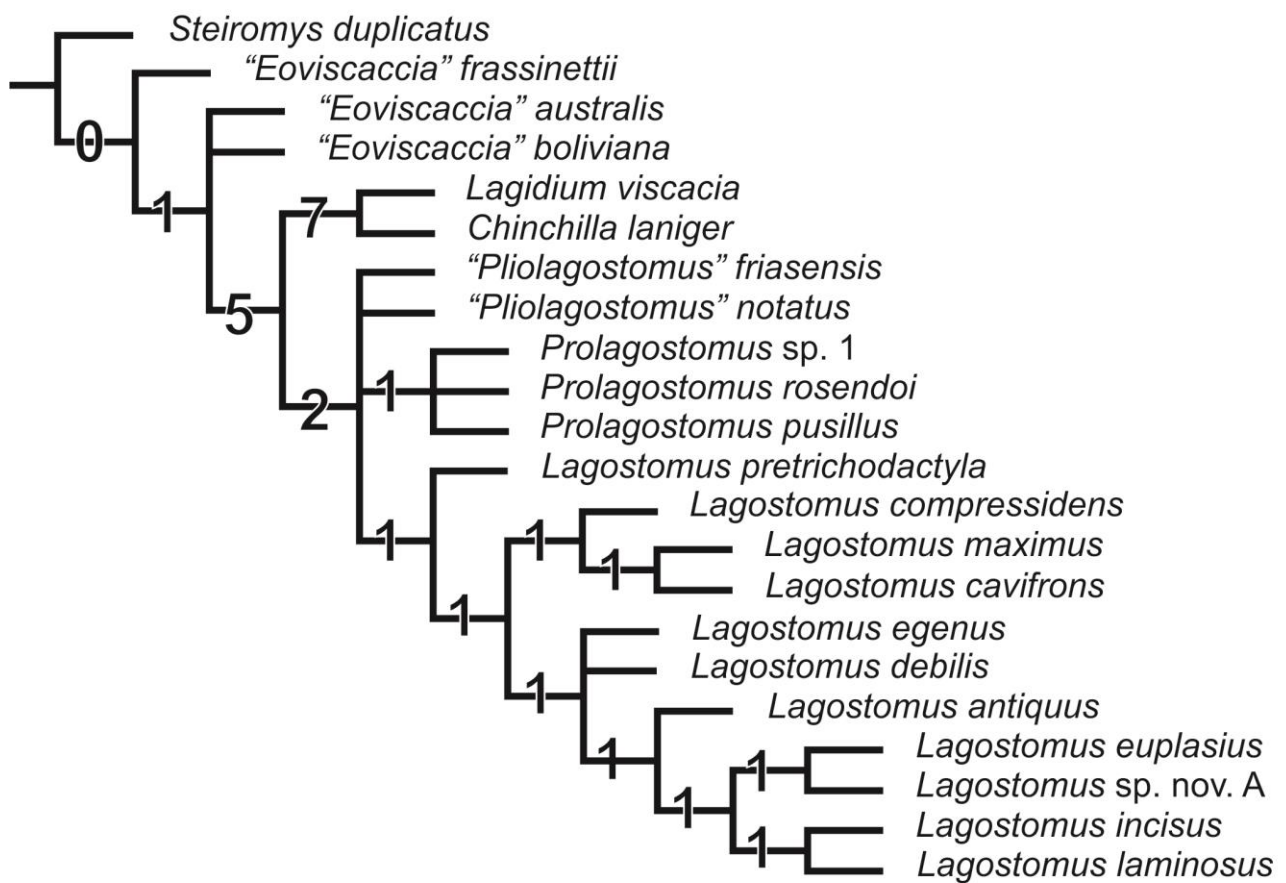


Figura 5.10. Árbol de consenso mostrando el soporte de Bremer para cada nodo.

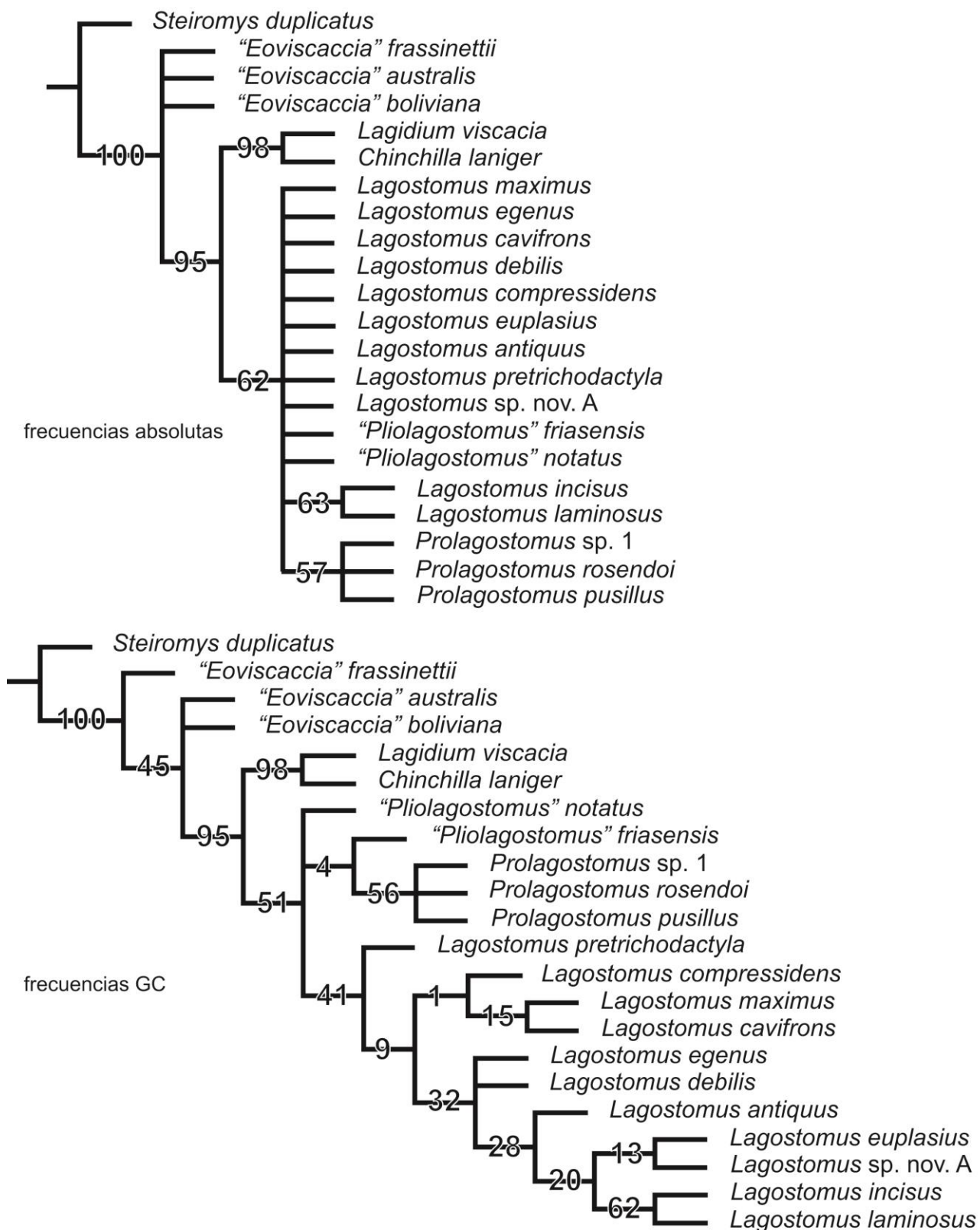


Figura 5.11. Análisis de Bootstrap con frecuencias absolutas (arriba) y con frecuencias GC (abajo).

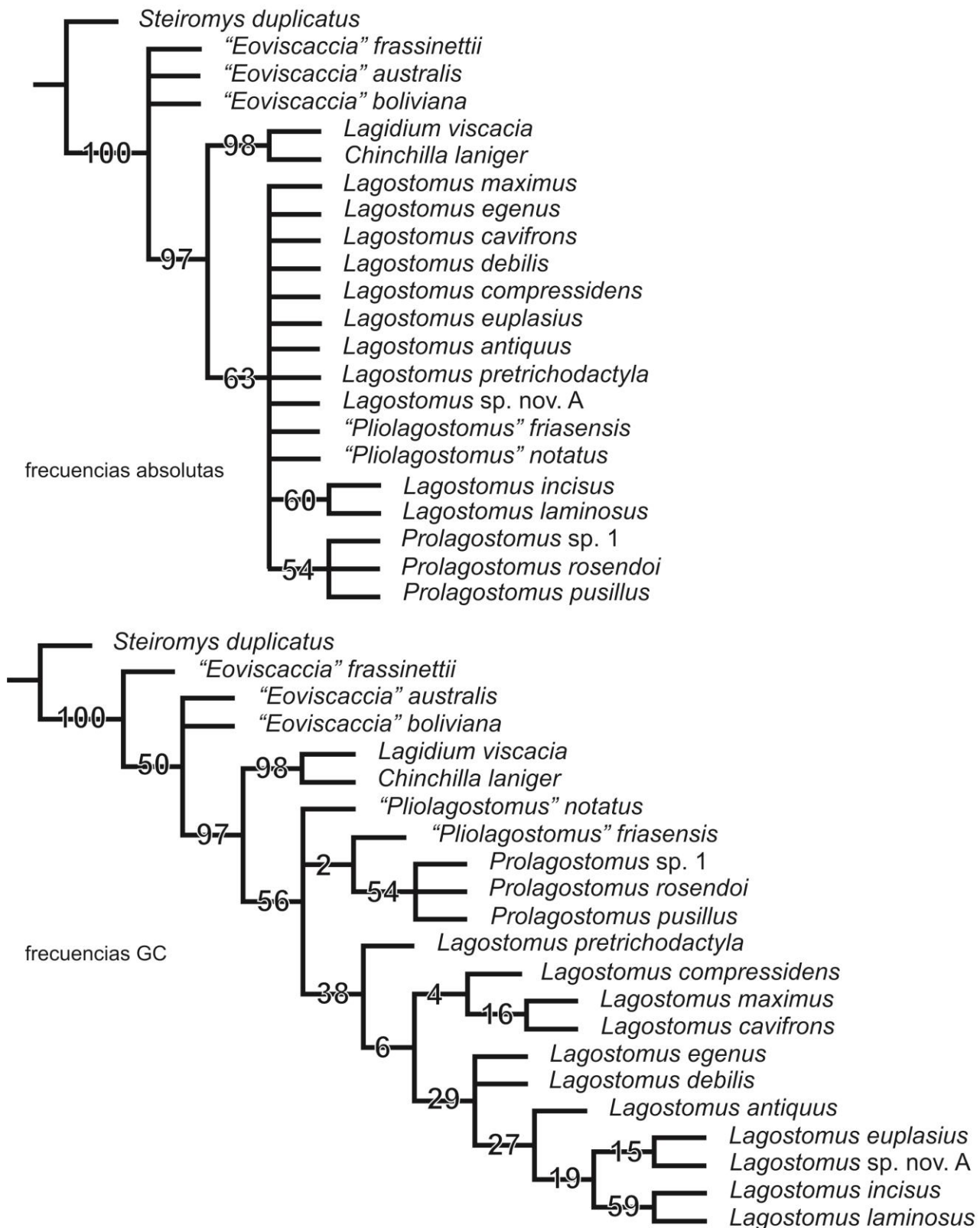


Figura 5.12. Análisis de Jackknife con frecuencias absolutas (arriba) y con frecuencias GC (abajo).

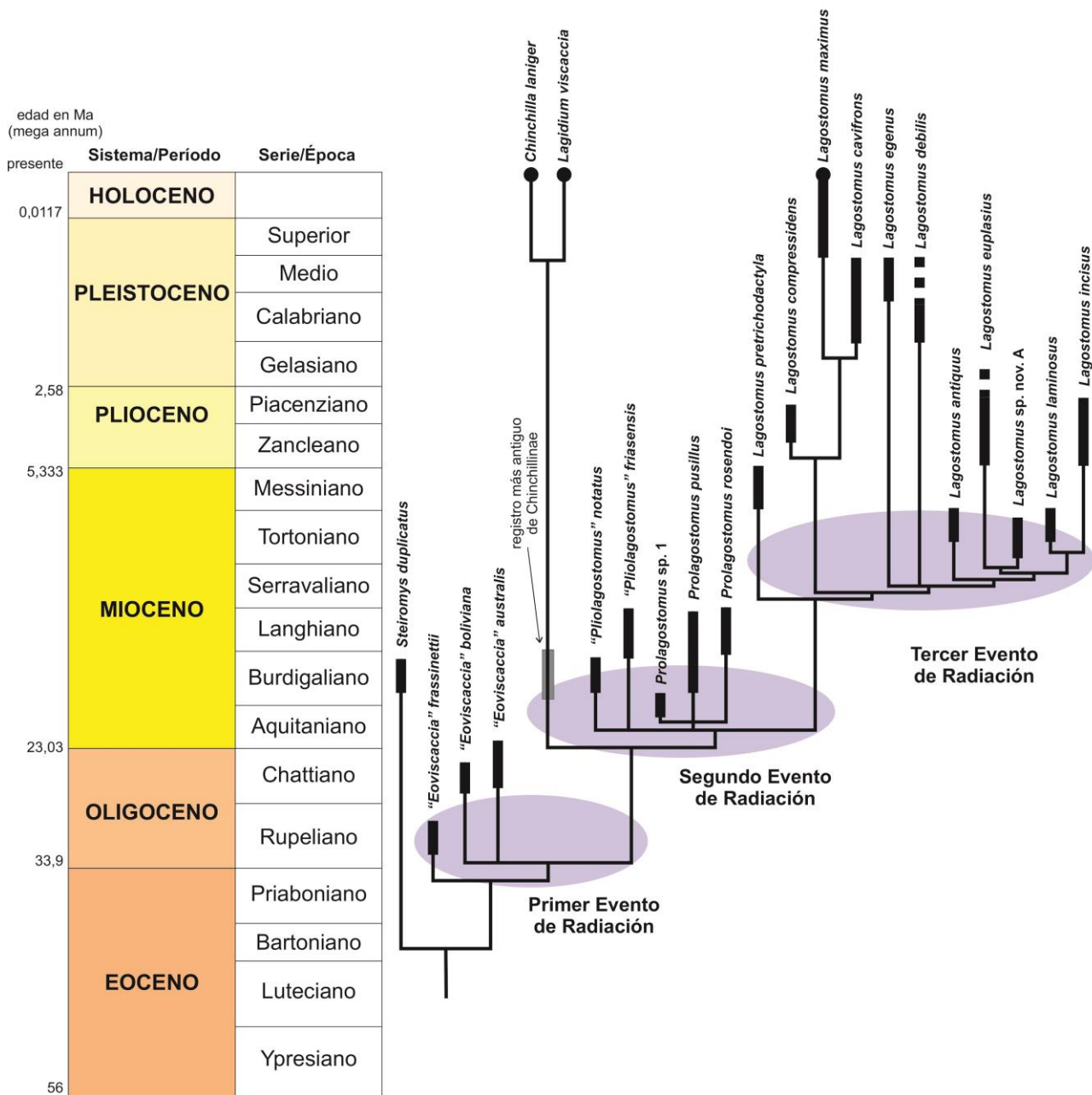


Figura 5.13. Árbol filogenético calibrado estratigráficamente, indicando los principales eventos de radiación. Edades absolutas en Ma (mega annum) de acuerdo a la Carta Estratigráfica Internacional v2014/10 (Cohen et al., 2013).

Capítulo VI – Bioestratigrafía y biogeografía

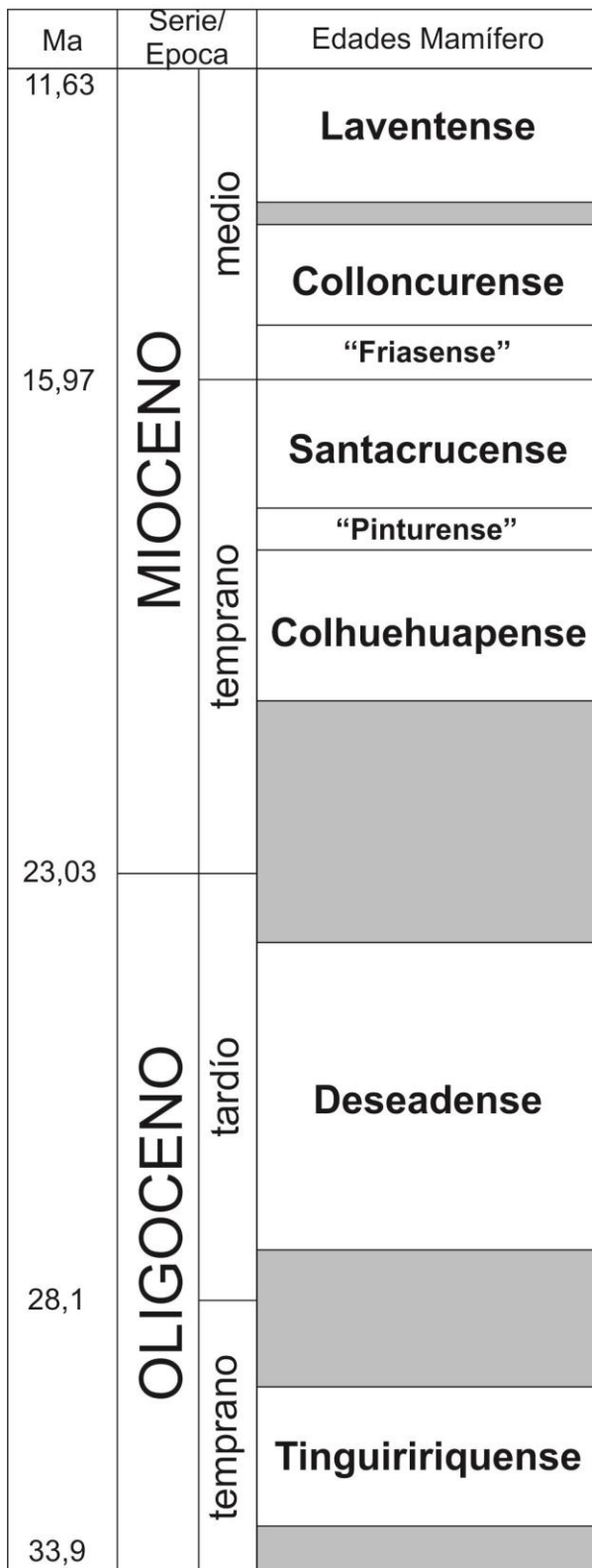


Figura 6.1. Edades Mamífero Sudamericanas del Oligoceno temprano al Mioceno medio. Edades absolutas en Ma (mega annum) de acuerdo a la Carta Estratigráfica Internacional v2014/10 (Cohen et al., 2013).

| Ma | Series - Epocas | Piso/Edad Sudamérica (1) | Biozonas de Sudamérica (1) | Biozonas del sudoeste de Buenos Aires (2) | Biozonas del Noroeste (3) | Biozonas de Córdoba (4) |
|-----------------|---------------------------------|-------------------------------------|--|---|---|---|
| 0,0117 0,126 | HOLOCENO tardío medio | Platense Lujanense Bonaerense | <i>Lagostomus maximus</i> <i>Equus (Amerippus) neogeus</i> <i>Megatherium americanum</i> | <i>Ozotoceros bezoarticus</i> <i>E. (A.) neogeus - Macrauchenia patagonica</i> <i>Ctenomys kraglievichi</i> | | |
| 0,781 | PLEISTOCENO temprano | Ensenadense | | <i>Neosclerocalypitus ornatus - Catonyx tarjiensis</i> | | |
| 1,806 | | Sanandresense | | | | |
| 2,588 | Vorobiusense Barrancabonense | Marplatense | <i>Ctenomys chapadmalensis</i> <i>A. (Akodon) lorenzini</i> <i>Pityoncus scegliae</i> | | | |
| 3,600 | Superior | Chapadmalense Inferior | <i>Paraglyptodon chapadmalensis</i> | | | |
| 5,332 | temprano | | | <i>Eumysops laeviplicatus</i> <i>Neocavia depressidens</i> <i>Trigodon gaudryi</i> | <i>Vassallia maxima - Pseudoplataeomys - Pitheomys</i> <i>Monthermosense</i> | |
| 7,246 | temprano | | | <i>Actenomys prisicus - Pliohippus cuneiformis</i> | <i>Cyonasua brevirostris</i> | <i>Paraeuphractus prominens-Caridiomys ameghini - Carditherium norum</i> |
| 11,62 | | Huayqueriense | | <i>Xenodontomys ellipticus</i> | | <i>Proeuphractus limpidus - Palearctictus argentinus - Chasicotatus ameghinii</i> |
| | | Chasiquense | | | <i>Scalabrinii</i> | |
| | | Edad Mamífero Mayoense | | | <i>Chasicotatus ameghinii</i> <i>Chasicotherium rothi</i> | |

- (1) Cione y Tonni, 1995, 2001
(2) Verzi et al., 2004; Deschamps, 2005; Tomassini et al., 2013
(3) Reguero y Candela, 2011; Esteban et al., 2014
(4) Cruz, 2012

Figura 6.2. Pisos/edades del Mioceno tardío al Holoceno, y propuestas bioestratigráficas de Argentina. Edades absolutas en Ma (mega annum) de acuerdo a la Carta Estratigráfica Internacional v2014/10 (Cohen et al., 2013).

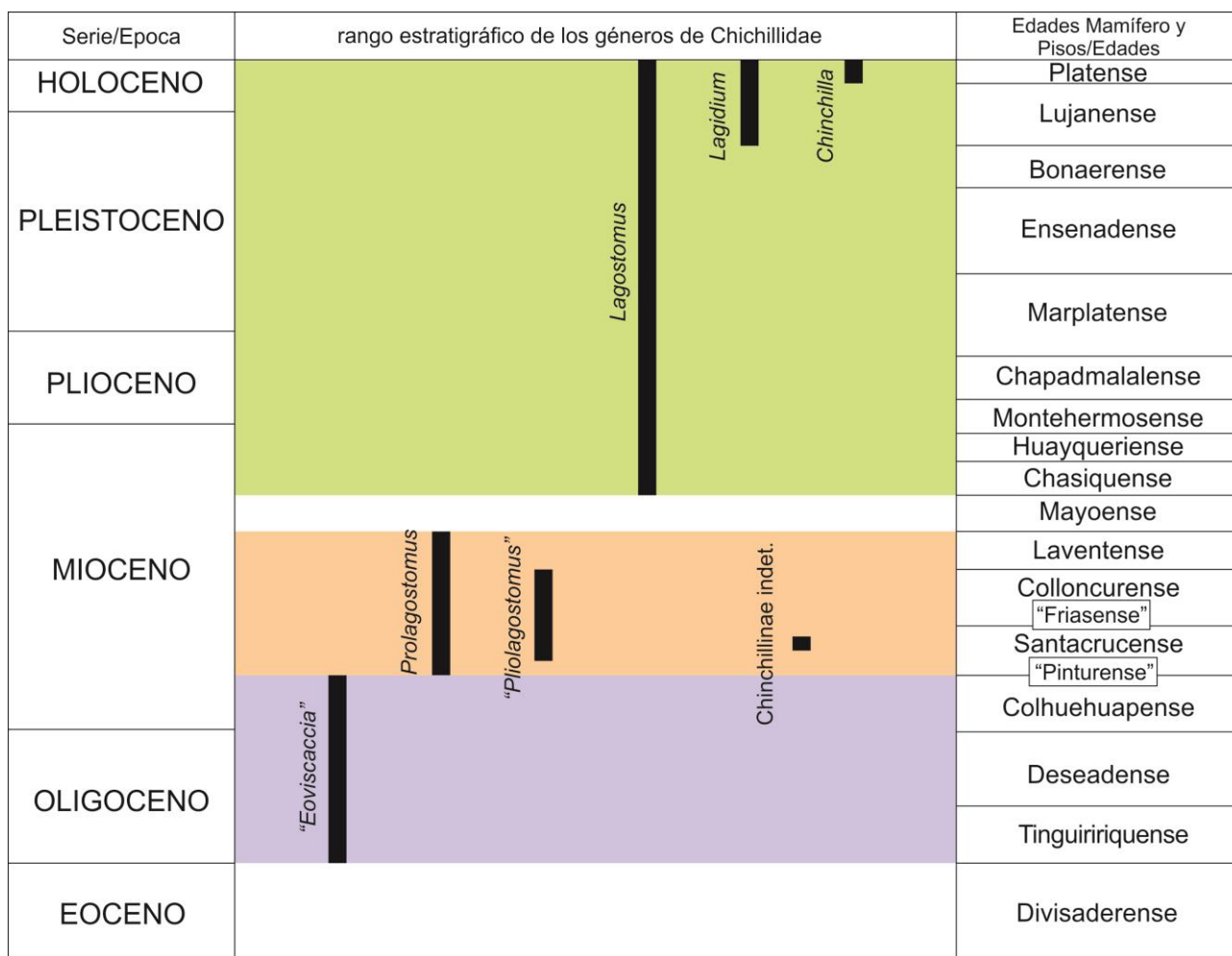


Figura 6.3. Distribución estratigráfica de los géneros de Chinchillidae, mostrando tres episodios con géneros característicos. Sombreado lila, representado por "*Eoviscaccia*"; naranja, representado por *Prolagostomus* y "*Pliolagostomus*"; verde, representado por *Lagostomus*, *Lagidium* y *Chinchilla*.

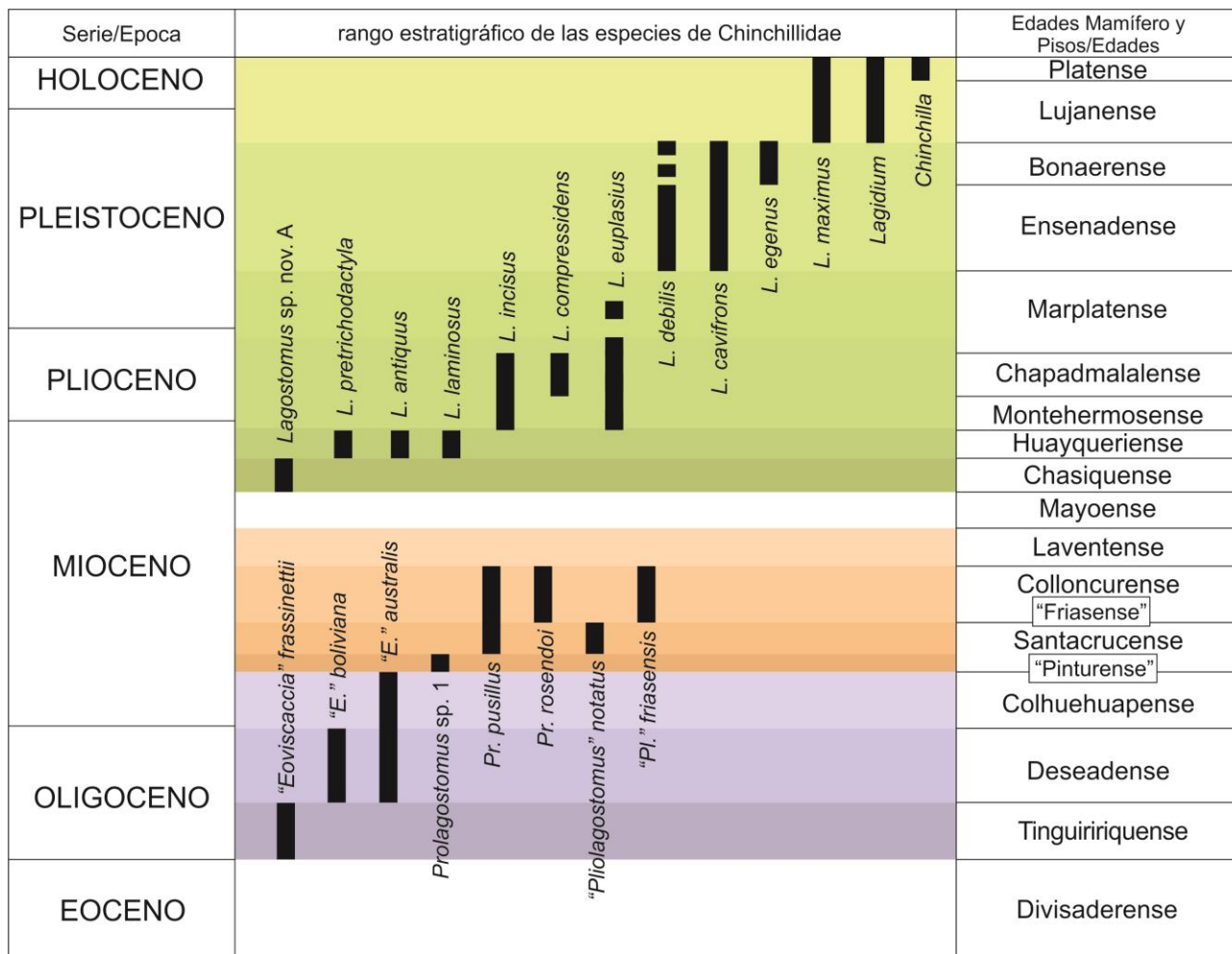


Figura 6.4. Distribución estratigráfica de las especies de Chinchillidae (solo se indican los géneros de Chinchillinae ya que su registro es escaso).

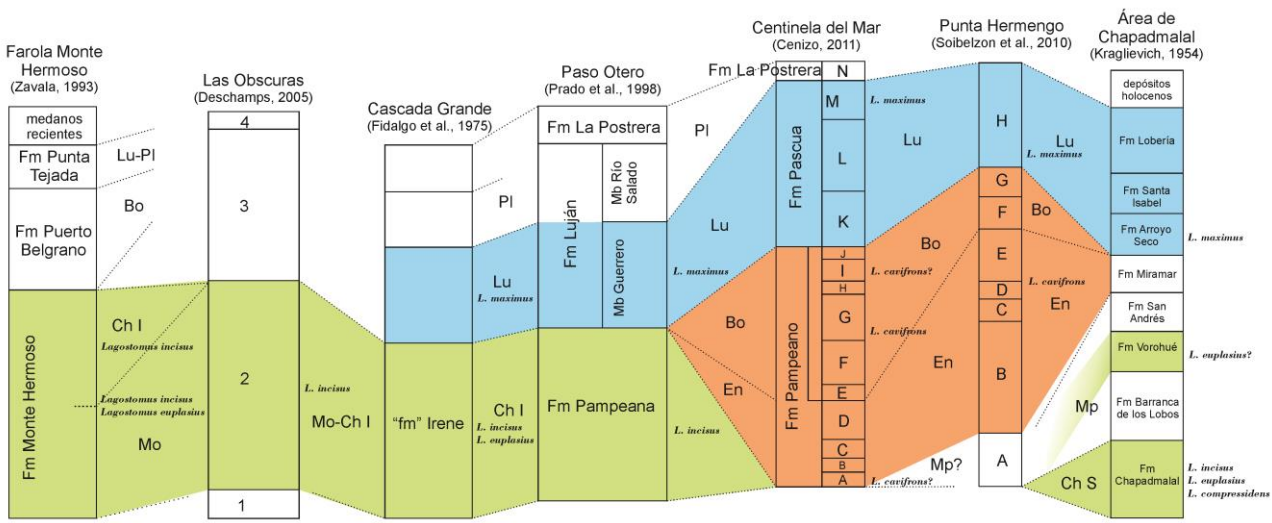


Figura 6.5. Columnas estratigráficas de siete localidades del sur de la Provincia de Buenos Aires, indicando los registros de *Lagostomus*. **Mo**, Montehermosense; **Ch I**, Chapadmalalense Inferior; **Ch S**, Chapadmalalense Superior; **Mp**, Marplatense; **En**, Ensenadense; **Bo**, Bonaerense; **Lu**, Lujanense; **PI**, Platense.

| Series - Epochs | | Piso/Edad Sudamérica (sensu Cione y Tonni, 2001) | especies de <i>Lagostomus</i> de Buenos Aires |
|-----------------|----------|---|---|
| HOLOCENO | | Platense | <i>Lagostomus maximus</i> |
| | | Lujanense | |
| PLEISTOCENO | tardio | Bonaerense | <i>Lagostomus cavifrons</i> |
| | medio | Ensenadense | |
| | temprano | Sanandresense | <i>Lagostomus eupiasius</i> |
| | | Vorohuense | |
| | tardio | Barrancalobense | |
| | | Superior | <i>Lagostomus incisus</i> <i>Lagostomus eupiasius</i> (<i>Lagostomus compressidens</i>) |
| PLIOCENO | temprano | Inferior | |
| | | Chapadmalalense | |
| | tardio | Montehermosense | |
| MIOCENO | tardio | Huayqueriense | |

Figura 6.6. Distribución estratigráfica de las especies de *Lagostomus* desde el Montehermosense hasta la Actualidad en la provincia de Buenos Aires.

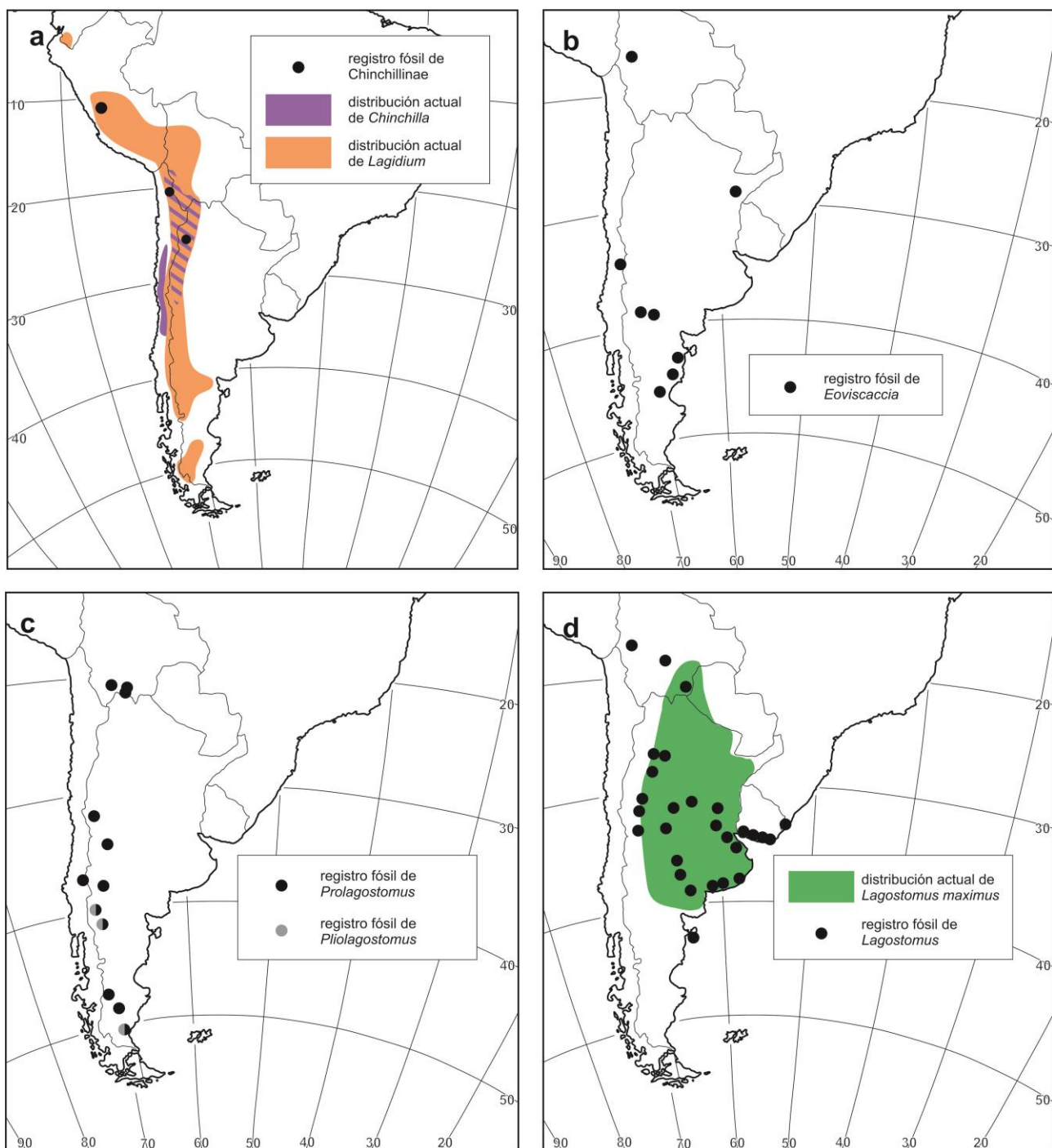


Figura 6.7. Distribución geográfica de chinchílidos vivientes y fósiles. **a**, distribución de los géneros vivientes *Lagidium* y *Chinchilla* y registros fósiles de Chinchillinae (Mioceno temprano - Reciente); **b**, registros fósiles de “*Eoviscaccia*” (Oligoceno temprano – Mioceno medio); **c**, registro fósil de *Prolagostomus* y “*Pliolagostomus*” (Mioceno temprano- Mioceno medio); **d**, distribución actual de *Lagostomus maximus* y registro fósil de *Lagostomus* (Mioceno tardío - Reciente).

Capítulo VII – Consideraciones paleobiológicas



Figura 7.1. Aspecto externo de los chinchillidos vivientes. **a**, *Chinchilla laniger*; **b**, *Lagidium viscacia*; **c**, *Lagostomus maximus*. **a**, Stefan Köder, www.arkive.org ; **b**, Luiz Claudio Marigo, www.arkive.org ; **c**, Luciana Hiriart.

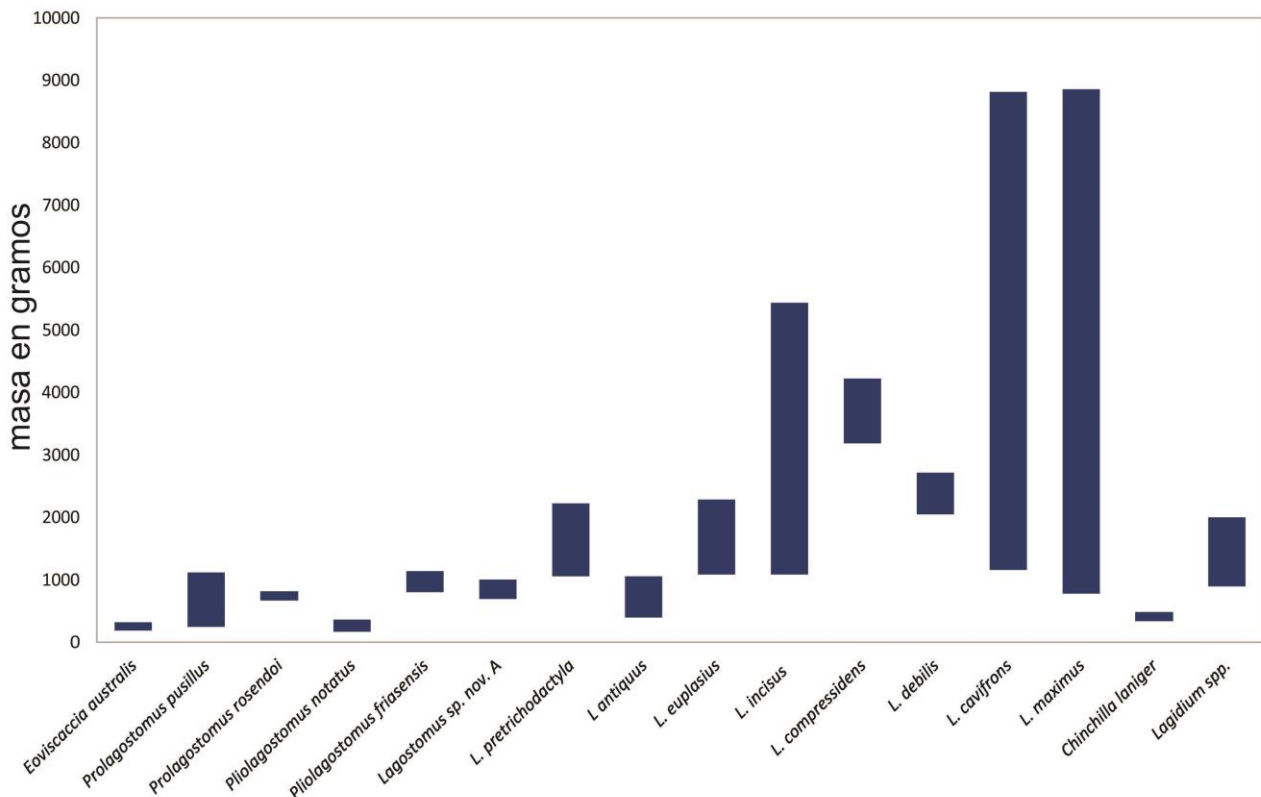


Figura 7.2. Rango de masa corporal estimada de chinchillidos fósiles y rango de peso corporal de chinchillidos vivientes.

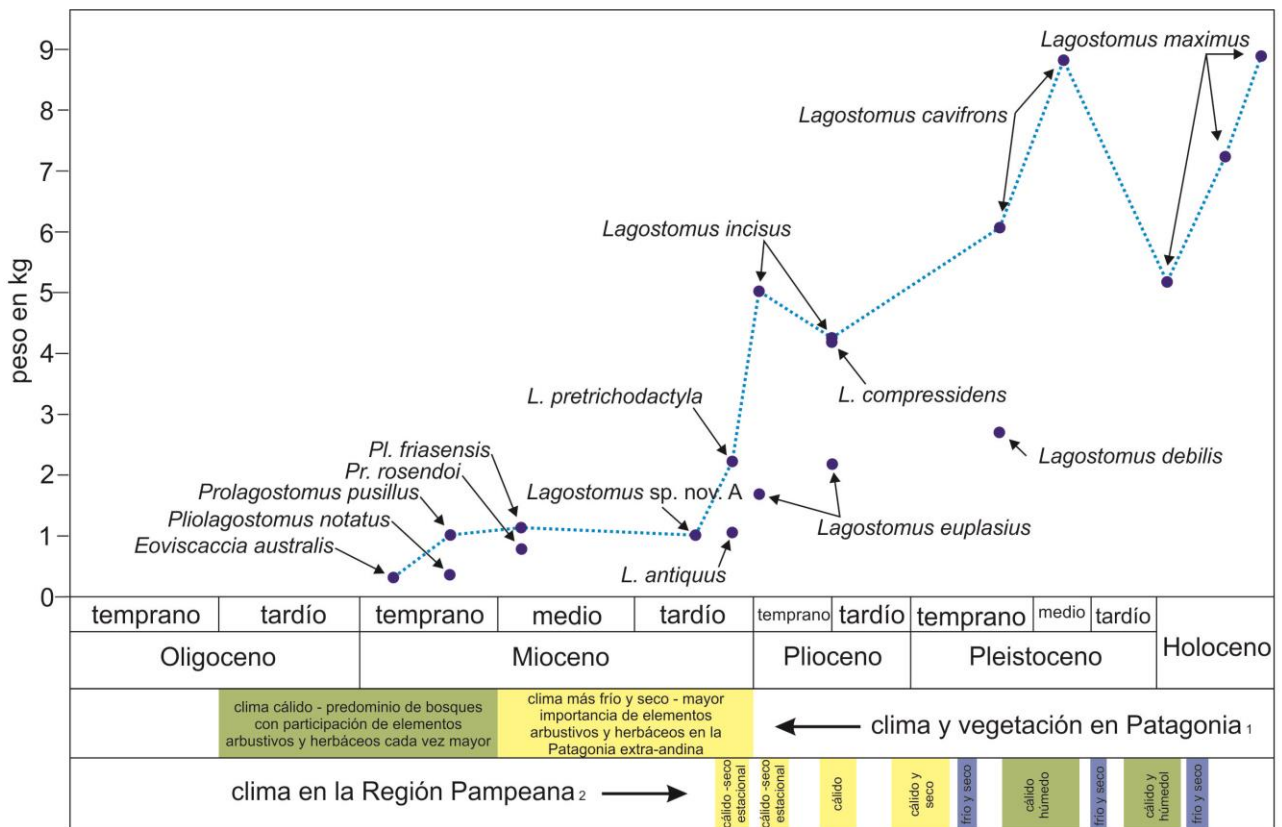


Figura 7.3. Correlación entre el aumento de tamaño en los chinchillidos y cambios ambientales en el Cenozoico. Los círculos azules indican la masa máxima estimada para cada especie. 1, según Barreda y Palazzesi, 2007; 2, según Cione y Tonni, 2001.

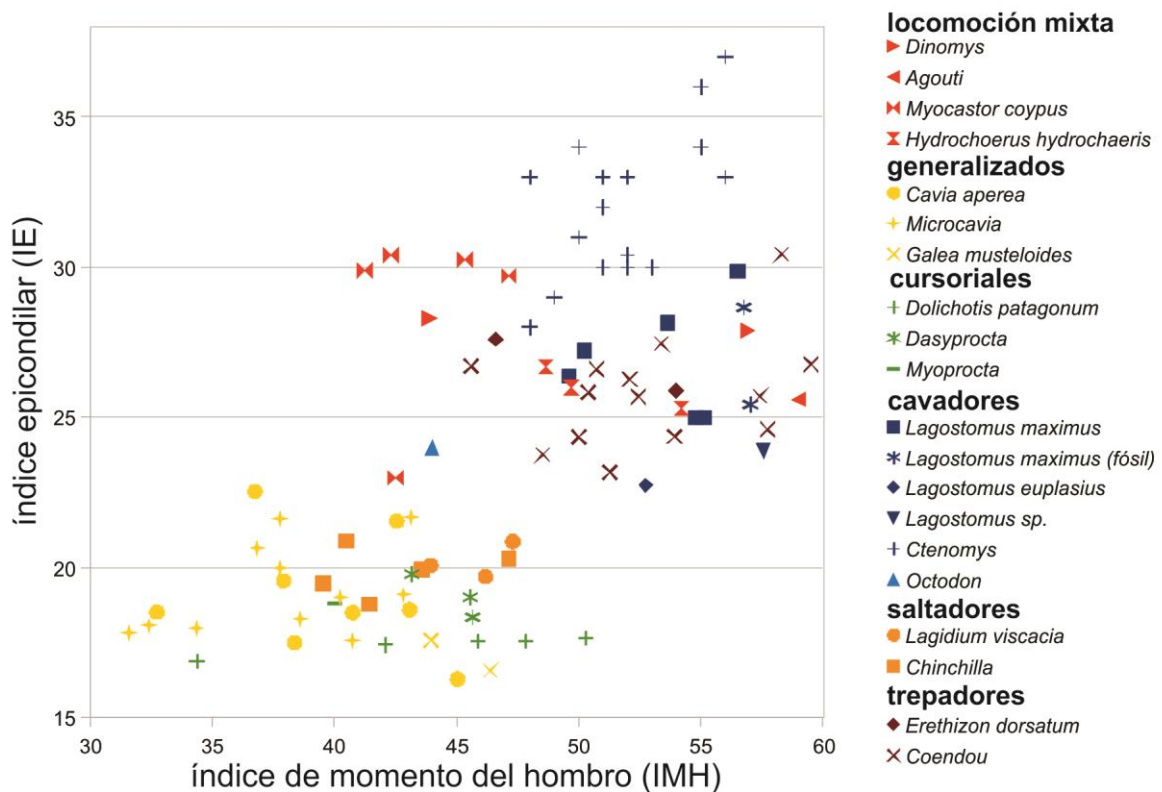


Figura 7.4. Grafico bivariado de los índices del húmero, IMH (índice de momento del hombro) e IE (índice epicondilar).

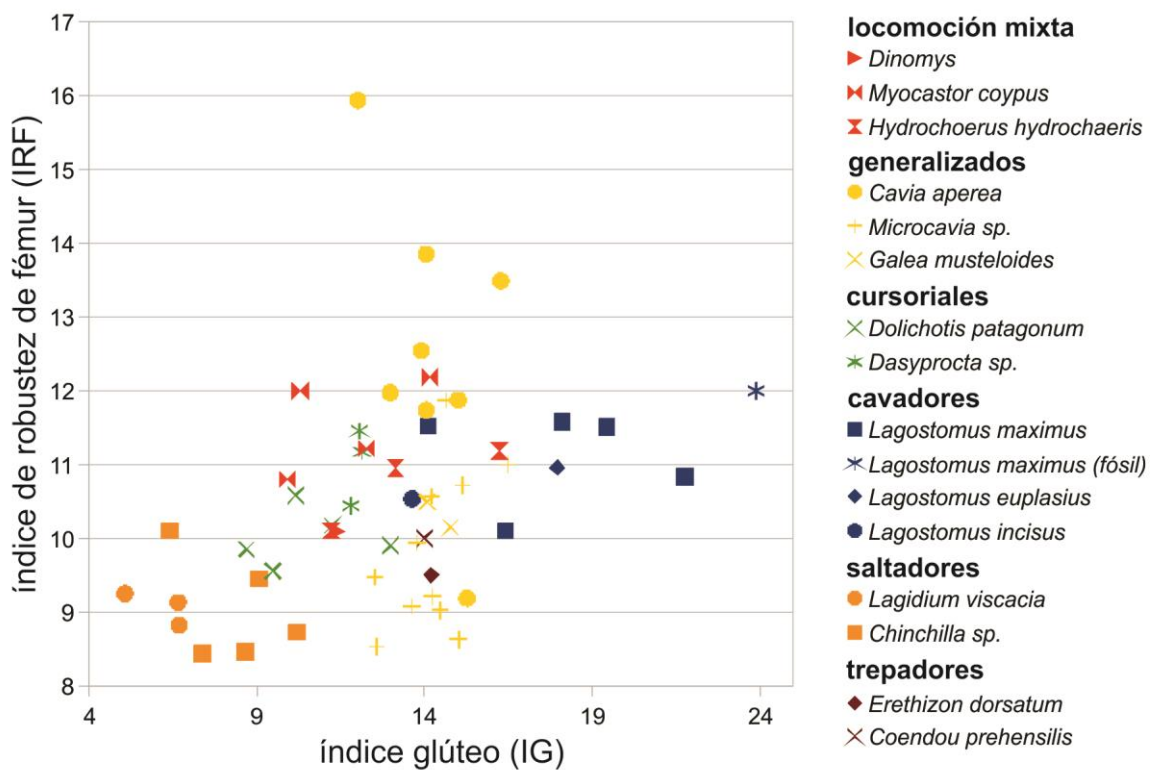


Figura 7.5. Grafico bivariado de los índices del fémur, IG (índice glúteo) e IRF (índice de robustez del fémur).

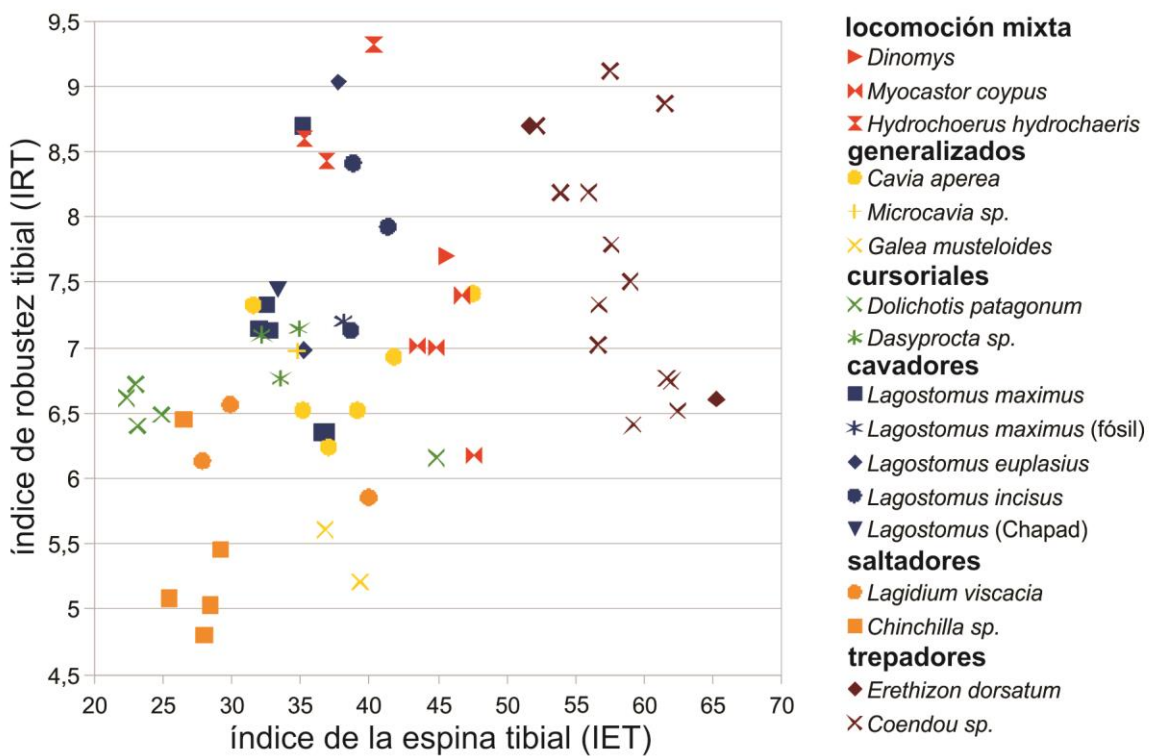


Figura 7.6. Grafico bivariado de los índices de la tibia, IET (índice de la espina tibial) e IRT (índice de robustez de la tibia).

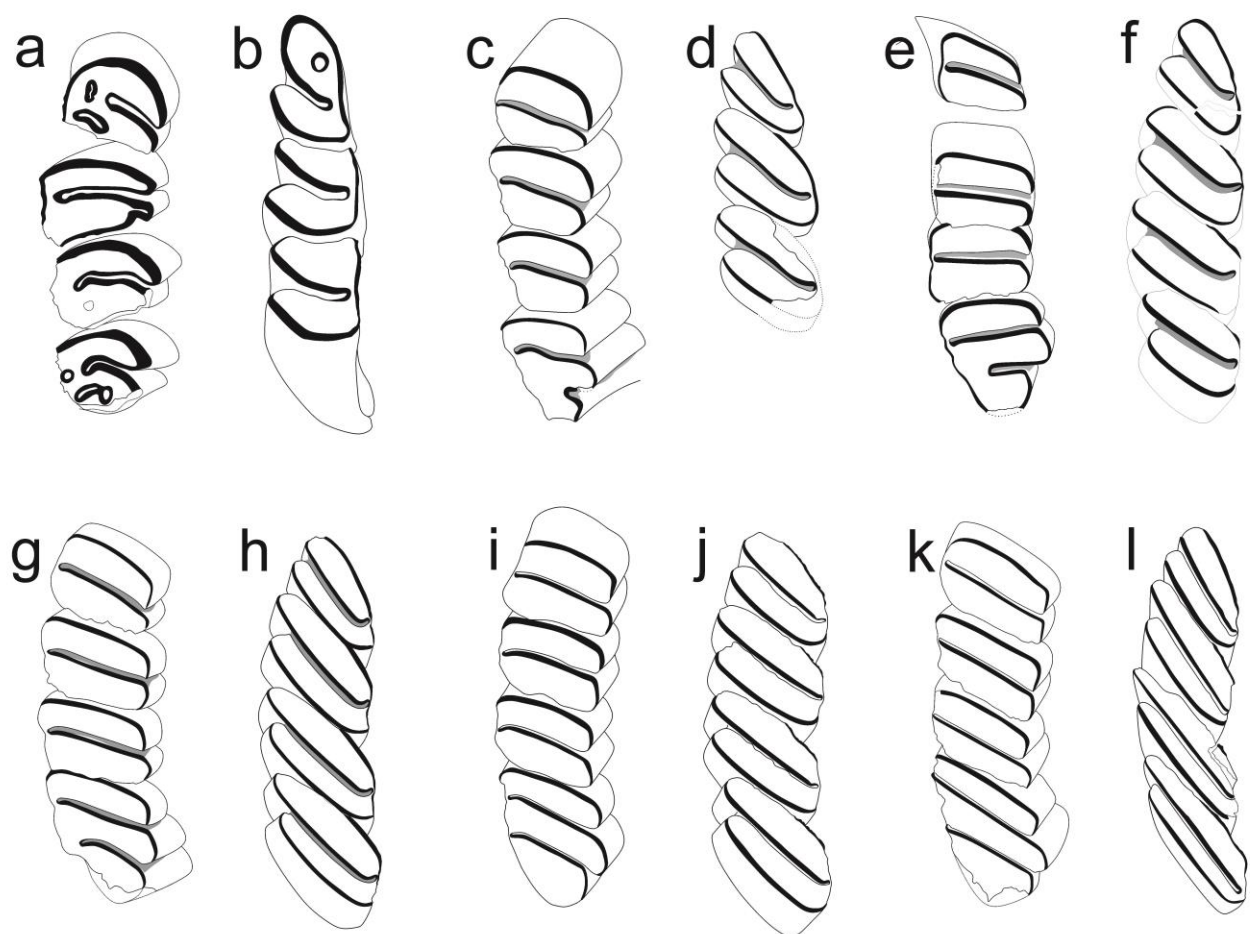


Figura 7.7. Morfología oclusal de los molariformes de chinchillidos fósiles y vivientes. “*Eoviscaccia*” *boliviensis*, serie molar superior (a) e inferior (b); *Prolagostomus pusillus*, serie molar superior (c) e inferior (d); “*Pliolagostomus*” *notatus* serie molar superior (e) e inferior (f); *Lagostomus* sp. nov. A, serie molar superior (g) e inferior (h); *Lagostomus maximus*, serie molar superior (i) e inferior (j); *Lagostomus incisus*, serie molar superior (k) e inferior (l). **d** y **h** son imágenes especulares. **a** y **b**, modificados de Vucetich, 1989.

TABLAS

Capítulo II – Materiales y métodos

Tabla 2.1. Material de chinchillidos fósiles utilizado en este trabajo.

| número | | Procedencia estratigráfica | Localidad |
|------------------------------|--|---|-------------------------------------|
| Chinchillidae indet. | | | |
| MACN Pv SC 2539 | DP4 izquierdo aislado | Fm Pinturas - "Pinturens" | Los Toldos Norte, Santa Cruz |
| Eoviscaccia australis | | | |
| MACN Pv CH 1297 (tipo) | M1 o M2 derecho aislado | Fm Sarmiento (nivel deseadense) | Cabeza Blanca, Chubut |
| MACN Pv CH 1298 | M1 o M2 derecho aislado | Fm Sarmiento (nivel deseadense) | Cabeza Blanca, Chubut |
| MACN Pv CH 1862 | fragmento de maxilar derecho con P4-M1 | parte inf. Del Mb Trelew, Fm Sarmiento - Colhuehuapense | La Cantera, cerca de Gaiman, Chubut |
| MACN Pv CH 1863 | M1 o M2 derecho aislado | parte inf. Del Mb Trelew, Fm Sarmiento - Colhuehuapense | La Cantera, cerca de Gaiman, Chubut |
| MACN Pv CH 1864 | M1 o M2 izquierdo aislado | parte inf. Del Mb Trelew, Fm Sarmiento - Colhuehuapense | La Cantera, cerca de Gaiman, Chubut |
| MACN Pv CH 1865 | M1 o M2 derecho aislado | parte inf. Del Mb Trelew, Fm Sarmiento - Colhuehuapense | La Cantera, cerca de Gaiman, Chubut |
| MACN Pv CH 1866 | M1 o M2 izquierdo aislado | parte inf. Del Mb Trelew, Fm Sarmiento - Colhuehuapense | La Cantera, cerca de Gaiman, Chubut |
| MACN Pv CH 1867 | M3 izquierdo aislado | parte inf. Del Mb Trelew, Fm Sarmiento - Colhuehuapense | La Cantera, cerca de Gaiman, Chubut |
| MACN Pv CH 1868 | M3 derecho aislado | parte inf. Del Mb Trelew, Fm Sarmiento - Colhuehuapense | La Cantera, cerca de Gaiman, Chubut |
| MACN Pv CH 1869 | M3 izquierdo aislado | parte inf. Del Mb Trelew, Fm Sarmiento - Colhuehuapense | La Cantera, cerca de Gaiman, Chubut |
| MACN Pv CH 1870 | M3 derecho aislado | parte inf. Del Mb Trelew, Fm Sarmiento - Colhuehuapense | La Cantera, cerca de Gaiman, Chubut |
| MACN Pv CH 1871 | M3 derecho aislado | parte inf. Del Mb Trelew, Fm Sarmiento - Colhuehuapense | La Cantera, cerca de Gaiman, Chubut |
| MACN Pv CH 1872 | DP4 izquierdo aislado | parte inf. Del Mb Trelew, Fm Sarmiento - Colhuehuapense | La Cantera, cerca de Gaiman, Chubut |
| MACN Pv CH 1873 | DP4 derecho aislado | parte inf. Del Mb Trelew, Fm Sarmiento - Colhuehuapense | La Cantera, cerca de Gaiman, Chubut |
| MACN Pv CH 1874 | DP4 derecho aislado | parte inf. Del Mb Trelew, Fm Sarmiento - Colhuehuapense | La Cantera, cerca de Gaiman, Chubut |
| MACN Pv CH 1875 | p4 izquierdo aislado | parte inf. Del Mb Trelew, Fm Sarmiento - Colhuehuapense | La Cantera, cerca de Gaiman, Chubut |
| MACN Pv CH 1876 | p4 izquierdo aislado | parte inf. Del Mb Trelew, Fm Sarmiento - Colhuehuapense | La Cantera, cerca de Gaiman, Chubut |
| MACN Pv CH 1877 | p4 izquierdo aislado | parte inf. Del Mb Trelew, Fm Sarmiento - Colhuehuapense | La Cantera, cerca de Gaiman, Chubut |
| MACN Pv CH 1878 | p4 derecho aislado | parte inf. Del Mb Trelew, Fm Sarmiento - Colhuehuapense | La Cantera, cerca de Gaiman, Chubut |
| MACN Pv CH 1879 | m1 o m2 derecho aislado | parte inf. Del Mb Trelew, Fm Sarmiento - Colhuehuapense | La Cantera, cerca de Gaiman, Chubut |
| MACN Pv CH 1880 | m1 o m2 izquierdo aislado | parte inf. Del Mb Trelew, Fm Sarmiento - Colhuehuapense | La Cantera, cerca de Gaiman, Chubut |
| MACN Pv CH 1881 | m1 o m2 izquierdo aislado | parte inf. Del Mb Trelew, Fm Sarmiento - Colhuehuapense | La Cantera, cerca de Gaiman, Chubut |
| MACN Pv CH 1882 | m1 o m2 izquierdo aislado | parte inf. Del Mb Trelew, Fm Sarmiento - Colhuehuapense | La Cantera, cerca de Gaiman, Chubut |
| MACN Pv CH 1883 | m1 o m2 izquierdo aislado | parte inf. Del Mb Trelew, Fm Sarmiento - Colhuehuapense | La Cantera, cerca de Gaiman, Chubut |

| | | | |
|--|---|---|--|
| MACN Pv CH 1884 | dp4 izquierdo aislado | parte inf. Del Mb Trelew, Fm Sarmiento - Colhuehuapense | La Cantera, cerca de Gaiman, Chubut |
| MACN Pv CH 1885 | dp4 derecho aislado | parte inf. Del Mb Trelew, Fm Sarmiento - Colhuehuapense | La Cantera, cerca de Gaiman, Chubut |
| MACN Pv CH 1886 | dp4 derecho aislado | parte inf. Del Mb Trelew, Fm Sarmiento - Colhuehuapense | La Cantera, cerca de Gaiman, Chubut |
| PVPH 451 | tres molariformes aislados | Fm Cerro Bandera - Colhuehuapense | Sierra del Portezuelo Norte, Neuquén |
| PVPH 452 | cuatro molariformes aislados | Fm Cerro Bandera - Colhuehuapense | Cerro Bayo Mesa, Neuquén |
| MPEF 5422 | p4 izquierdo y DP4 izquierdo aislados | Colhuehuapense | Gran Barranca, Chubut |
| <i>Eoviscaccia sp.</i> | | | |
| UNN Pz Ctes 3769a | p4 izquierdo | Fm Fray Bentos - Deseadense | arroyo María Grande (sección inf.), Corrientes |
| UNN Pz Ctes 3766a | P4? derecho | Fm Fray Bentos - Deseadense | arroyo Ávalos (sección sup.), Corrientes |
| <i>Prolagostomus pusillus</i> | | | |
| MLP Pv 15-136 (tipo) | fragmento de paladar con P4-M3 | Fm Santa Cruz - Santacruceña | barrancas del río Santa Cruz, Santa Cruz |
| MLP Pv 15-418c | tres molariformes superiores derechos | Fm Collón Curá - Colloncureña | barrancas del río Collón Curá, Neuquén |
| MLP Pv 15-7 | molariforme superior derecho | Fm Collón Curá - Colloncureña | río Sengerr, Chubut |
| MLP Pv 15-129 | molar inferior aislado | Fm Santa Cruz - Santacruceña | Santa Cruz |
| MLP Pv 15-152 | paladar con ambas series dentarias | Fm Santa Cruz - Santacruceña | barrancas del río Santa Cruz, Santa Cruz |
| MLP Pv 15-385 | paladar con P4-M2 derechos y P4-M3 izquierdos | Fm Santa Cruz - Santacruceña | bcas. del río Santa Cruz, Santa Cruz |
| MLP Pv 26-IV-15-6 | fragmento de cráneo con I derecho, y P4-M3 derechos e izquierdos | Fm Santa Cruz - Santacruceña | bcas. del río Santa Cruz, Santa Cruz |
| MLP Pv 68-IX-2-1 | porción anterior del cráneo con ambos I, P4-M2 derechos e izquierdos | Fm Santa Cruz - Santacruceña | bcas. del río Santa Cruz, Santa Cruz |
| MLP Pv 15-110 | fragmento derecho de paladar con P4-M2, y fragmento mandibular derecho con p4-m1 rotos y m2 | Fm Santa Cruz - Santacruceña | bcas. del río Santa Cruz, Santa Cruz |
| MLP Pv 15-88 | fragmento de mandíbula izquierda con p4-m3 | Fm Santa Cruz - Santacruceña | bcas. del río Santa Cruz, Santa Cruz |
| MLP Pv 15-65 | mandíbula derecha con p4-m2 | Fm Santa Cruz - Santacruceña | bcas. del río Santa Cruz, Santa Cruz |
| MLP Pv 15-115 | fragmento mandibular izquierdo i roto, y p4-m1 | Fm Santa Cruz - Santacruceña | bcas. del río Santa Cruz, Santa Cruz |
| MLP 15-294 | fragmento de maxilar izquierdo con P4-M2 | Fm Santa Cruz - Santacruceña | bcas. del río Santa Cruz, Santa Cruz |
| MLP 15-354 | fragmento mandibular izquierdo con i roto y p4-m3 | Fm Santa Cruz - Santacruceña | bcas. del río Santa Cruz, Santa Cruz |
| MLP 15-304 | fragmento mandibular derecho con p4-m3 | Fm Santa Cruz - Santacruceña | bcas. del río Santa Cruz, Santa Cruz |
| <i>Prolagostomus rosendoi</i> | | | |
| MLP 76-VIII-30-3 (tipo) | porción anterior del cráneo con P4-M3 izquierdos y P4-M2 derechos | Fm Collón Curá - Colloncureña | Cantera 27 de Setiembre, Ing. Jacobacci, Río Negro |
| <i>Prolagostomus sp. nov. A</i> | | | |

| | | | |
|---|--|--|---|
| MACN Pv SC2596 (tipo) | molar superior izquierdo aislado | Fm Pinturas - "Pinturens" | Santa Cruz |
| MACN Pv SC2538 | molar superior derecho | Fm Pinturas - "Pinturens" | Santa Cruz |
| MACN Pv SC2597 | molar superior derecho | Fm Pinturas - "Pinturens" | Santa Cruz |
| MACN Pv SC2598 | M3 derecho | Fm Pinturas - "Pinturens" | Santa Cruz |
| MACN Pv SC2599 | molar? superior derecho | Fm Pinturas - "Pinturens" | Santa Cruz |
| MACN Pv SC2766 | P4? derecho | Fm Pinturas - "Pinturens" | Santa Cruz |
| MACN Pv SC2767 | m1 o m2 izquierdo | Fm Pinturas - "Pinturens" | Santa Cruz |
| MACN Pv SC2768 | p4 derecho | Fm Pinturas - "Pinturens" | Santa Cruz |
| MACN Pv SC2769 | tres molariformes aislados | Fm Pinturas - "Pinturens" | Santa Cruz |
| MACN Pv SC4060 | M3 derecho | Fm Pinturas - "Pinturens" | Santa Cruz |
| <i>Prolagostomus</i> sp. | | | |
| MLP Pv 90-XII-19-2 | M1 o M2 y M3 izquierdos | Fm Collón Curá - Colloncurense | Balsa Collón Curá, Neuquén |
| MLP Pv 91-IX-2-165 | cráneo con ambos I y series P4-M3 | Fm Collón Curá - Colloncurense | Estancia Collón Curá, Neuquén |
| <i>Pliolagostomus notatus</i> | | | |
| MLP Pv 15-18 (tipo) | fragmento mandibular izquierdo con i roto y p4-m3 | Fm Santa Cruz - Santacruense | Santa Cruz |
| MLP Pv 15-100 | paladar con P4-M3 derechos y M2-M3 izquierdos | Fm Santa Cruz - Santacruense | Santa Cruz |
| MLP Pv 15-350 | fragmento mandibular izquierdo con p4-m2 | Fm Santa Cruz - Santacruense | bcas. del río Santa Cruz, Santa Cruz |
| MLP Pv 15-171 | fragmento de mandíbula izquierda con p4-m1 | Fm Santa Cruz - Santacruense | bcas. del río Santa Cruz, Santa Cruz |
| <i>Pliolagostomus friasensis</i> | | | |
| MLP Pv 15-419 (tipo) | fragmento mandibular izquierdo con p4-m3 | Fm Collón Curá - Colloncurense | bcas. del río Collón Curá, Neuquén |
| MMP 673 | fragmento mandibular derecho con p4-m3 | Fm Collón Curá - Colloncurense | río Collón Curá, entre Collón Curá y Rinconada, Neuquén |
| MLP Pv 74-II-1-32 | fragmento mandibular derecho con p4-m3 | Mb Tobáceo Las Bayas, Fm Collón Curá - Colloncurense | Pilcanieu Viejo, Río Negro |
| MLP Pv 74-II-1-33 | fragmento mandibular izquierdo con p4-m3 | Mb Tobáceo Las Bayas, Fm Collón Curá - Colloncurense | Pilcanieu Viejo, Río Negro |
| MLP Pv 74-II-1-29 | fragmento mandibular izquierdo con p4-m1, fragmento mandibular izquierdo con p4 y parte del m1 | Mb Tobáceo Las Bayas, Fm Collón Curá - Colloncurense | Pilcanieu Viejo, Río Negro |
| MLP Pv 74-II-1-35 | fragmento mandibular izquierdo con p4 | Mb Tobáceo Las Bayas, Fm Collón Curá - Colloncurense | Pilcanieu Viejo, Río Negro |
| MLP Pv 74-II-1-31 | fragmento mandibular izquierdo con p4 | Mb Tobáceo Las Bayas, Fm Collón Curá - Colloncurense | Pilcanieu Viejo, Río Negro |
| MLP Pv 74-II-1-36 | fragmento de paladar con P4-M2 derecho y P4-M1 izquierdo | Mb Tobáceo Las Bayas, Fm Collón Curá - Colloncurense | Pilcanieu Viejo, Río Negro |
| MLP Pv 76-VIII-30-5 | P4-M2 izquierdos | Mb Tobáceo Las Bayas, Fm Collón Curá - Colloncurense | Ing. Jacobacci, Río Negro |
| <i>Lagostomus</i> sp. nov. A | | | |
| MLP Pv 55-IV-28-42 | fragmento mandibular izquierdo con parte del i, p4-m2 completos, y parte de m3 | Fm Arroyo Chasicó - Chasiquense | Arroyo Chasicó, Buenos Aires |
| MLP Pv 55-IV-28-43 | fragmento de maxilar derecho con P4-M3 | Fm Arroyo Chasicó - Chasiquense | Arroyo Chasicó, Buenos Aires |

| | | | |
|---|--|--|------------------------------------|
| MLP Pv 55-IV-28-44 | fragmento sínfisario de las mandíbulas con p4-m1 | Fm Arroyo Chasicó - Chasiquense | Arroyo Chasicó, Buenos Aires |
| MLP Pv 60-VI-18-100 | paladar con ambas series P4-M3 | Fm Arroyo Chasicó - Chasiquense | Arroyo Chasicó, Buenos Aires |
| MLP Pv 60-VI-18-101 (tipo) | fragmento de mandíbula derecha con p4-m3 | Fm Arroyo Chasicó - Chasiquense | Arroyo Chasicó, Buenos Aires |
| MLP Pv 60-VI-18-107 | fragmento mandibular derecho con p4 y fragmento mandibular izquierdo con m1-m3 | Fm Arroyo Chasicó - Chasiquense | Arroyo Chasicó, Buenos Aires |
| MLP Pv 76-VI-12-47 | fragmento de mandíbula izquierda con p4-m3 | Fm Arroyo Chasicó-Mb Las Barrancas - Chasiquense Sup | Arroyo Chasicó, Buenos Aires |
| MLP Pv 92-XI-19-1 | fragmento de mandíbula izquierda con parte del i, p4 completo, y parte del m1-m2 | Fm Arroyo Chasicó-Mb Vivero - Chasiquense Inf | Arroyo Chasicó, Buenos Aires |
| MLP Pv 92-XI-19-2 | fragmento de mandíbula izquierda con p4-m3 | Fm Arroyo Chasicó-Mb Vivero - Chasiquense Inf | Arroyo Chasicó, Buenos Aires |
| MLP Pv 57-XII-23-6 | fragmento de mandíbula derecha con p4-m3 y parte del incisivo en el alvéolo | Fm Huachipampa - Chasiquense | Loma del Camello, Jachal, San Juan |
| <i>Lagostomus pretrichodactyla</i> | | | |
| MACN 8339 (tipo) | cráneo incompleto con ambas series dentarias completas | "Araucanense" | Andalhualá, Catamarca |
| MACN 8345 (tipo de " <i>Viscaccia insolita</i> ") | cráneo incompleto con ambas series dentarias completas y porción de la mandíbula izquierda con p4-m2 | "Araucanense" | Andalhualá, Catamarca |
| MACN 8337 (tipo de " <i>Viscaccia angulata</i> ") | paladar con ambas series dentarias completas | "Araucanense" | Andalhualá, Catamarca |
| MACN 8212 | fragmento de cráneo con P4-M3 derecho e izquierdo | "Araucanense" | Andalhualá, Catamarca |
| MACN 8272 | fragmentos de tres ramas mandibulares y molar aislado | "Araucanense" | Andalhualá, Catamarca |
| MACN 8274 | fragmento de pelvis con acetábulo | "Araucanense" | Andalhualá, Catamarca |
| MACN 8294 | fragmento mandibular derecho e izquierdo, ambos con p4-m3 | "Araucanense" | Andalhualá, Catamarca |
| MACN 8295 | fragmento mandibular | "Araucanense" | Andalhualá, Catamarca |
| MACN 8338 | cráneo incompleto con P4-M3 derecho e izquierdo, fragmento mandibular izquierdo con p4-m3 | "Araucanense" | Andalhualá, Catamarca |
| MACN 8340 | paladar con P4-M3 derecho e izquierdo | "Araucanense" | Andalhualá, Catamarca |
| MACN 8341 | fragmento anterior de ambas mandíbulas, con incisivos derecho e izquierdo y p4-m2 derechos | "Araucanense" | Andalhualá, Catamarca |
| MACN 8342 | fragmentos de dos ramas mandibulares con dos molares | "Araucanense" | Andalhualá, Catamarca |
| MACN 8343 | fragmento mandibular derecho con p4-m3 | "Araucanense" | Andalhualá, Catamarca |
| MACN 8344 | tres molares aislados | "Araucanense" | Andalhualá, Catamarca |
| MACN 8443 | fragmento mandibular con dos molares y fragmento de premaxilar con incisivo | "Araucanense" | Andalhualá, Catamarca |
| MACN 8462 | fragmento mandibular derecho con p4-m2 y parte del incisivo | "Araucanense" | Andalhualá, Catamarca |
| MACN 18959 (calco de FMNH P14540) | mandíbulas con p4-m3 derecho y p4-m2 izquierdo | sin procedencia precisa - Huayqueriense | Corral Quemado, Catamarca |

| | | | |
|------------------------------------|--|--|--|
| MACN 18966 (calco FMNH P15268) | paladar con P4-M2 derechos e izquierdos | nivel XX del perfil de Stahlecker en Riggs y Patterson (1939) - Huayqueriense | Valle de Santa María, Loma Rica, Catamarca |
| MACN 19025 (calco FMNH P15252) | fragmento mandibular con p4-m3 | sin procedencia precisa - Huayqueriense | Corral Quemado, Catamarca |
| MACN 19026 (calco FMNH P14352) | cráneo incompleto con P4-M3 derecho y M1-M3 izquierdo y las bases de ambos incisivos | Nivel XVIIIa del perfil de Stahlecker en Riggs y Paterson (1939) - Huayqueriense | Valle de Santa María, Loma Rica, Catamarca |
| MLP Pv 65-VII-29-72 | fragmento anterior de cráneo con P4-M3 derecho e izquierdo | Fm Cerro Azul - Huayqueriense | Salinas Grandes de Hidalgo, La Pampa |
| IANIGLA Pv 34 | mandíbula con p4-m3 | Fm Huayquerías - Huayqueriense | Huayquerías de la Horqueta Sur, Mendoza |
| IANIGLA Pv 35 | fragmento mandibular izquierdo con p4 | Fm Tunuyán | Huayquerías Bajada del Fuerte, Mendoza |
| IANIGLA Pv 36 | molar superior izquierdo aislado | Fm Tunuyán | Río Seco del Agua Escondida, Mendoza |
| IANIGLA Pv s/n | fragmento de paladar con P4-M1 derechos y P4-M2 izquierdos | Fm Tunuyán | Huayquerías Bajada del Fuerte, Mendoza |
| <i>Lagostomus antiquus</i> | | | |
| MASP 32 (tipo) | fragmento mandibular izquierdo con i y p4 rotos y m2-m3 | Fm Ituzaingó, Conglomerado Osífero - "Mesopotamiense" | Paraná, Entre Ríos |
| MLP M-40 | dos calcos del tipo | Fm Ituzaingó, Conglomerado Osífero - "Mesopotamiense" | Paraná, Entre Ríos |
| CICYTTP PV M-2-221 | fragmento mandibular izquierdo con p4-m3 | Fm Ituzaingó, Conglomerado Osífero - "Mesopotamiense" | Toma Vieja, Entre Ríos |
| MLP Pv 97-X-3-1a | paladar con P4-M3 derechos y M2-M3 izquierdos | Fm Ituzaingó, Conglomerado Osífero - "Mesopotamiense" | Paraná, Entre Ríos |
| MLP Pv 97-X-3-1b | M3 derecho aislado | Fm Ituzaingó, Conglomerado Osífero - "Mesopotamiense" | Paraná, Entre Ríos |
| MLP Pv 15-424 | fragmento mandibular izquierdo con p4-m1 | Fm Ituzaingó, Conglomerado Osífero - "Mesopotamiense" | Paraná, Entre Ríos |
| MACN 9099 | fragmento mandibular derecho con m1-m3 | Fm Ituzaingó, Conglomerado Osífero - "Mesopotamiense" | Paraná, Entre Ríos |
| MACN 13436 | fragmento derecho de paladar con P4-M3 | Fm Ituzaingó, Conglomerado Osífero - "Mesopotamiense" | Paraná, Entre Ríos |
| MACN 13457 | fragmento mandibular izquierdo con m1-m3 | Fm Ituzaingó, Conglomerado Osífero - "Mesopotamiense" | Paraná, Entre Ríos |
| MACN A 5883 | P4 aislado | Fm Ituzaingó, Conglomerado Osífero - "Mesopotamiense" | Paraná, Entre Ríos |
| <i>Lagostomus laminosus</i> | | | |
| MACN Pv 8883 | dos molares inferiores aislados | Fm Ituzaingó, Conglomerado Osífero - "Mesopotamiense" | Paraná, Entre Ríos |
| MACN Pv 5884 | dos molares inferiores aislados | Fm Ituzaingó, Conglomerado Osífero - "Mesopotamiense" | Espinillo, Entre Ríos |
| <i>Lagostomus incisus</i> | | | |
| MACN-A 1112 (neotipo) | porción anterior del cráneo con ambos incisivos, ambas series molariformes completas y fragmento derecho de basicráneo | Formación Monte Hermoso - Montehermosense | Farola Monte Hermoso, Buenos Aires |
| MACN-A 1654 | mandíbula izquierda con p4-m3 y fragmento de premaxilar con incisivo derecho | Formación Monte Hermoso - Montehermosense | Farola Monte Hermoso, Buenos Aires |

| | | | |
|----------------------|---|---|---|
| MACN-Pv 7388 | cráneo bastante completo, sin el techo craneano, con ambos incisivos y series molariformes completas | Formación Monte Hermoso - Montehermosense | Farola Monte Hermoso, Buenos Aires |
| MLP Pv 46-V-13-72 | fragmento de mandíbula derecha con incisivo y p4-m2, M2 derecho aislado y tibia derecha | Formación Monte Hermoso, sección superior - Montehermosense | Farola Monte Hermoso, Buenos Aires |
| MLP Pv 48-XII-16-194 | porción de paladar con P4-M1 derechos y M2-M3 izquierdos | Formación Monte Hermoso, sección superior - Montehermosense | Farola Monte Hermoso, Buenos Aires |
| MLP Pv 86-VI-20-13 | porción anterior del rostro con ambos incisivos | Formación Monte Hermoso, sección superior | Farola Monte Hermoso, Buenos Aires |
| MLP Pv 88-VI-1-2 | fragmento de cráneo con P4-M3 derechos y P4-M2 izquierdos, fragmento de mandíbula izquierda con p4-m3, dos incisivos superiores aislados, una vertebra caudal, húmero derecho, fragmentos de pélvis y fémur izquierdo | Formación Chapadmalal - Chapadmalalense | Las Vertientes, Buenos Aires |
| MLP Pv 91-IV-5-258 | cráneo muy completo con ambas series dentarias completas, radio derecho, diáfisis de ulna derecha, fémur derecho, fragmento de fémur izquierdo, tibia derecha, calcáneo izquierdo, astrágalo derecho, metatarsales derechos II, III y IV, falanges proximales derechas II, III y IV | Formación Chapadmalal, paleosuelo 1 - Chapadmalalense | Fortín-88, Buenos Aires |
| MLP Pv 91-IV-5-223 | mandíbula derecha | Formación Chapadmalal - Chapadmalalense | entre Fortín-88 y Barranca de los Lobos, Buenos Aires |
| MLP Pv 91-IV-5-214 | fragmento de mandíbula izquierda con incisivo y p4-m2, incisivo superior izquierdo aislado | Formación Chapadmalal, paleosuelo 1 - Chapadmalalense | Fortín-88, Buenos Aires |
| MLP Pv 63-VI-10-59 | cráneo incompleto con ambas series dentarias completas | "formación" Irene - Montehermosense/Chapadmalalense | Quequén Salado, Buenos Aires |
| MLP Pv 91-III-1-18 | cráneo bastante completo con ambas series dentarias completas | "formación" Irene, capa 4 - Montehermosense/Chapadmalalense | Cascada Grande, aguas abajo, Buenos Aires |
| MLP Pv 91-III-1-36 | paladar con ambas series dentarias completas, fragmento de rostro, atlas, axis, vértebra cervical, y fragmentos derecho e izquierdo de cintura pélvica | "formación" Irene, capa 4 - Montehermosense/Chapadmalalense | Cascada Grande, aguas abajo, Buenos Aires |
| MLP Pv 94-II-1-136 | fragmento de paladar con series molariformes completas | "formación" Irene - Montehermosense/Chapadmalalense | Cascada Grande, aguas arriba, Buenos Aires |
| MLP Pv 91-III-1-9 | mandíbula derecha con incisivo y p4-m3 | "formación" Irene, capa 4 - Montehermosense/Chapadmalalense | Cascada Grande, aguas abajo, Buenos Aires |

| | | | |
|--------------------|--|---|--|
| MLP Pv 94-II-1-146 | mandíbulas con ambas series dentarias completas, mandíbula derecha con p4-m3, maxilar derecho con P4-M3, dos incisivos superiores aislados, húmero derecho e izquierdo, fragmento derecho de cintura pélvica, fémur derecho e izquierdo, tibia derecha e izquierda, porción distal de fibula derecha, astrágalo derecho e izquierdo, calcáneo izquierdo, navicular derecho, ectocuneiforme derecho, metatarsales derechos II y III, falanges proximales II y III | "formación" Irene - Montehermosense/Chapadmalalense | Cascada Grande, aguas arriba, Buenos Aires |
| MLP Pv 91-III-1-88 | mandíbulas con ambas series molariformes completas, fragmento de rostro con ambos incisivos, húmero izquierdo, y varias falanges | "formación" Irene, capa 3 - Montehermosense/Chapadmalalense | Cascada Grande, aguas abajo, Buenos Aires |
| MLP Pv 20-1 | mandíbula izq. con p4-m3 | Fm Chapadmalal - n V - Chapadmalalense | Bajada Martinez de Hoz, Buenos Aires |
| MLP Pv 20-2 | fragm. Mandíbula izq. Con p4-m3 | Fm Chapadmalal - n V - Chapadmalalense | Bajada Martinez de Hoz, Buenos Aires |
| MLP Pv 20-3 | cráneo bastante completo con ambas series dentarias | Fm Chapadmalal - n V - Chapadmalalense | Las Palomas, Buenos Aires |
| MLP Pv 20-4 | cráneo completo, atlas y tibia derecha | Fm Chapadmalal - n V - Chapadmalalense | San Eduardo, Buenos Aires |
| MLP Pv 20-5 | fragm. Maxilar con M1-M2 | Fm Chapadmalal - n IV - Chapadmalalense | Las Palomas, Buenos Aires |
| MLP Pv 20-6 | mandíbula derecha con incisivo y p4-m3, vértebra lumbar, escápula izquierda, fragmento de pelvis, humero izquierdo, fragmento distal de tibia izquierda, metatarsal, 3 falanges del pie | Fm Chapadmalal - n VIII - Chapadmalalense | Las Palomas, Buenos Aires |
| MLP Pv 20-9 | fragmento de maxilar izquierdo con P4-M1 | Fm Chapadmalal - n I - Chapadmalalense | Bajada Martinez de Hoz, Buenos Aires |
| MLP Pv 20-12 | mandíbula izquierda con p4-m3 | Fm Chapadmalal - n II - Chapadmalalense | Bajada Martinez de Hoz, Buenos Aires |
| MLP Pv 20-15 | mandíbula izq con p4-m3, vértebra cervical y vértebra torácica | Fm Chapadmalal - n IX - Chapadmalalense | Estafeta, Buenos Aires |
| MLP Pv 20-18 | fragm de cráneo con series dentarias y mandíbula der con p4-m3 | Fm Chapadmalal - n IV - Chapadmalalense | Bajada Martinez de Hoz, Buenos Aires |
| MLP Pv 20-24 | mandíbula derecha incompleta con i y p4-m2 mal preservados | Fm Chapadmalal - n III - Chapadmalalense | Las Vertientes, Buenos Aires |
| MLP Pv 20-25 | fragm de cráneo con P4-M1 izq y P4 der | Fm Chapadmalal - n I - Chapadmalalense | Bajada Martinez de Hoz, Buenos Aires |
| MLP Pv 20-26 | fragmento de mandíbula derecha con p4-m3, fragmento de axis, y fragmentos de tibia y radio | Fm Chapadmalal - n II - Chapadmalalense | Bajada Martinez de Hoz, Buenos Aires |
| UNSGH 408 | fragmento mandibular izquierdo con p4-m2 | Unidad b - Montehermosense | Las Obscuras, Buenos Aires |
| UNSGH 457 | fragmento de paladar con P4-M2 derechos y P4-M3 izquierdos | Unidad b - Montehermosense | Las Obscuras, Buenos Aires |
| MHTL P-240 | rama mandibular derecha con p4-m3 | fauna local Quequén Grande - Montehermosense | Paso Otero, Buenos Aires |
| MLP Pv 87-V-20-21 | fragmento mandibular izquierdo con m3 | fauna local Quequén Grande - Montehermosense | Paso Otero, Buenos Aires |
| MLP Pv 87-V-20-22 | rama mandibular izquierda con p4-m3 | fauna local Quequén Grande - Montehermosense | Paso Otero, Buenos Aires |

| Lagostomus pallidens | | | |
|-----------------------------|--|----------------------------------|--|
| MPCNP 30 (tipo) | Fm Ituzaingó | Paraná | |
| MPCNP 31 | Fm Ituzaingó | Paraná | |
| MLP Pv 97-X-3-2 | Prov. Entre Ríos; "mesopotamiense", Mioceno tardío | | |
| Lagostomus euplasius | | | |
| MACN 6163 (tipo) | cráneo bastante completo con ambas series dentarias completas, y mandíbulas con series dentarias completas | "Piso Chapalmalense" | entre Mar del Plata y Miramar, Buenos Aires |
| MLP Pv 54-X-13-1 | cráneo fragmentario con incisivo izquierdo y ambas series dentarias, fragmento de atlas, fragmento de axis, siete vertebras lumbares, una vértebra sacra, seis vertebras caudales, húmero izquierdo, metacarpal IV izquierdo, pelvis derecha e izquierda, fémur derecho e izquierdo, tibia derecha e izquierda, fragmento de fibula derecha, astrágalo derecho, calcáneo derecho, navicular derecho, falange proximal derecha del dedo III, incisivo superior, P4 y M3 derechos aislados | "Piso Chapalmalense" | entre Mar del Plata y Miramar, Buenos Aires |
| MACN 5986 | | "Piso Chapalmalense" | entre Mar del Plata y Miramar, Buenos Aires |
| MLP Pv 52-IX-28-62 | maxilares con P4-M3 izquierdos y P4-M2 derechos y fragmento de premaxilar izquierdo | Fm Chapadmalal - Chapadmalalense | entre Las Brusquitas y Vuelta Mala, Buenos Aires |
| MLP Pv 52-IX-29-74 | dos incisivos inferiores derechos, dos bulas timpánicas derechas, dos vértebras lumbares, fragmento de escápula derecha, humero izquierdo, fragmento distal de húmero izquierdo, tres fémures derechos e izquierdos incompletos, tibia izquierda, astrágalo derecho, calcáneo derecho, tarsales II y III derechos, tarsal II izquierdo | Fm Chapadmalal - Chapadmalalense | entre Las Brusquitas y Punta Vorohué, Buenos Aires |
| MLP Pv 52-X-1-13 | paladar con P4-M3 izquierdos y P4-M1, M3 derechos, fragmento de premaxilar derecho con incisivo, fragmentos de la porción posterior del cráneo | Fm Chapadmalal - Chapadmalalense | entre Las Brusquitas y Punta Vorohué, Buenos Aires |
| MLP Pv 52-X-4-21 | parte anterior del cráneo con ambos incisivos, P4-M3 derechos y P4-m2 izquierdos, mandíbula derecha con i y p4-m3, vértebras sacras, tibia izquierda, astrágalo izquierdo, calcáneo izquierdo, tarsales izquierdos II, III y IV, dedo III posterior completo | Fm Chapadmalal - Chapadmalalense | entre Las Brusquitas y Vuelta Mala, Buenos Aires |
| MLP Pv 52-XI-5-8 | mandíbula izquierda con incisivo y p4-m3, fémur derecho y tibia derecha de distintos individuos | Fm Chapadmalal - Chapadmalalense | Miramar, Buenos Aires |

| | | | |
|---------------------|--|--|---|
| MLP Pv 91-IV-5-334 | fragmento anterior del cráneo con incisivos y ambas series dentarias, atlas, axis y 7 vértebras cervicales | Fm Chapadmalal – n IX a X - Chapadmalalense | Las Brusquitas, Buenos Aires |
| MLP Pv 91-IV-5-350 | maxilar derecho con P4-M3 | Fm Chapadmalal – n IX a X - Chapadmalalense | Las Brusquitas, Buenos Aires |
| MLP Pv 20-7 | rostro con ambos incisivos, P4-M1 derechos, P4-M3 izquierdos, fragmento occipital del techo craneano y bula timpánica derecha | Fm Chapadmalal – n II - Chapadmalalense | Los Acantilados, Buenos Aires |
| MLP Pv 20-10 | fragmento de paladar con P4-M2 derechos e izquierdos | Fm Chapadmalal – n XI - Chapadmalalense | Barrana de Los Lobos, Buenos Aires |
| MLP Pv 20-11 | fragmento de maxilar derecho con P4-M1, fragmento de mandíbula derecha con incisivo y p4, fragmento de mandíbula izquierda con p4-m3, fragmento acetabular de pelvis | Fm Chapadmalal – n IX - Chapadmalalense | San Eduardo, Buenos Aires |
| MLP Pv 20-20 | fragmento de techo craneano, tibia izquierda incompleta, humeros derecho e izquierdo incompletos, dientes aislados (asociado a dientes de Ctenomyinae); | Fm Chapadmalal – n II - Chapadmalalense | Barrana de Los Lobos, Buenos Aires |
| MLP Pv 20-21 | porción anterior de cráneo incompleto con ambas series dentarias | Fm Chapadmalal – n IX - Chapadmalalense | Estafeta, Buenos Aires |
| MLP Pv 20-27 | fragmento de mandíbula derecha con p4-m3, fragmento posterior de cráneo, ulna, radio, porción distal de fémur izquierdo, tibia izquierda, gran parte del pie izquierdo articulado, tarso aislado etcétera; | Fm Chapadmalal – n II - Chapadmalalense | Playa Serena, Buenos Aires |
| MLP Pv 20-28 | fragmento de mandíbula derecha con p4-m2 | Fm Chapadmalal – n VI - | Barrana de Los Lobos, Buenos Aires |
| MLP Pv 84-XII-3-18 | mandíbula deracha con p4-m3 | Fm Vorohué? - Vorohuense? | entre Luna Roja y Siempre Verde, Buenos Aires |
| MLP Pv 99-X-2-2 | mandíbula derecha con i y p4-m3 | Fm Vorohué? - Vorohuense? | entre Luna Roja y Siempre Verde, Buenos Aires |
| MLP Pv 20-13 | mandíbula izquierda con p4-m3 | Fm Vorohué? - Vorohuense? | Luna Roja, Buenos Aires |
| MLP Pv 20-17-23 | cráneo, mandíbulas y poscráneo de varios individuos | Fm Vorohué? - Vorohuense? | Luna Roja, Buenos Aires |
| MLP Pv 52-X-5-54/63 | dos fragmentos de maxilar izquierdo con P4-M1, cuatro fragmentos de fémur (dos derechos y dos izquierdos), dos fragmentos de tibia izquierda, fragmento de húmero izquierdo y derecho | Fm Monte Hermoso - Montehermosense | Monte Hermoso, Buenos Aires |
| MLP Pv 52-X-3-12 | paladar con P4-M3 derecho e izquierdo, maxilar derecho con P4-M3, maxilar izquierdo con P4-M2, dieciocho molariformes superiores aislados, tres l aislados, tres bulas timpánicas derechas, una bula timpánica izquierda, fragmentos de cráneo | Fm Irene? - Montehermosense/Chapadmalalense | Quequén Salado, Buenos Aires |
| MLP Pv 60-X-4-38 | cráneo incompleto con ambos I y P4-M3 derecho e izquierdo, tres vértebras lumbares, vértebras sacras y pelvis, fragmentos de fémur y tibia, astrágalo, calcáneo, fragmentos de metapodio, falanges | Fm Irene (chocolate) - Montehermosense/Chapadmalalense | Quequén Salado-Oriente, Buenos Aires |

| <i>Lagostomus compressidens</i> | | | |
|--|---|--|---|
| MLP Pv 54-X-13-2 (tipo) | cráneo incompleto con incisivo derecho y ambas series dentarias completas, y mandíbula izquierda con incisivo y serie dentaria completa | "Piso Chapalmalense" | entre Mar del Plata y Miramar, Buenos Aires |
| MLP Pv 54-X-13-4 | paladar con ambas series dentarias completas | "Piso Chapalmalense" | entre Mar del Plata y Miramar, Buenos Aires |
| MLP Pv 90-VI-1-1 | mandíbula derecha con incisivo y p4-m3 | Fm Chapadmalal - Chapadmalalense | Las Vertientes, Buenos Aires |
| <i>Lagostomus debilis</i> | | | |
| MACN A 1255 (tipo) | mandíbula derecha con incisivo y p4-m2 | "Belgranense" | Buenos Aires |
| MACN A 1098 | mandíbula izquierda con p4-m3 | Ensenadense | Buenos Aires |
| MACN A 1187 | mandíbula izquierda con incisivo y p4-m3 | Bonaerense | Córdoba |
| MACN A 1188 | mandíbula derecha con incisivo y p4-m3 | Bonaerense | Córdoba |
| MLP Pv 91-IV-35-2 | cráneo incompleto con P4-M2 derechos e izquierdos, y mandíbula derecha con incisivo y p4-m3 | Pleistoceno | Mar Chiquita, Buenos Aires |
| MLP Pv 00-IX-6-1 | fragmento anterior de cráneo con ambos I y P4-M3 derecho e izquierdo | Ensenadense | Arrecifes, Buenos Aires |
| <i>Lagostomus cavifrons</i> | | | |
| MLP Pv 52-IX-30-36 | cráneo incompleto con P4-M3 derechos | prebonaerense | La Salada, río Carcarañá, Santa Fe |
| MLP Pv 52-X-2-18 | fragmento de paladar con P4-M2 derechos y P4-M1 izquierdos, mandíbula derecha con p4-m3, P4-M3 derechos, tres molares superiores aislados, bulla timpánica y mastoideo derechos, vértebra cervical, escápula dos húmeros izquierdos, tres húmeros derechos, dos ulnas izquierdas y dos derechos, cuatro fragmentos de radio, metacarpales III, IV y V, fémur izquierdo y derecho, patela, tibia izquierda y derecha, dos calcáneos izquierdos y tres derechos, astrágalo izquierdo y derecho, elementos tarsales distales, tres metatarsales III, dos metatarsales IV, falanges del acropodio posterior | "Belgranense" (Bonaerense-Pleistoceno) | Punta Hermengo, Miramar, Buenos Aires |
| MLP 52-X-5-9 | cráneo bastante completo con ambos incisivos, P4-M3 derechos, P4-M2 izquierdos, porción sínfisaria de ambas mandíbulas con ambos incisivos rotos, p4-m1 derechos, p4-m2 izquierdos, atlas, axis, y fémur izquierdo | Ensenadense inferior | Las Rocas, Miramar, Buenos Aires |

| | | | |
|--|--|--|---|
| MLP Pv 91-IV-30-17 | fragmento posterior de cráneo, fragmento sínfisario mandibular, fragmentos de mandíbulas izquierda y derecha con p4-m3, fragmentos de incisivos inferiores, fragmentos de húmero, ulna y radio | Nivel B - Pleistoceno (Ensenadense) | Punta Hermengo, Miramar, Buenos Aires |
| MLP Pv 96-VIII-4-9 | paladar con P4-M3 derecho e izquierdo | C1 - Ensenadense a Bonaerense | Centinela del Mar, Buenos Aires |
| MLP Pv 20-16 | fragmento de paladar con P4-M3 izquierdos, porción occipital del cráneo y vértebra | Ensenadense a Bonaerense | Centinela del Mar, Buenos Aires |
| Lagostomus maximus | | | |
| MACN 2373 (tipo de <i>L. angustidens</i>) | mandíbula izquierda con incisivo y serie dentaria completa | | Buenos Aires |
| MLP Pv 15-235 | cráneo incompleto con P4-M3 derechos e izquierdos | "Postpampeano" (Platense) | Buenos Aires |
| MLP Pv 15-237 | cráneo incompleto con ambos incisivos y series molariformes | "Postpampeano" (Platense) | Buenos Aires |
| MLP Pv 15-139 | cráneo completo con incisivo izquierdo y ambas series dentarias completas | "Postpampeano" (Platense) | Buenos Aires |
| MLP Pv 15-240 | cráneo bastante completo con ambos incisivos, P4 derecho y P4-M1 izquierdos | "Postpampeano" (Platense) | Buenos Aires |
| MLP Pv 158 | cráneo incompleto con M1-M3 derechos, P4-M3 izquierdos, mandíbula derecha, esqueleto incompleto | Lujanense? | Santa Clara?, Buenos Aires |
| MLP Pv 29 | fragmento de cráneo con ambos I, P4-M2 der, mandíbulas con ambos i y p4-m3, axis, 6 vértebras cervicales, 6 vértebras torácicas, tre vértebras lumbaras, 13 fragmentos de costillas, escápula izquierda, dos húmeros derechos, ulna derecha, fémur derecho, calcáneo, metatarsal III y II?derechos | Fm Arroyo Seco - Holoceno | entre San Eduardo y Marquesado, Buenos Aires |
| MLP Pv 80-VIII-13-58 | dos mandíbulas derechos, dos mandíbulas izquierdas | Mb Guerrero, Fm Luján - Lujanense | Paso Otero, Buenos Aires |
| MLP Pv 81-VIII-20-1 | p4-m3 izquierdos, incisivo | Sector G (Tonni y Fidalgo, 1982) - Lujanense | Punta Hermengo, Miramar, Buenos Aires |
| MLP Pv 86-VI-23-32 | paladar con P4-M2 derecho e izquierdo | Nivel 6, eólico - Lujanense | Centinela del Mar, Buenos Aires |
| MLP Pv 96-XII-1-5 | cráneo parcial con P4-M1 derechos y ambos incisivos | Platense | Río Tercero, Bell Ville, Córdoba |
| MLP Pv 96-XII-1-29 | paladar con P4-M3 izquierdos y M1-M3 derechos | Fm Luján - Lujanense | Paso del Médano, río Quequén Salado, Buenos Aires |
| MLP Pv s/n | esqueleto parcialmente completo | | Camet Norte, Buenos Aires |

Tabla 2.2. Material actual de *Lagostomus maximus* utilizado en este trabajo.

| NUMERO | SEXO | LOCALIDAD | NUMERO | SEXO | LOCALIDAD | NUMERO | SEXO | LOCALIDAD |
|-------------|--------|------------------------|----------------|-------|------------|-------------|-------|------------------------------|
| MACN 48.107 | hembra | Entre Ríos | MACN 48.91 | macho | Entre Ríos | MACN 54.147 | macho | Bs As, Juarez |
| MACN 48.86 | hembra | Entre Ríos | MACN 48.92 | macho | Entre Ríos | MACN 54.150 | macho | Bs As, Juarez |
| MACN 48.87 | hembra | Entre Ríos | MACN 48.117 | macho | Entre Ríos | MACN 54.151 | macho | Bs As, Juarez |
| MACN 49.16 | hembra | Entre Ríos | MACN 48.114 | macho | Entre Ríos | MACN 54.146 | macho | Bs As, Juarez |
| MACN 48.277 | hembra | Entre Ríos | MACN 48.275 | macho | Entre Ríos | MACN 54.153 | macho | Bs As, Juarez |
| MACN 49.12 | hembra | Entre Ríos | MACN 49.8 | macho | Entre Ríos | MLP Mz 1651 | macho | Catamarca, Sinquillin |
| MACN 49.17 | hembra | Entre Ríos | MACN 48.276 | macho | Entre Ríos | MLP Mz 1602 | macho | Bs As, Gral Belgrano |
| MACN 49.44 | hembra | Entre Ríos | MACN 49.13 | macho | Entre Ríos | MLP Mz 1604 | macho | Bs As, Gral Belgrano |
| MACN 49.46 | hembra | Entre Ríos | MACN 49.4 | macho | Entre Ríos | MLP Mz 1605 | macho | Bs As, Gral Belgrano |
| MACN 48.100 | hembra | Entre Ríos | MACN 49.276 | macho | Entre Ríos | MLP Mz 1601 | macho | Bs As, Gral Belgrano |
| MACN 48.105 | hembra | Entre Ríos | MACN 49.278 | macho | Entre Ríos | MLP Mz 1729 | macho | Mendoza, La Paz, Arroyito |
| MACN 48.108 | hembra | Entre Ríos | MACN 48.279 | macho | Entre Ríos | MLP Mz 1654 | macho | Bs As, Patagones |
| MACN 48.101 | hembra | Entre Ríos | MACN 48.281 | macho | Entre Ríos | MACN 39.58 | ? | Córdoba |
| MACN 48.113 | hembra | Entre Ríos | MACN 49.6 | macho | Entre Ríos | MACN 39.67 | ? | Córdoba, Pocho |
| MACN 49.238 | hembra | Entre Ríos | MACN 49.5 | macho | Entre Ríos | MACN 39.56 | ? | Córdoba |
| MACN 49.285 | hembra | Entre Ríos | MACN 48.112 | macho | Entre Ríos | MACN 39.35 | ? | Córdoba, Pocho |
| MACN 49.286 | hembra | Entre Ríos | MACN 48.103 | macho | Entre Ríos | MACN 39.149 | ? | Bs As, San Cayetano |
| MACN 49.269 | hembra | Entre Ríos | MACN 49.284 | macho | Entre Ríos | MACN 39.27 | ? | Córdoba |
| MACN 49.281 | hembra | Entre Ríos | MACN 49.272 | macho | Entre Ríos | MACN 39.42 | ? | Córdoba |
| MACN 49.288 | hembra | Entre Ríos | MACN 49.231 | macho | Entre Ríos | MACN 39.57 | ? | Córdoba |
| MACN 49.270 | hembra | Entre Ríos | MACN 49.273 | macho | Entre Ríos | MACN 3.7 | ? | Buenos Aires |
| MACN 49.275 | hembra | Entre Ríos | MACN 49.280 | macho | Entre Ríos | MACN 39.50 | ? | Córdoba |
| MACN 49.268 | hembra | Entre Ríos | MACN 50.26 | macho | Entre Ríos | MACN 39.78 | ? | Córdoba |
| MACN 49.282 | hembra | Entre Ríos | MACN 50.25 | macho | Entre Ríos | MACN 39.21 | ? | Córdoba, Pocho |
| MACN 49.271 | hembra | Entre Ríos | MACN 50.11 | macho | Entre Ríos | MACN 39.12 | ? | Córdoba |
| MACN 49.287 | hembra | Entre Ríos | MACN 50.19 | macho | Entre Ríos | MACN 21.5 | ? | Buenos Aires |
| MACN 50.9 | hembra | Entre Ríos | MACN 50.22 | macho | Entre Ríos | MACN 34-720 | ? | La Pampa |
| MACN 50.8 | hembra | Entre Ríos | MACN 49.290 | macho | Entre Ríos | MACN 39.25 | ? | Córdoba |
| MACN 50.24 | hembra | Entre Ríos | MACN 50.21 | macho | Entre Ríos | MACN 39.86 | ? | Córdoba |
| MACN 50.14 | hembra | Entre Ríos | MACN 50.16 | macho | Entre Ríos | MACN 39.61 | ? | Córdoba |
| MACN 49.289 | hembra | Entre Ríos | MACN 49.292 | macho | Entre Ríos | MACN 39.64 | ? | Córdoba |
| MACN 39.96 | hembra | Córdoba | MACN 48.272 | macho | Entre Ríos | MACN 5.46 | ? | Bs As, La Plata |
| MLP Mz 1659 | hembra | Entre Ríos, Salto | MACN 50.17 | macho | Entre Ríos | MACN 5.45 | ? | Bs As, La Plata |
| MLP Mz 1657 | hembra | Entre Ríos, Salto | MACN 50.18 | macho | Entre Ríos | MACN 39.49 | ? | Córdoba |
| MLP Mz 565 | hembra | San Luis, A Pencoso | MACN 50.20 | macho | Entre Ríos | MACN 39.53 | ? | Córdoba |

| | | | | | | | | |
|-------------------|--------|----------------------------|-------------|-------|---------------------|--------------------|---|------------------------------|
| MLP Mz 1603 | hembra | Bs As, Gral Belgrano | MACN 49.291 | macho | Entre Ríos | MACN 39.17 | ? | Córdoba |
| MLP Mz 1642 | hembra | San Luis | MACN 50.13 | macho | Entre Ríos | MACN 39.62 | ? | Córdoba |
| MLP Mz 1728 | hembra | Mendoza, La Paz, Arroyito | MACN 50.12 | macho | Entre Ríos | MACN 39.68 | ? | Córdoba |
| MLP Mz 1634 | hembra | Córdoba, El Quebracho | MACN 50.15 | macho | Entre Ríos | MACN 39.32 | ? | Córdoba |
| MLP Mz 19-IX-47-4 | hembra | Bs As, San Nicolás | MACN 50.10 | macho | Entre Ríos | MACN 39.43 | ? | Córdoba |
| MLP Mz 1637 | hembra | Córdoba, Amboy | MACN 36.145 | macho | Bs As, Sn Cayetano | MACN 39.80 | ? | Córdoba |
| MLP Mz 1607 | hembra | Bs As, Gral Belgrano | MACN 49.226 | macho | Entre Ríos | MLP Mz 720 | ? | Santa Fe, Santo Tome |
| MLP MZ 1650 | hembra | Catamarca, Sinquillin | MACN 59.6 | macho | Entre Ríos | MLP Mz 05-IX-97-01 | ? | Río Negro, San Antonio Oeste |
| MLP Mz 25-X-95-2 | hembra | La Pampa, Jagual del Monte | MACN 48.271 | macho | Entre Ríos | | | |
| MLP Mz 19-IX-47-3 | hembra | Bs As, San Nicolás | MACN 48.85 | macho | Entre Ríos | | | |
| MLP Mz 1649 | hembra | Catamarca, Sinquillin | MACN 36.144 | macho | Bs As, San Cayetano | | | |

Capítulo III – variación en *Lagostomus maximus*

Tabla 3.1. Variación en tamaño entre sexos en distintas especies de roedores caviomorfos.

| | h:m | variable | referencia |
|----------------------------------|------------|-----------------|--------------------------|
| Erethizontidae | | | |
| <i>Erethizon dorsatum</i> | 0,84 | peso | Schulte-Hostede 2007 |
| | 0,91 | longitud | Schulte-Hostede 2007 |
| <i>Coendou prehensilis</i> | 1,08 | peso | Redford y Eisenberg 1992 |
| Ctenomyidae | | | |
| <i>Ctenomys talarum</i> | 0,76 | peso | Schulte-Hostede 2007 |
| | 0,95 | longitud | Schulte-Hostede 2007 |
| <i>Ctenomys mendocinum</i> | 0,8 | peso | Rosi et al 2005 |
| | 0,94 | longitud | Rosi et al 2005 |
| <i>Ctenomys colburni</i> | 0,95 | longitud | Redford y Eisenberg 1992 |
| <i>Ctenomys opimus</i> | 0,65 | peso | Redford y Eisenberg 1992 |
| | 0,91 | longitud | Redford y Eisenberg 1992 |
| <i>Ctenomys sericeus</i> | 1,05 | longitud | Redford y Eisenberg 1992 |
| <i>Ctenomys torquatus</i> | 0,83 | peso | Redford y Eisenberg 1992 |
| | 0,98 | longitud | Redford y Eisenberg 1992 |
| <i>Ctenomys validus</i> | 0,75 | peso | Redford y Eisenberg 1992 |
| Octodontidae | | | |
| <i>Spalacopus cyanus</i> | 0,81 | peso | Schulte-Hostede 2007 |
| <i>Tympanoctomys barrerae</i> | 0,97 | peso | Diaz et al 2000 |
| Echimyidae | | | |
| <i>Myocastor coypus</i> | 0,95 | peso | Schulte-Hostede 2007 |
| Caviidae | | | |
| <i>Microcavia australis</i> | 0,94 | longitud | Tognelli et al 2001 |
| <i>Dolichotis patagonum</i> | 1,08 | peso | Campos et al 2001 |
| Hydrochoeridae | | | |
| <i>Hydrochoerus hydrochaeris</i> | 0,93 | peso | Redford y Eisenberg 1992 |
| Chinchillidae | | | |
| <i>Chinchilla laniger</i> | 1,02 | peso | Spotorno et al 2004 |
| <i>Lagostomus maximus</i> | 0,63 | peso | Schulte-Hostede 2007 |
| | 0,85 | longitud | Schulte-Hostede 2007 |

Tabla 3.2. Análisis bivariado de alometría en la ontogenia de hembras de *Lagostomus maximus* (N=33). **R²**, coeficiente de correlación (valores bajos en negrita); **F**, test-F para regresión; **log(b₀)**, ordenada o intercepto; **t**, test-t de Student para el coeficiente de la ordenada; **P_{b0}**, valor de P para b₀=0; **b1**, pendiente; **F_{iso}**, VER; **P_{b1}**, valor de P para b₁=1.

| Variable | Regresión | | Ordenada | | | Pendiente | | | |
|----------|----------------|----------------------|----------------------|--------------------|-------------|-----------|-------------------------|-------------|-----------|
| | R ² | F _(1,n-2) | log(b ₀) | t _(n-2) | p-tOrd=0 | b1 | F _{iso(1,n-2)} | p | tendencia |
| LN | 0,949 | 579,266 | -0,453 | -5,328 | 8,37764E-06 | 1,446 | 86,957 | 1,65483E-10 | + |
| AZ | 0,984 | 1869,549 | 0,284 | 8,17 | 3,15401E-09 | 1,041 | 3,099 | 0,088 | iso |
| ACC | 0,754 | 94,905 | 0,913 | 16,653 | 5,14101E-17 | 0,423 | 118,368 | 4,12093E-12 | - |
| HR | 0,974 | 1141,497 | -0,035 | -0,863 | 0,394 | 0,962 | 1,728 | 0,198 | iso |
| LO | 0,917 | 343,454 | -0,472 | -5,194 | 1,23172E-05 | 1,21 | 13,768 | 0,0008 | + |
| LZ | 0,985 | 2095,053 | 0,075 | 2,119 | 0,042 | 1,12 | 27,246 | 0,00001 | + |
| HO | 0,889 | 248,976 | 0,615 | 12,284 | 1,90413E-13 | 0,577 | 93,742 | 6,89E-11 | - |
| LDS | 0,979 | 1456,613 | -0,258 | -5,719 | 2,73241E-06 | 1,196 | 48,262 | 8,56936E-08 | + |
| LMS | 0,969 | 981,777 | -0,724 | -11,11 | 2,44619E-12 | 1,427 | 133,833 | 8,84848E-13 | + |
| AAP | 0,019 | 0,615 | -0,683 | -3,012 | 0,005 | 0,877 | 0,547 | 0,465 | iso |
| APP | 0,919 | 353,054 | -0,209 | -2,674 | 0,012 | 1,052 | 1,001 | 0,325 | iso |
| LB | 0,888 | 245,625 | 0,326 | 4,437 | 0,0001 | 0,841 | 8,36 | 0,007 | - |
| LT | 0,985 | 1995,823 | 0,372 | 10,501 | 9,85246E-12 | 1,099 | 18,003 | 0,0002 | + |
| LDI | 0,951 | 596,067 | -0,323 | -5,056 | 0,00002 | 1,101 | 5,848 | 0,022 | + |
| LMM | 0,939 | 482,837 | -0,277 | -3,856 | 0,0005 | 1,119 | 6,546 | 0,016 | + |
| HM | 0,971 | 1038,866 | -0,223 | -5,008 | 2,09761E-05 | 1,002 | 0,003 | 0,957 | iso |
| HC | 0,968 | 929,114 | -0,396 | -6,523 | 2,79448E-07 | 1,294 | 65,163 | 4,08E-09 | + |
| LM | 0,986 | 2207,571 | 0,24 | 7,063 | 6,21298E-08 | 1,107 | 23,404 | 0,00003 | + |
| LMI | 0,962 | 795,013 | -0,556 | -8,249 | 2,56129E-09 | 1,332 | 69,709 | 1,97474E-09 | + |

Tabla 3.3. Análisis bivariado de alometría en la ontogenia de machos de *Lagostomus maximus* (N=45). **R²**, coeficiente de determinación ajustado (valores bajos en negrita); **F**, test-F para regresión; **log(b₀)**, ordenada o intercepto; **t**, test-t de Student para el coeficiente de la ordenada; **P_{b0}**, valor de P para b₀=0; **b1**, pendiente; **F_{iso}**, VER; **P_{b1}**, valor de P para b₁=1.

| Variable | Regresión | | Ordenada | | | Pendiente | | | |
|----------|----------------|----------------------|----------------------|--------------------|----------|-----------|-------------------------|----------|-----------|
| | R ² | F _(1,n-2) | log(b ₀) | t _(n-2) | p-tOrd=0 | b1 | F _{iso(1,n-2)} | p | Tendencia |
| LN | 0,992 | 5303,357 | -0,307 | -11,237 | 2,23E-14 | 1,343 | 479,366 | 0 | + |
| AZ | 0,996 | 9949,245 | 0,301 | 19,697 | 3,83E-23 | 1,029 | 7,985 | 0,007 | + |
| ACC | 0,806 | 178,812 | 1,050 | 32,335 | 8,29E-32 | 0,326 | 417,554 | 0 | - |
| HR | 0,985 | 2765,979 | -0,126 | -4,367 | 7,79E-05 | 1,027 | 1,961 | 0,169 | iso |
| LO | 0,960 | 1037,112 | -0,063 | -1,526 | 0,134 | 0,915 | 8,568 | 0,005 | - |
| LZ | 0,996 | 11689,546 | 0,126 | 8,526 | 8,63E-11 | 1,079 | 68,386 | 1,97E-10 | + |
| HO | 0,974 | 1641,052 | 0,365 | 13,308 | 7,59E-17 | 0,759 | 131,691 | 1,13E-14 | - |
| LDS | 0,993 | 5972,556 | -0,328 | -13,763 | 2,34E-17 | 1,245 | 293,050 | 0 | + |
| LMS | 0,969 | 1350,270 | -0,395 | -8,394 | 1,32E-10 | 1,182 | 39,415 | 1,44E-07 | + |
| AAP | 0,620 | 70,248 | -0,390 | -3,965 | 0,0003 | 0,704 | 14,548 | 0,0004 | - |
| APP | 0,980 | 2055,113 | -0,055 | -1,795 | 0,079 | 0,945 | 6,794 | 0,013 | - |
| LB | 0,972 | 1503,363 | 0,272 | 8,062 | 3,88E-10 | 0,892 | 20,152 | 5,29E-05 | - |
| LT | 0,995 | 7993,807 | 0,444 | 25,500 | 1,37E-27 | 1,052 | 20,500 | 4,67E-05 | + |
| LDI | 0,980 | 2094,719 | -0,353 | -9,752 | 1,84E-12 | 1,128 | 31,222 | 1,45E-06 | + |
| LMM | 0,986 | 2980,834 | -0,348 | -11,052 | 3,80E-14 | 1,167 | 72,644 | 8,72E-11 | + |
| HM | 0,988 | 3418,882 | -0,322 | -12,005 | 2,54E-15 | 1,062 | 12,627 | 0,001 | + |
| HC | 0,987 | 3179,327 | -0,372 | -11,149 | 2,87E-14 | 1,277 | 196,203 | 0 | + |
| LM | 0,993 | 6292,419 | 0,235 | 11,363 | 1,55E-14 | 1,109 | 68,226 | 2,04E-10 | + |
| LMI | 0,971 | 1424,617 | -0,226 | -5,351 | 3,19E-06 | 1,091 | 11,170 | 0,002 | + |

Tabla 3.4. Test para pendiente común, ordenada común y variación en hembras (n=33) y machos (n=45) de *Lagostomus maximus*. **Lr(df=1)**, likelihood ratio test; **p-Lr**, valor de *p* para el parámetro Lr; **b1 común**, pendiente común del RMA; **W(log b0)**, estadístico *Wald* para el intercepto; **p-W**, valor de *p* para W(log b0); **Ord com (log b0)**, intercepto común del RMA; **W-shift**, estadístico *Wald* para la variación; **p-W-shift**, valor de *p* para W-shift. En negrita se señalan las variables con diferente pendiente entre sexos.

| variable | pendiente común | | | | ordenada común | | | Variación | |
|------------|-----------------|--------------------|--------------------------|-----------|----------------|----------|------------------|-----------|-----------|
| | Lr (df=1) | p-Lr | b1 común | tendencia | W (log bo) | p-W | Ord com (log bo) | W -shift | p-W-shift |
| LN | 2,838 | 0,092 | 1,353 | + | 0,729 | 0,393 | -0,317 | 2,248 | 0,134 |
| AZ | 0,229 | 0,632 | 1,031 | + | 0,264 | 0,608 | 0,300 | 2,389 | 0,122 |
| ACC | 5,234 | 0,022 | hembra > macho | | | | | | |
| HR | 3,319 | 0,068 | 1,008 | iso | 2,087 | 0,149 | -0,106 | 2,788 | 0,095 |
| LO | 17,815 | 2,43512E-05 | hembra > macho | | | | | | |
| LZ | 2,32 | 0,128 | 1,085 | + | 19,659 | 9,26E-06 | hembra > macho | | |
| HO | 14,831 | 0,0001 | macho > hembra | | | | | | |
| LDS | 1,824 | 0,177 | 1,235 | + | 0,065 | 0,799 | -0,315 | 2,511 | 0,113 |
| LMS | 17,84 | 2,40243E-05 | hembra > macho | | | | | | |
| AAP | 1,172 | 0,279 | 0,739 | - | 10,775 | 0,001 | macho > hembra | | |
| APP | 3,571 | 0,059 | 0,960 | iso | 0,717 | 0,397 | -0,072 | 2,186 | 0,139 |
| LB | 0,799 | 0,371 | 0,884 | - | 30,041 | 4,23E-08 | macho > hembra | | |
| LT | 2,937 | 0,087 | 1,061 | + | 3,639 | 0,056 | 0,424 | 2,740 | 0,098 |
| LDI | 0,277 | 0,598 | 1,122 | + | 6,780 | 0,009 | macho > hembra | | |
| LMM | 0,747 | 0,387 | 1,160 | + | 0,357 | 0,550 | -0,334 | 2,331 | 0,127 |
| HM | 2,7 | 0,100 | 1,048 | + | 16,980 | 3,78E-05 | hembra > macho | | |
| HC | 0,129 | 0,719 | 1,281 | + | 0,213 | 0,644 | -0,375 | 2,369 | 0,124 |
| LM | 0,004 | 0,951 | 1,109 | + | 1,986 | 0,159 | 0,242 | 2,258 | 0,133 |
| LMI | 17,728 | 2,54848E-05 | hembra > macho | | | | | | |

Tabla 3.5. Resultados por sexo del análisis multivariado de alometría del cráneo en *Lagostomus maximus*. CA, coeficiente de alometría. Valor de isometría = 0,229.

| variable | sexo | CA observado | Desviación observada | no recortado | | | | recortado | | | |
|----------|--------|--------------|----------------------|-----------------|--------------|-------------------------------|----------------|-----------------|--------------|-------------------------------|----------------|
| | | | | CA remuestreado | Sesgo (bias) | intervalo de %99 de confianza | tend. de crec. | CA remuestreado | Sesgo (bias) | intervalo de %99 de confianza | tend. de crec. |
| LN | hembra | 0,309 | 0,08 | 0,306 | 0,002 | 0,267-0,345 | + | 0,305 | 0,002 | 0,276-0,334 | + |
| | macho | 0,298 | 0,069 | 0,295 | 0,001 | 0,276-0,314 | + | 0,305 | -0,003 | 0,296-0,314 | + |
| AZ | hembra | 0,225 | -0,004 | 0,225 | -0,0003 | 0,219-0,232 | = | 0,226 | -0,0005 | 0,219-0,232 | = |
| | macho | 0,229 | 0 | 0,228 | 0,0003 | 0,220-0,236 | = | 0,229 | -0,0003 | 0,224-0,234 | = |
| ACC | hembra | 0,079 | -0,15 | 0,081 | -0,0008 | 0,067-0,099 | - | 0,078 | 0,001 | 0,066-0,091 | - |
| | macho | 0,065 | -0,164 | 0,066 | -0,0003 | 0,054-0,077 | - | 0,066 | -0,0004 | 0,057-0,075 | - |
| HR | hembra | 0,207 | -0,022 | 0,207 | 0,0004 | 0,185-0,228 | - | 0,204 | 0,002 | 0,191-0,216 | - |
| | macho | 0,227 | -0,002 | 0,222 | 0,002 | 0,194-0,250 | = | 0,239 | -0,006 | 0,232-0,247 | + |
| LO | hembra | 0,252 | 0,023 | 0,259 | -0,003 | 0,195-0,322 | = | 0,223 | 0,014 | 0,201-0,246 | = |
| | macho | 0,199 | -0,03 | 0,206 | -0,003 | 0,171-0,241 | = | 0,189 | 0,005 | 0,177-0,201 | - |
| LZ | hembra | 0,243 | 0,014 | 0,242 | 0,0003 | 0,224-0,259 | = | 0,241 | 0,001 | 0,229-0,252 | + |
| | macho | 0,24 | 0,011 | 0,242 | -0,001 | 0,232-0,252 | + | 0,237 | 0,001 | 0,233-0,242 | + |
| HO | hembra | 0,118 | -0,111 | 0,116 | 0,001 | 0,094-0,138 | - | 0,119 | -0,001 | 0,109-0,130 | - |
| | macho | 0,167 | -0,062 | 0,167 | 0,0001 | 0,155-0,179 | - | 0,168 | -0,0005 | 0,161-0,175 | - |
| LDS | hembra | 0,258 | 0,029 | 0,258 | 0,0002 | 0,229-0,286 | + | 0,258 | 0,0002 | 0,241-0,274 | + |
| | macho | 0,276 | 0,047 | 0,273 | 0,001 | 0,254-0,293 | + | 0,284 | -0,004 | 0,276-0,291 | + |
| LMS | hembra | 0,307 | 0,078 | 0,309 | -0,001 | 0,289-0,331 | + | 0,311 | -0,002 | 0,295-0,327 | + |
| | macho | 0,259 | 0,03 | 0,271 | -0,006 | 0,214-0,328 | = | 0,235 | 0,012 | 0,226-0,244 | = |
| AAP | hembra | 0,018 | -0,211 | 0,025 | -0,004 | -0,051 - 0,102 | - | 0,007 | 0,006 | -0,055 - 0,068 | - |
| | macho | 0,122 | -0,107 | 0,122 | -0,00005 | 0,09-0,155 | - | 0,125 | -0,001 | 0,097-0,152 | - |
| APP | hembra | 0,219 | -0,01 | 0,219 | 0,0004 | 0,192-0,246 | = | 0,214 | 0,003 | 0,194-0,234 | = |
| | macho | 0,208 | -0,021 | 0,214 | -0,003 | 0,183-0,245 | = | 0,194 | 0,007 | 0,186-0,202 | - |
| LB | hembra | 0,173 | -0,056 | 0,169 | 0,001 | 0,152-0,189 | - | 0,173 | -0,000006 | 0,156-0,189 | - |
| | macho | 0,196 | -0,033 | 0,192 | 0,002 | 0,167-0,217 | - | 0,203 | -0,004 | 0,194-0,212 | - |
| LT | hembra | 0,238 | 0,009 | 0,238 | 0,0003 | 0,223-0,253 | = | 0,24 | -0,001 | 0,230-0,249 | + |
| | macho | 0,234 | 0,005 | 0,231 | 0,001 | 0,214-0,248 | = | 0,242 | -0,004 | 0,237-0,246 | + |
| LDI | hembra | 0,233 | 0,004 | 0,233 | 0,0002 | 0,199-0,267 | = | 0,243 | -0,005 | 0,224-0,262 | = |
| | macho | 0,249 | 0,02 | 0,241 | 0,004 | 0,199-0,284 | = | 0,268 | -0,009 | 0,259-0,276 | + |
| LMM | hembra | 0,236 | 0,007 | 0,238 | -0,0008 | 0,213-0,262 | = | 0,237 | -0,001 | 0,219-0,255 | = |
| | macho | 0,258 | 0,029 | 0,257 | 0,0004 | 0,248-0,268 | + | 0,259 | -0,001 | 0,252-0,267 | + |
| HM | hembra | 0,215 | -0,014 | 0,217 | -0,0009 | 0,178-0,255 | = | 0,226 | -0,005 | 0,211-0,241 | = |
| | macho | 0,235 | 0,006 | 0,239 | -0,002 | 0,22-0,259 | = | 0,229 | 0,003 | 0,222-0,237 | = |
| HC | hembra | 0,277 | 0,048 | 0,279 | -0,0008 | 0,242-0,316 | + | 0,279 | -0,001 | 0,258-0,300 | + |
| | macho | 0,283 | 0,054 | 0,283 | -0,0001 | 0,271-0,296 | + | 0,283 | -0,0002 | 0,272-0,295 | + |
| LM | hembra | 0,239 | 0,01 | 0,24 | -0,00008 | 0,222-0,259 | = | 0,242 | -0,001 | 0,229-0,254 | + |
| | macho | 0,246 | 0,017 | 0,245 | 0,0008 | 0,232-0,257 | + | 0,25 | -0,002 | 0,245-0,256 | + |
| LMI | hembra | 0,285 | 0,056 | 0,29 | -0,002 | 0,248-0,333 | + | 0,285 | 0,0002 | 0,262-0,308 | + |
| | macho | 0,239 | 0,01 | 0,248 | -0,004 | 0,208-0,287 | = | 0,224 | 0,008 | 0,216-0,233 | = |

Capítulo IV – Paleontología sistemática

Tabla 4.1. Medidas de los molariformes superiores de Lagostominae de la Argentina.

| Especie | Número | P4 | | M1 | | M2 | | M3 | |
|-------------------------------|----------------------|------|------|------|------|------|------|------|-------|
| | | AP | T | AP | T | AP | T | AP | T |
| <i>Prolagostomus pusillus</i> | MLP Pv 15-136 | 2,29 | 2,53 | 2,67 | 3,03 | 3,29 | 3,33 | 3,23 | 2,78 |
| <i>Prolagostomus pusillus</i> | MLP Pv 15-152 | 3,08 | 3,6 | 3,02 | 4,02 | 2,74 | 3,71 | 4,05 | 3,96 |
| <i>Prolagostomus pusillus</i> | MLP Pv 68-IX-2-1 | 3,74 | 4,71 | 3,34 | 5,02 | 3,25 | 5,33 | | |
| <i>Prolagostomus pusillus</i> | MLP Pv 26-IV-15-6 | 3,8 | 4,9 | 3,38 | 4,98 | 3,24 | 4,88 | 4,72 | 5,09 |
| <i>Prolagostomus pusillus</i> | MLP Pv 15-294 | 3,06 | 3,32 | 2,42 | 3,82 | 2,28 | | | |
| <i>Prolagostomus pusillus</i> | MLP Pv 15-385 | 3,07 | 4,35 | 2,9 | 4,61 | 2,88 | 4,62 | 4,01 | 4,26 |
| <i>Prolagostomus pusillus</i> | MLP 15-110 | 2,55 | 2,78 | 2,24 | 2,98 | 2,13 | 2,96 | | |
| <i>Pr. rosendoi</i> | MLP Pv 76-VIII-30-3 | 2,9 | 3,8 | 2,7 | 4,7 | 2,8 | 4,7 | 4,4 | 4,2 |
| <i>Pliolagostomus notatus</i> | MLP Pv 15-100 | 2,05 | 2,77 | 2,19 | 2,98 | 2,22 | 3,02 | 3,09 | 3,27 |
| <i>Pliolagostomus notatus</i> | MACN Pv 4433 | 2,1 | 2,9 | 2 | 2,7 | 1,9 | 2,8 | 2,7 | 3 |
| <i>Pliolagostomus notatus</i> | MACN A 4438 | 2,44 | 3,14 | 2,22 | 3,29 | 1,73 | 3,17 | 3,94 | 3,36 |
| <i>Pliolagostomus notatus</i> | MACN A s/n | 2,95 | 2,99 | 2,42 | 3,25 | | | | |
| <i>Pliolagostomus notatus</i> | MACN A s/n | 2,8 | 3,34 | | | | | | |
| <i>Pl. friasensis</i> | MLP Pv 74-II-1-36 | 2,8 | 4,25 | 3 | 4,3 | 2,85 | 4,45 | | |
| <i>Pl. friasensis</i> | MLP Pv 76-II-30-5 | 3,75 | 4,55 | 3,45 | 4,55 | 3 | 4,8 | | |
| <i>Lagostomus</i> sp. nov. A | MLP Pv 55-IV-28-43 | 2,73 | 4,17 | 2,58 | 4,6 | 2,54 | 4,56 | 4,37 | 4,39 |
| <i>Lagostomus</i> sp. nov. A | MLP Pv 60-VI-18-100 | 3,15 | 4,46 | 3,07 | 4,76 | 3,04 | 4,68 | 4,26 | 4,93 |
| <i>L. antiquus</i> | MLP Pv 97-X-3-1a | 3,08 | 4,64 | 3,15 | 4,77 | 2,92 | 4,59 | 5,29 | 4,81 |
| <i>L. antiquus</i> | MACN 13436 | 2,92 | 3,98 | 2,32 | 3,74 | 2,31 | 3,52 | 4,76 | 3,84 |
| <i>L. antiquus</i> | MACN A 5883 | 3,69 | 5,8 | | | | | | |
| <i>L. pretrichodactyla</i> | MACN 8340 | 4,47 | 5,92 | 3,96 | 5,79 | 3,79 | 5,88 | 6,18 | 6,24 |
| <i>L. pretrichodactyla</i> | MACN 8338 | 3,51 | 3,75 | 3,37 | 4,9 | 3,02 | 4,6 | | |
| <i>L. pretrichodactyla</i> | MACN 8212 | 3,72 | 5,53 | 3,58 | 5,27 | 3,58 | 5,24 | 4,92 | 5,21 |
| <i>L. pretrichodactyla</i> | MACN 8339 | 4,05 | 5,82 | 3,73 | 6,08 | 3,65 | 5,88 | 6,46 | 6,48 |
| <i>L. pretrichodactyla</i> | MACN 8337 | 4,12 | 5,33 | 3,7 | 4,85 | 3,52 | 4,67 | 5,99 | 5,22 |
| <i>L. pretrichodactyla</i> | MACN 8345 | 3,96 | 5,67 | 3,69 | 5,38 | 3,33 | 5,12 | | 5,34 |
| <i>L. pretrichodactyla</i> | IANIGLA s/n | 3,01 | 4,25 | 2,93 | 4,39 | 2,98 | 4,18 | | |
| <i>L. pretrichodactyla</i> | MLP Pv 65-VII-29-72 | 4,07 | 5,49 | 3,91 | 5,77 | 3,45 | 5,52 | 5,92 | 5,83 |
| <i>L. incisus</i> | MACN Pv 7388 | 4,1 | 8,08 | 4,32 | 8,02 | 3,82 | 8,32 | 6,36 | 9,48 |
| <i>L. incisus</i> | MACN A 1112 | 4,66 | 8,04 | 4,36 | 8,32 | 3,74 | 7,72 | 6,66 | 10,06 |
| <i>L. incisus</i> | MLP Pv 88-VI-1-2 | 3,95 | 7,45 | 3,83 | 6,98 | 3,61 | 7,49 | 6,63 | 8,05 |
| <i>L. incisus</i> | MLP Pv 91-IV-5-258 | 3,72 | 6,75 | 3,60 | 6,77 | 3,51 | 7,37 | 6,20 | 8,07 |
| <i>L. incisus</i> | MLP Pv 20-3 | 4,07 | 7,20 | 4,07 | 7,30 | 3,90 | 7,70 | 7,07 | 8,92 |
| <i>L. incisus</i> | MLP Pv 20-4 | 4,51 | 8,08 | 3,89 | 8,51 | 4,28 | 8,10 | 7,16 | 9,58 |
| <i>L. incisus</i> | MLP Pv 20-9 | 4,14 | 7,66 | 4,22 | 8,58 | | | | |
| <i>L. incisus</i> | MLP Pv 20-18 | 3,70 | 6,46 | 3,10 | 6,48 | 3,36 | 6,55 | 5,84 | 8,15 |
| <i>L. incisus</i> | MLP Pv 48-XII-16-194 | 4,41 | 7,31 | 4,21 | 7,21 | 4,29 | 7,54 | 6,08 | 8,72 |
| <i>L. incisus</i> | MLP Pv 91-III-1-18 | 4,83 | 8,15 | 4,57 | 8,32 | 4,45 | 7,59 | 7,71 | 8,92 |
| <i>L. incisus</i> | MLP Pv 91-III-1-36 | 4,09 | 7,42 | 4,06 | 7,57 | 4,11 | 7,1 | 6,62 | 8,07 |
| <i>L. incisus</i> | MLP Pv 94-II-1-136 | 4,02 | 6,65 | 3,45 | 6,85 | 3,49 | 7,16 | 6,39 | 7,39 |
| <i>L. incisus</i> | MLP Pv 63-VI-10-59 | 4,19 | 7,55 | 4,47 | 7,13 | 4,28 | 7,41 | 6,98 | 8,69 |
| <i>L. eupiasius</i> | MLP Pv 52-X-5-54/63 | 3,87 | 5,68 | 3,41 | 5,75 | | | | |
| <i>L. eupiasius</i> | MACN Pv 6163 | 3,91 | 5,59 | 3,46 | 5,91 | 3,58 | 5,83 | 5,99 | 6,37 |
| <i>L. eupiasius</i> | MLP Pv 54-X-13-1 | 3,65 | 5,46 | 3,16 | 5,50 | 3,13 | 5,28 | 5,46 | 5,39 |
| <i>L. eupiasius</i> | MLP Pv 20-10 | 4,14 | 6,50 | 3,69 | 5,96 | 3,87 | 6,54 | | |
| <i>L. eupiasius</i> | MLP Pv 20-11 | 4,40 | 6,34 | 3,81 | 5,95 | | | | |

L. L. Rasia – Los Chinchillidae fósiles de la República Argentina

| | | | | | | | | | |
|---------------------------|--------------------|------|------|------|------|------|------|-------|-------|
| <i>L. eupIASius</i> | MLP Pv 20-7 | 4,10 | 5,58 | 3,55 | 5,39 | 3,75 | 5,27 | 6,16 | 6,07 |
| <i>L. eupIASius</i> | MLP Pv 20-21 | 3,56 | 5,55 | 3,21 | 5,39 | 2,90 | 5,55 | 5,15 | 5,98 |
| <i>L. eupIASius</i> | MLP Pv 52-X-4-21 | 3,72 | 6,12 | 3,58 | 6,17 | 3,39 | 6,21 | 6,05 | 6,69 |
| <i>L. eupIASius</i> | MLP Pv 91-IV-5-334 | 3,56 | 5,68 | 3,18 | 5,71 | 3,22 | 5,65 | 5,74 | 6,19 |
| <i>L. eupIASius</i> | MLP Pv 91-IV-5-350 | 3,23 | 5,23 | 3,04 | 5,03 | 2,75 | 4,90 | 5,09 | 5,27 |
| <i>L. eupIASius</i> | MLP Pv 52-IX-28-62 | 3,85 | 6,07 | 3,68 | 5,95 | 3,76 | 6,03 | 6,46 | 7,35 |
| <i>L. eupIASius</i> | MLP Pv 52-X-1-13 | 3,82 | 6,08 | 3,57 | 5,98 | 3,14 | 6,16 | 5,90 | 7,10 |
| <i>L. eupIASius</i> | MLP Pv 52-IX-28-68 | 4,11 | 5,54 | 3,22 | 5,08 | 3,29 | 5,08 | 6,18 | 5,92 |
| <i>L. eupIASius</i> | MLP Pv 88-VI-1-1 | 3,79 | 6,24 | 3,44 | 6,24 | 3,42 | 6,33 | 5,65 | 6,78 |
| <i>L. eupIASius</i> | MLP Pv 52-X-3-12a | 3,22 | 5,11 | 3,12 | 4,90 | 3,17 | 4,75 | 4,84 | 4,64 |
| <i>L. eupIASius</i> | MLP Pv 52-X-3-12b | 4,32 | 6,13 | 3,86 | 6,03 | 3,15 | 5,70 | 6,94 | 6,66 |
| <i>L. eupIASius</i> | MLP Pv 52-X-3-12c | 3,39 | 5,57 | 3,17 | 5,31 | 3,11 | 5,43 | | |
| <i>L. eupIASius</i> | MLP Pv 60-X-4-38 | 3,67 | 5,58 | 3,38 | 5,69 | 3,07 | 5,58 | 4,48 | 6,29 |
| <i>L. compressidens</i> | MLP Pv 54-X-13-2 | 5,16 | 7,78 | 4,46 | 7,39 | 4,67 | 7,18 | 7,85 | 8,14 |
| <i>L. compressidens</i> | MLP Pv 54-X-13-4 | 4,31 | 6,86 | 4,28 | 6,57 | 4,38 | 6,55 | 7,62 | 7,43 |
| <i>L. debilis</i> | MLP Pv 00-IX-6-1 | 4,08 | 5,99 | 3,74 | 5,86 | 3,78 | 5,32 | 6,08 | 5,65 |
| <i>L. debilis</i> | MLP Pv 91-IV-35-2 | 4,47 | 6,52 | 3,93 | 6,53 | 3,98 | 5,98 | | |
| <i>L. cavifrons</i> | MLP Pv 52-IX-30-36 | 5,46 | 8,61 | 4,89 | 8,28 | 4,62 | 8,22 | 7,87 | 9,75 |
| <i>L. cavifrons</i> | MLP Pv 96-VIII-4-9 | 3,47 | 5,57 | 2,82 | 5,63 | 3,02 | 5,37 | 5,32 | 5,82 |
| <i>L. cavifrons</i> | MLP Pv 20-16 | 4,34 | 7,14 | 3,58 | 6,55 | 3,57 | 7,18 | 7,45 | 7,85 |
| <i>L. cavifrons</i> | MLP Pv 52-X-2-18a | 4,64 | 6,96 | 4,09 | 6,70 | 4,20 | 7,09 | | |
| <i>L. cavifrons</i> | MLP Pv 52-X-2-18b | 4,41 | 6,93 | 4,02 | 7,67 | 4,25 | 7,86 | | |
| <i>L. cavifrons</i> | MLP Pv 52-X-5-9 | 4,68 | 8,10 | 4,66 | 7,61 | 4,65 | 7,28 | 7,95 | 7,60 |
| <i>L. cavifrons</i> | MACN A 1651 | 5,78 | 9,19 | 5,31 | 9,41 | 4,76 | 9,43 | | 9,40 |
| <i>L. cavifrons</i> | MACN A 2175 | 4,81 | 7,44 | 4,36 | 7,27 | 4,09 | 7,36 | 7,55 | 6,58 |
| <i>L. maximus</i> | MACN Mz 49.289 | 5,25 | 8,19 | 4,81 | 8,17 | 4,88 | 8,24 | 8,42 | 8,52 |
| <i>L. maximus</i> | MACN Mz 50.14 | 4,95 | 8,09 | 4,54 | 8,08 | 4,72 | 8,27 | 8,31 | 8,68 |
| <i>L. maximus</i> | MACN Mz 50.15 | 5,94 | 9,23 | 5,45 | 8,42 | 5,73 | 8,78 | 10,31 | 10,12 |
| <i>L. maximus</i> | MACN Mz 50.21 | 5,66 | 9,32 | 5,84 | 8,53 | 5,49 | 8,68 | 9,23 | 9,55 |
| <i>L. maximus</i> | MACN Mz 50.10 | 5,44 | 8,81 | 5,23 | 8,16 | 5,21 | 8,48 | 9,7 | 9,47 |
| <i>L. maximus</i> | MACN Mz 50.13 | 5,59 | 9,03 | 5,46 | 8,85 | 5,58 | 8,77 | 10,18 | 9,51 |
| <i>L. maximus</i> | MACN Mz 50.20 | 4,93 | 7,42 | 4,72 | 6,88 | 4,39 | 6,92 | 7,71 | 8,18 |
| <i>L. maximus</i> | MLP Mz 1605 | 5,88 | 9,22 | 5,47 | 9,38 | 5,52 | 9,04 | 8,91 | 8,86 |
| <i>L. maximus</i> | MLP Mz 1657 | 4,94 | 7,47 | 4,86 | 7,37 | 4,66 | 7,04 | 7,98 | 8,03 |
| <i>L. maximus</i> | MLP Mz 1659 | 4,94 | 7,34 | 4,73 | 7,18 | 4,73 | 7,09 | 7,36 | 7,22 |
| <i>L. maximus</i> | MLP Mz 1602 | 5,56 | 9,31 | 5,02 | 9,59 | 4,92 | 9,21 | 9,24 | 9,66 |
| <i>L. maximus</i> | MLP Mz 1634 | 5,76 | 7,85 | 5,09 | 8,41 | 5,01 | 8,21 | 9,33 | 8,47 |
| <i>L. maximus</i> | MLP Mz 565 | 4,83 | 7,44 | 4,36 | 7,86 | 4,07 | 7,55 | 7,41 | 8,22 |
| <i>L. maximus</i> | MLP Mz 1651 | 6,67 | 9,56 | 5,9 | 9,53 | 5,66 | 8,75 | 9,41 | 9,03 |
| <i>L. maximus</i> | MLP Mz 1604 | 5,96 | 9,36 | 5,5 | 9,74 | 5,35 | 9,27 | 9,62 | 10,36 |
| <i>L. maximus</i> | MLP Mz 1642 | 4,69 | 7,1 | 4,2 | 6,93 | 4,11 | 6,69 | 6,94 | 6,71 |
| <i>L. maximus</i> | MLP Mz 1603 | 4,68 | 6,62 | 4,22 | 7,04 | 4,18 | 7,13 | 6,72 | 7,48 |
| <i>L. maximus</i> | MLP Mz 1728 | 4,45 | 6,37 | 4,3 | 6,62 | 4,5 | 6,16 | 7,42 | 6,78 |
| <i>L. maximus</i> | MACN Mz 50.18 | 3,83 | 5,36 | 3,59 | 5,07 | 3,38 | 4,79 | 5,51 | 4,91 |
| <i>L. maximus</i> | MACN Mz 49.291 | 3,55 | 4,35 | 3,46 | 4,09 | 3,15 | 4,19 | 4,5 | 4,12 |
| <i>L. maximus</i> | MACN Mz 50.17 | 3,9 | 5,29 | 3,38 | 5,06 | 3,1 | 4,96 | 5,38 | 4,98 |
| <i>L. maximus</i> (fósil) | MLP Pv 86-VI-23-32 | 5,1 | 7,53 | 4,6 | 7,32 | 4,85 | 7,15 | | |
| <i>L. maximus</i> (fósil) | MLP Pv 20-158 | 5,04 | 7,68 | 4,99 | 7,41 | 4,71 | 7,58 | 8,84 | 7,89 |
| <i>L. maximus</i> (fósil) | MLP Pv 15-239 | 5,20 | 8,81 | 5,21 | 8,58 | 5,19 | 7,83 | 9,47 | 8,23 |
| <i>L. maximus</i> (fósil) | MLP Pv 15-235 | 5,23 | 8,51 | 5,40 | 8,24 | 5,22 | 7,69 | 8,55 | 9,02 |
| <i>L. maximus</i> (fósil) | MLP Pv 15-237 | 5,65 | 8,03 | 5,07 | 7,95 | 4,76 | 7,58 | 7,98 | 8,16 |
| <i>L. maximus</i> (fósil) | MLP Pv 20-29 | 4,74 | 7,24 | 3,78 | 7,26 | | | | |
| <i>L. maximus</i> (fósil) | MLP Pv 96-XII-1-5 | 5,61 | 7,67 | 4,89 | 8,53 | | | | |

Tabla 4.2. Medidas de los molariformes inferiores de Lagostominos de la Argaentina.

| Especie | Número | p4 | | m1 | | m2 | | m3 | |
|-------------------------------|---------------------|------|------|------|-------|------|-------|------|-------|
| | | AP | LM | AP | LM | AP | LM | AP | LM |
| <i>Prolagostomus pusillus</i> | MLP Pv 15-88 | 2,13 | 3,8 | 2,69 | 4,76 | 2,29 | 4,49 | 1,86 | 3,88 |
| <i>Prolagostomus pusillus</i> | MLP Pv 15-65 | 2,9 | 4,41 | 3,08 | 5,71 | 3,04 | 5,32 | | |
| <i>Prolagostomus pusillus</i> | MLP Pv 15-294 | 3,19 | 4,27 | 2,91 | 4,33 | 2,52 | 4,18 | | |
| <i>Prolagostomus pusillus</i> | MLP Pv 15-115 | 2,67 | 4,7 | 3,05 | 6,13 | | | | |
| <i>Prolagostomus pusillus</i> | MLP Pv 15-354 | 2,36 | 4,02 | 2,82 | 5,12 | 3,02 | 4,74 | 2,58 | 4,2 |
| <i>Prolagostomus pusillus</i> | MLP Pv 15-304 | 2,3 | 3,32 | 2,7 | 4,32 | 2,66 | 4,42 | 3,54 | 3,74 |
| <i>Prolagostomus pusillus</i> | MLP Pv 15-110 | | | 2,34 | 3,72 | 2,46 | 3,62 | | |
| <i>Prolagostomus pusillus</i> | MACN A 392a | 2,47 | 4,56 | 3,09 | 5,42 | 3,01 | 5,42 | 2,82 | |
| <i>Prolagostomus pusillus</i> | MACN A 392b | | | 3,68 | 6,26 | 3,77 | 5,97 | 3,34 | 5,6 |
| <i>Prolagostomus pusillus</i> | MACN A 394 | | | 3,66 | 2,75 | 4,38 | 2,64 | 4,65 | 2,78 |
| <i>Pliolagostomus notatus</i> | MLP Pv 15-18 | 2,23 | 3,5 | 2,41 | 3,94 | 2,34 | 4,19 | 2,09 | 3,77 |
| <i>Pliolagostomus notatus</i> | MLP Pv 15-171 | 2,06 | 2,68 | 2,18 | 3,46 | | | | |
| <i>Pliolagostomus notatus</i> | MLP Pv 15-350 | 2,02 | 3,06 | 2,14 | 3,44 | | | | |
| <i>Pliolagostomus notatus</i> | MLP Pv 15-174 | 2 | 3,6 | 2,1 | 4 | | | | |
| <i>Pliolagostomus notatus</i> | MACN Pv 369 | 1,3 | 2,4 | 1,8 | 3,1 | 2 | 3 | 2 | 2,4 |
| <i>Pliolagostomus notatus</i> | MACN Pv 4439 | 2,3 | 3,38 | 2,38 | 4,14 | 2,58 | 4,17 | 2,57 | 4,19 |
| <i>Pliolagostomus notatus</i> | MACN s/n | 2,33 | 3,85 | 2,58 | 4,22 | 2,16 | 4,44 | 2,42 | 4,04 |
| <i>Pl. friburgensis</i> | MLP Pv 15-419 | 2,57 | 4,34 | 3,23 | 6,39 | 3,19 | 6,2 | 3,16 | 5,92 |
| <i>Pl. friburgensis</i> | MMP 673 | 2,2 | 3,8 | 2,5 | 4,8 | 2,7 | 4,8 | 2,6 | 4 |
| <i>Pl. friburgensis</i> | MLP Pv 74-II-1-32 | 3,1 | 5 | 3,2 | 6,3 | 3,2 | 6,2 | 3,1 | 5,7 |
| <i>Pl. friburgensis</i> | MLP Pv 74-II-1-33 | 2,6 | 4,6 | 3,4 | 6,5 | 3,2 | 5,9 | 3,1 | 5 |
| <i>Pl. friburgensis</i> | MLP Pv 74-II-1-29a | 2,6 | 4,1 | 2,7 | 4,4 | | | | |
| <i>Pl. friburgensis</i> | MLP Pv 74-II-1-31 | 3 | 5,9 | | | | | | |
| <i>Pl. friburgensis</i> | MLP Pv 74-II-1-35 | 3 | 5,4 | | | | | | |
| <i>Lagostomus</i> sp. nov. A | MLP Pv 60-VI-18-107 | 2,3 | 4,47 | 2,32 | 5,09 | 2,29 | 4,98 | 2,24 | 4,63 |
| <i>Lagostomus</i> sp. nov. A | MLP Pv 60-VI-18-101 | 2,39 | 5,07 | 2,68 | 6,65 | 2,72 | 6,82 | 2,86 | 6,67 |
| <i>Lagostomus</i> sp. nov. A | MLP Pv 76-VI-12-47 | 2,76 | 5,32 | 2,99 | 6,78 | 2,75 | 6,91 | 2,75 | 6,2 |
| <i>Lagostomus</i> sp. nov. A | MLP Pv 55-IV-28-42 | 2,64 | 4,97 | 2,87 | 5,89 | 2,68 | 5,66 | | |
| <i>Lagostomus</i> sp. nov. A | MLP Pv 55-IV-28-44 | 2,21 | 4,74 | 2,65 | 5,62 | | | | |
| <i>Lagostomus</i> sp. nov. A | MLP Pv 92-XI-19-1 | 2,66 | 5,73 | | | | | | |
| <i>Lagostomus</i> sp. nov. A | MLP PV 57-XII-23-6 | | 5,95 | 3,07 | 6,87 | 2,59 | 7,16 | 2,72 | 6,45 |
| <i>L. antiquus</i> | MASP 32 | | | 3,22 | 7,59 | 3,35 | 8,17 | 3,27 | 7,97 |
| <i>L. antiquus</i> | CICYTTP PV M-2-221 | 3,04 | 6,12 | 3,54 | 7,17 | 3,31 | 7,75 | 3,17 | 7,12 |
| <i>L. antiquus</i> | MLP Pv 15-424 | 2,5 | 4,37 | 2,69 | 5,38 | | | | |
| <i>L. antiquus</i> | MACN 13457 | | | 2,88 | 7,46 | 2,96 | 7,84 | 3,12 | 7,4 |
| <i>L. antiquus</i> | MACN 9099 | | | 2,75 | 5,86 | 2,58 | 6,13 | 2,79 | 5,61 |
| <i>L. pretrichodactyla</i> | MACN Pz 8338 | 2,5 | 5,01 | 2,97 | 6,33 | 2,64 | 6,47 | | |
| <i>L. pretrichodactyla</i> | MACN Pz 8345 | 3,15 | 5,96 | 3,45 | 6,96 | 3,33 | 6,62 | | |
| <i>L. pretrichodactyla</i> | MACN Pz 8342 | 3,72 | 6,95 | 3,65 | 8,08 | 3,65 | 8,4 | 3,18 | 8,15 |
| <i>L. pretrichodactyla</i> | MACN Pz 8294 | 3,55 | 6,21 | 3,55 | 6,75 | 3,7 | 7,53 | 3,3 | 6,5 |
| <i>L. pretrichodactyla</i> | MACN Pz 8343 | 2,83 | 5,19 | 3,15 | 6,4 | 3,03 | 6,71 | 3,38 | 6,77 |
| <i>L. pretrichodactyla</i> | MACN Pz 8341 | 3,57 | 6,06 | 3,54 | 7,19 | 3,79 | 7,9 | | |
| <i>L. pretrichodactyla</i> | IANIGLA Pv 34 | 3,7 | 7,94 | 4,11 | 8,72 | 3,87 | 9,55 | | |
| <i>L. pretrichodactyla</i> | IANIGLA Pv 35 | 2,94 | 5,49 | | | | | | |
| <i>L. incisus</i> | MACN A 1654 | 3,22 | 7,36 | 3,42 | 9,82 | 3,44 | 11,12 | 3,36 | 10,72 |
| <i>L. incisus</i> | MLP Pv 20-1 | 2,79 | 6,26 | 3,04 | 8,51 | 2,97 | 9,30 | 3,13 | 8,91 |
| <i>L. incisus</i> | MLP Pv 20-2 | 2,88 | 6,54 | 2,96 | 8,57 | 3,03 | 10,29 | 2,74 | 9,31 |
| <i>L. incisus</i> | MLP Pv 20-12 | 3,70 | 8,61 | 3,53 | 10,90 | 3,54 | 11,41 | 3,74 | 11,50 |
| <i>L. incisus</i> | MLP Pv 20-15 | 4,06 | 8,82 | 3,76 | 11,13 | 3,79 | 12,88 | 3,78 | 12,32 |
| <i>L. incisus</i> | MLP Pv 20-18 | 3,30 | 7,87 | 2,97 | 10,18 | 3,04 | 11,37 | 2,94 | 11,38 |

L. L. Rasia – Los Chinchillidae fósiles de la República Argentina

| | | | | | | | | | |
|-------------------------|---------------------|------|-------|------|-------|------|-------|------|-------|
| <i>L. incisus</i> | MLP Pv 20-26 | 3,59 | 9,88 | 3,49 | 10,95 | 3,34 | | 3,18 | 12,32 |
| <i>L. incisus</i> | MLP Pv 20-6 | 2,66 | 5,96 | 2,88 | 7,55 | 2,76 | 8,61 | 3,05 | 8,06 |
| <i>L. incisus</i> | MLP Pv 88-VI-1-2 | | 7,87 | 3,51 | 10,34 | 3,29 | 11,58 | 3,57 | 11,78 |
| <i>L. incisus</i> | MLP Pv 91-IV-5-214 | 3,63 | 8,55 | 3,51 | 10,11 | 3,48 | 12,14 | | |
| <i>L. incisus</i> | MLP Pv 46-V-13-72 | 3,48 | 7,94 | 3,62 | 10,6 | 3,65 | 11,98 | | |
| <i>L. incisus</i> | MLP Pv 91-III-1-88 | 3,51 | 7,86 | 3,53 | 10,33 | 3,24 | 10,97 | 3,47 | 11,18 |
| <i>L. incisus</i> | MLP Pv 94-II-1-146 | 3,41 | 8,4 | 3,59 | 10,81 | 3,44 | 11,77 | 3,42 | 11,16 |
| <i>L. incisus</i> | MLP Pv 94-II-1-146b | 4,26 | 8,75 | 3,81 | 12,27 | 3,91 | 13,76 | 4,08 | 13,05 |
| <i>L. incisus</i> | MLP Pv 91-III-1-9 | 3,69 | 8,55 | 3,59 | 11,38 | 3,51 | 12,66 | 3,7 | 11,81 |
| <i>L. eupIASius</i> | MLP Pv 20-11 | 3,35 | 7,11 | 3,32 | 8,16 | 3,22 | 8,65 | 3,57 | 9,34 |
| <i>L. eupIASius</i> | MLP Pv 20-27 | 3,77 | 7,67 | 4,06 | 9,67 | 3,74 | 10,54 | 3,55 | 10,58 |
| <i>L. eupIASius</i> | MLP Pv 20-28 | 3,49 | 6,81 | 3,66 | 8,27 | 3,41 | 9,32 | | |
| <i>L. eupIASius</i> | MLP Pv 52-XI-5-8 | 2,86 | 5,83 | 2,88 | 7,28 | 3,04 | 7,78 | 2,96 | 7,58 |
| <i>L. eupIASius</i> | MLP Pv 52-X-4-21 | 3,16 | 6,82 | 3,43 | 7,93 | 3,35 | 8,65 | 3,45 | 8,56 |
| <i>L. eupIASius</i> | MLP Pv 52-IX-28-68 | 3,03 | 6,38 | 3,26 | 7,82 | 3,08 | 8,01 | 3,03 | 7,71 |
| <i>L. eupIASius</i> | MACN Pv 5986 | 3,3 | 7,02 | 3,29 | 8,25 | 3,26 | 8,89 | | |
| <i>L. eupIASius</i> | MACN Pv 5985 | 3,08 | 6,45 | 3,7 | 7,47 | | | | |
| <i>L. eupIASius</i> | MACN Pv 6163 | 3,57 | 6,07 | 3,81 | 7,86 | 3,43 | 8,43 | 3,44 | 8,36 |
| <i>L. eupIASius</i> | MLP Pv 84-XII-3-18 | | 5,76 | 2,91 | 7,14 | 2,91 | 7,81 | 3,03 | 7,47 |
| <i>L. eupIASius</i> | MLP Pv 20-13 | 3,29 | 6,21 | 3,45 | 7,65 | 3,10 | 7,84 | 3,27 | 7,57 |
| <i>L. eupIASius</i> | MLP Pv 20-17-23 | 3,22 | 6,11 | 3,36 | 7,68 | 3,35 | 8,23 | 3,34 | 7,57 |
| <i>L. eupIASius</i> | MLP Pv 99-X-2-2 | 3,75 | 8,04 | 3,86 | 9,53 | 3,87 | 9,89 | 3,71 | 9,32 |
| <i>L. compressidens</i> | MLP Pv 54-X-13-2 | 4,12 | 8,07 | 4,52 | 9,42 | 3,94 | 9,82 | 4,38 | 10,17 |
| <i>L. compressidens</i> | MLP Pv 90-VI-1-1 | 4,20 | 7,56 | 4,07 | 9,05 | 4,08 | 9,96 | 4,51 | 9,87 |
| <i>L. debilis</i> | MACN A 1255 | 4,64 | 8,27 | 4,32 | 10,11 | 4,24 | 10,79 | | |
| <i>L. debilis</i> | MACN A 1187 | 3,83 | 6,64 | 3,73 | 7,74 | 3,53 | 8,78 | 3,84 | 8,77 |
| <i>L. debilis</i> | MACN A 1098 | 3,16 | 6,31 | 3,42 | 7,55 | 3,67 | 7,78 | 3,57 | 7,25 |
| <i>L. debilis</i> | MLP Pv 91-IV-35-2 | 3,56 | 7,21 | 3,74 | 8,62 | 3,59 | 9,12 | 3,59 | 9,15 |
| <i>L. cavifrons</i> | MLP Pv 52-X-2-18 | | | 5,41 | 11,25 | 5,11 | 11,74 | 5,39 | 10,83 |
| <i>L. cavifrons</i> | MLP Pv 91-IV-30-17 | | 7,89 | 4,45 | 9,30 | 4,40 | 9,88 | 4,37 | 9,70 |
| <i>L. cavifrons</i> | MLP Pv 52-X-5-9 | 4,92 | 8,25 | 5,07 | 9,58 | 4,46 | 10,19 | | |
| <i>L. cavifrons</i> | MACN A 1651 | 5,01 | 10,89 | 5,22 | 12,2 | 5,3 | 11,69 | 5,41 | 11,68 |
| <i>L. cavifrons</i> | MACN A 2175 | 4,34 | 8,57 | 4,51 | 9,83 | 4,57 | 9,75 | 4,48 | 9,57 |
| <i>L. egenus</i> | MACN A 417 | 4,17 | 9,57 | 4,9 | 10,85 | 4,83 | 11,65 | 3,71 | 10,6 |
| <i>L. maximus</i> | MLP Mz 254 | 5,7 | 8,9 | 5,7 | 10,5 | 5,5 | 12,3 | 5,2 | 11,7 |
| <i>L. maximus</i> | MLP Mz 379 | 2,9 | 5,1 | 3,4 | 6 | 3,2 | 6,3 | 3 | 5,5 |
| <i>L. maximus</i> | MLP Mz 1473 | 3,7 | 7,9 | 4 | 8,3 | 4,1 | 9,8 | 3,8 | 9,7 |
| <i>L. maximus</i> | MLP Mz 54 | 4,1 | 7,4 | 4,1 | 8,4 | 3,8 | 8,4 | 3,9 | 8 |
| <i>L. maximus</i> | MLP Mz 42 | 4,2 | 8,9 | 4,6 | 10 | 4,2 | 11 | 4,3 | 10,4 |
| <i>L. maximus</i> | MLP Mz 14 | 4,8 | 8,7 | 4,2 | 9,2 | 4,2 | 10,3 | 4,3 | 10,6 |
| <i>L. maximus</i> | MLP Mz 45 | 5,3 | 9,7 | 5 | 11,1 | 4,8 | 11,2 | 4,6 | 11 |
| <i>L. maximus</i> | MLP Mz 64 | 4,7 | 9 | 4,6 | 10,2 | 4,9 | 11,1 | 4,9 | 11,6 |
| <i>L. maximus</i> | MLP Mz 59 | 4,8 | 8,6 | 4,5 | 10 | 4,2 | 11,6 | 4,1 | 10,6 |
| <i>L. maximus</i> | MLP Mz 61 | 3,9 | 7 | 4 | 8,5 | 4,1 | 8,9 | 3,8 | 8,9 |
| <i>L. maximus</i> | MLP Mz 37 | 5,2 | 10 | 5,4 | 11,5 | 5,2 | 11,4 | 5 | 11,8 |
| <i>L. maximus</i> | MLP Mz 19 | 5,5 | 9,4 | 5,2 | 11,1 | 5 | 11,8 | 5,3 | 11,4 |
| <i>L. maximus</i> | MLP Mz 39 | 4,3 | 7,3 | 4,6 | 8,6 | 4,1 | 8,8 | 4,1 | 8,4 |
| <i>L. maximus</i> | MLP Mz 38 | 4 | 7 | 4,2 | 8,2 | 4 | 8,1 | 4 | 7,9 |
| <i>L. maximus</i> | MLP Mz 41 | 4,5 | 7,4 | 4 | 8,4 | 4 | 8,7 | 4 | 8,1 |
| <i>L. maximus</i> | MLP Mz 230 | 2,9 | 4,3 | 3 | 6,1 | 3,3 | 5,9 | 2,9 | 3,9 |
| <i>L. maximus</i> | MLP Mz 269 | 6 | 10,4 | 5,5 | 10,7 | 5,6 | 10,6 | 5,7 | 11,2 |
| <i>L. maximus</i> | MLP Mz 338 | 2,8 | 5,2 | 3,4 | 6,1 | 3,5 | 6 | 3,2 | 4,5 |
| <i>L. maximus</i> | MLP Mz 1604 | 5,21 | 11,28 | 5,35 | 12,88 | 4,93 | 12,6 | 4,81 | 11,82 |
| <i>L. maximus</i> | MLP Mz 1651 | 5,18 | 9,52 | 6,02 | 11,88 | 5,77 | 12,29 | 5,8 | 11,29 |

L. L. Rasia – Los Chinchillidae fósiles de la República Argentina

| | | | | | | | | | |
|---------------------------|--------------|------|-------|------|-------|------|-------|------|-------|
| <i>L. maximus</i> | MLP Mz 720 | 5,16 | 9,6 | 5 | 12,27 | 5,05 | 11,82 | 4,99 | 12,37 |
| <i>L. maximus</i> | MLP Mz 1634 | 4,82 | 9,41 | 4,71 | 10,88 | 4,93 | 12,52 | 4,61 | 11,62 |
| <i>L. maximus</i> | MLP Mz 1605 | 5,24 | 10,46 | 4,95 | 12,22 | 5,07 | 12,18 | 5,12 | 12,51 |
| <i>L. maximus</i> | MLP Mz 1657 | 4,67 | 8,61 | 4,36 | 9,5 | 4,6 | 9,76 | 4,55 | 9,96 |
| <i>L. maximus</i> | MLP Mz 1659 | 4,51 | 8,42 | 4,51 | 9,6 | 4,49 | 9,86 | 4,07 | 9,68 |
| <i>L. maximus</i> | MLP Mz 1642 | 4,34 | 7,57 | 4,12 | 8,82 | 4,14 | 8,91 | 4,08 | 9,03 |
| <i>L. maximus</i> | MLP Mz 1603 | 3,8 | 7,41 | 4,05 | 9,17 | 3,64 | 9,32 | 4,06 | 9,05 |
| <i>L. maximus</i> (fósil) | MLP Pv 20-29 | 4,26 | 7,34 | 4,08 | 9,08 | 4,1 | 9,42 | 4,14 | 8,74 |
| <i>L. maximus</i> (fósil) | MLP Pv s/n | 4,26 | 8,24 | 4,54 | 9,74 | | | | |
| <i>L. maximus</i> (fósil) | MACN Pv 2373 | 4,45 | 8,66 | 4,56 | 10,2 | 5,08 | 10,41 | 4,73 | 10,11 |

Capítulo V - Evolución y filogenia

Tabla 5.1. Matriz de datos para el análisis filogenético.

| | |
|------------------------------------|---|
| <i>Steiromys duplicatus</i> | 00000000000000000000000000000000?00000?0000000000000000--0000000000? |
| <i>Chinchilla laniger</i> | 211111000110011111101010111100110111111111422012112000?22111111 |
| <i>Lagidium viscacia</i> | 21111100011011111110101011110011011112111142201211100012211110 |
| <i>Eoviscaccia frassinettii</i> | ? ?????????????????????????????????????0??????111001?????0120011??? |
| <i>Eoviscaccia boliviana</i> | ? ?????????????????????????????01??????2111001100-001201112? |
| <i>Eoviscaccia australis</i> | ? ?????????????????????????????2111001100-001201112? |
| <i>Prolagostomus pusillus</i> | ? ?????130110????2??1??0?????????011-??11012?21222121011102121112? |
| <i>Prolagostomus rosendoi</i> | ? ???113?????1112111?????????????????11?212221210111?21???12? |
| <i>Prolagostomus</i> sp. 1 | ? ??????????????????????????????????2122212101?1102121112? |
| <i>Pliolagostomus notatus</i> | ? ???1311?????????0?????????0101??11011?2122211210201112121112? |
| <i>Pliolagostomus friasensis</i> | ? ??????????????????????011-??110??21222112????1112121112? |
| <i>Lagostomus</i> sp. nov. A | ? ???011211????1??1??1?????????011-??11012221222112112022122211121 |
| <i>Lagostomus pretrichodactyla</i> | 22011101[01]211?1011111101-111011011-??1101112122211211201112221112? |
| <i>Lagostomus antiquus</i> | ? ??????0?211????1??1??1?????????011-??1101122132211211202212221112? |
| <i>Lagostomus laminosus</i> | ? ??????????????????????????????????????1322112????3122211??? |
| <i>Lagostomus incisus</i> | 220111020211110011111101-111011011-11101332132211211202312221112? |
| <i>Lagostomus euplasius</i> | 220111000211110111111101-111011011-111012221222112112022122211121 |
| <i>Lagostomus compressidens</i> | 120101011211?101111?10?????????011-?111011121322112112011122211120 |
| <i>Lagostomus debilis</i> | 120??100????1011??1??101-??0??011-1?11011121322112112022122211120 |
| <i>Lagostomus cavifrons</i> | 1201010012111101110111101-111011011-1?11011121422112112021122211120 |
| <i>Lagostomus egenus</i> | ? ??????????????????????????011-??1?0??1?1?22112?????2122211??0 |
| <i>Lagostomus maximus</i> | [12]20101001211110111[01]111101-111011011-1111011121422112112011122211120 |

Capítulo VII – Paleobiología

Tabla 7.1. Masa estimada en gramos a partir de molares superiores e inferiores, y datos de pesos conocidos para machos y hembras de *Lagostomus maximus*.

| | promedio | maximo | mínimo | |
|--|----------|--------|--------|-----------------------|
| pesos estimados a partir de molares | | | | |
| M1 | 4482 | 8854 | 784 | este trabajo |
| m1 | 7250 | 14932 | 1093 | este trabajo |
| pesos tomados en ejemplares vivos | | | | |
| hembras | 4000 | 5000 | 3500 | Llanos y Crespo, 1952 |
| machos | 6300 | 8800 | 5000 | Llanos y Crespo, 1952 |

Tabla 7.2. Masa corporal estimada en chinchillidos fósiles.

| taxon | numero | Edad | molar | masa |
|------------------------------------|---------------------|-----------------|--------------|-------------|
| "Eoviscaccia" australis | MACN CH 1862 | Colhuehuapense | M1 | 191 |
| "Eoviscaccia" australis | MACN CH 1863 | Colhuehuapense | M1 o M2 | 244 |
| "Eoviscaccia" australis | MACN PV 1864 | Colhuehuapense | M1 o M2 | 260 |
| "Eoviscaccia" australis | MACN CH 1865 | Colhuehuapense | M1 o M2 | 259 |
| "Eoviscaccia" australis | MACN CH 1866 | Colhuehuapense | M1 o M2 | 317 |
| <i>Prolagostomus pusillus</i> | MLP 15-294 | Santacruceense | M1 | 772 |
| <i>Prolagostomus pusillus</i> | MLP 15-110 | Santacruceense | M1 | 251 |
| <i>Prolagostomus pusillus</i> | MLP 15-110 | Santacruceense | M1 | 402 |
| <i>Prolagostomus pusillus</i> | MLP Pv 15-385 | Santacruceense | M1 | 611 |
| <i>Prolagostomus pusillus</i> | MLP Pv 26-IV-15-6 | Santacruceense | M1 | 1043 |
| <i>Prolagostomus pusillus</i> | MLP Pv 68-IX-2-1 | Santacruceense | M1 | 1116 |
| <i>Prolagostomus rosendoi</i> | MLP Pv 76-VIII-30-3 | Colloncureense | M1 | 782 |
| "Pliolagostomus" notatus | MACN A 4433 | Santacruceense | M1 | 173 |
| "Pliolagostomus" notatus | MLP Pv 15-100 | Santacruceense | M1 | 232 |
| "Pliolagostomus" notatus | MACN A 4438 | Santacruceense | M1 | 295 |
| "Pliolagostomus" notatus | MACN s/n | Santacruceense | M1 | 336 |
| "Pliolagostomus" notatus | MACN s/n | Santacruceense | M1 | 361 |
| "Pliolagostomus" friasensis | MLP Pv 74-II-1-36 | Colloncureense | M1 | 805 |
| "Pliolagostomus" friasensis | MLP Pv 76-II-30-5 | Colloncureense | M1 | 1138 |
| <i>Lagostomus</i> sp. nov. A | MLP 55-IV-28-43 | Chasiquense | M1 | 695 |
| <i>Lagostomus</i> sp. nov. A | MLP 60-VI-18-100 | Chasiquense | M1 | 1003 |
| <i>Lagostomus antiquus</i> | MLP Pv 97-X-3-1a | Mioceno tardío | M1 | 1054 |
| <i>Lagostomus antiquus</i> | MACN 13436 | Mioceno tardío | M1 | 399 |
| <i>Lagostomus pretrichodactyla</i> | MACN Pv 8340 | Mioceno tardío | M1 | 2224 |
| <i>Lagostomus pretrichodactyla</i> | MACN Pv 8338 | Mioceno tardío | M1 | 1245 |
| <i>Lagostomus pretrichodactyla</i> | MACN Pv 8212 | Mioceno tardío | M1 | 1576 |
| <i>Lagostomus pretrichodactyla</i> | MACN Pv 8339 | Mioceno tardío | M1 | 2181 |
| <i>Lagostomus pretrichodactyla</i> | MACN Pv 8337 | Mioceno tardío | M1 | 1442 |
| <i>Lagostomus pretrichodactyla</i> | MACN Pv 8345 | Mioceno tardío | M1 | 1724 |
| <i>Lagostomus pretrichodactyla</i> | MACN Pv 19026 | Huayqueriense | M1 | 1060 |
| <i>Lagostomus pretrichodactyla</i> | MACN Pv 18966 | Huayqueriense | M1 | 1130 |
| <i>Lagostomus pretrichodactyla</i> | MLP Pv 65-VII-29-72 | Huayqueriense | M1 | 2161 |
| <i>Lagostomus incisus</i> | MACN-Pv 7388 | Montehermosense | M1 | 4612 |
| <i>Lagostomus incisus</i> | MACN-A 1112 | Montehermosense | M1 | 5002 |
| <i>Lagostomus incisus</i> | MLP 48-XII-16-194 | Plioceno | M1 | 3651 |
| <i>Lagostomus incisus</i> | MLP 91-III-1-18 | Plioceno | M1 | 5435 |
| <i>Lagostomus incisus</i> | MLP 91-III-1-36 | Plioceno | M1 | 3737 |
| <i>Lagostomus incisus</i> | MLP 94-II-1-136 | Plioceno | M1 | 2346 |
| <i>Lagostomus incisus</i> | MLP 63-VI-10-59 | Plioceno | M1 | 3979 |
| <i>Lagostomus incisus</i> | MLP 88-VI-1-2 | Chapadmalalense | M1 | 2917 |
| <i>Lagostomus incisus</i> | MLP 91-IV-5-258 | Chapadmalalense | M1 | 1089 |
| <i>Lagostomus incisus</i> | MLP Pv 3 | Chapadmalalense | M1 | 3515 |
| <i>Lagostomus incisus</i> | MLP Pv 4 | Chapadmalalense | M1 | 4255 |
| <i>Lagostomus incisus</i> | MLP Pv 5 | Chapadmalalense | M1 | 1824 |
| <i>Lagostomus incisus</i> | MLP Pv 18 | Chapadmalalense | M1 | 1760 |
| <i>Lagostomus euplasius</i> | MLP Pv 52-X-5-54/63 | Montehermosense | M1 | 1687 |
| <i>Lagostomus euplasius</i> | MACN 6163 | Chapadmalalense | M1 | 1816 |
| <i>Lagostomus euplasius</i> | MLP Pv 10 | Chapadmalalense | M1 | 2066 |
| <i>Lagostomus euplasius</i> | MLP Pv 11 | Chapadmalalense | M1 | 2179 |
| <i>Lagostomus euplasius</i> | MLP Pv 7 | Chapadmalalense | M1 | 1615 |
| <i>Lagostomus euplasius</i> | MLP Pv 21 | Chapadmalalense | M1 | 1352 |

| | | | | |
|---------------------------------|--------------------|-----------------|----|------|
| <i>Lagostomus eupIASius</i> | MLP 52-X-4-21 | Chapadmalalense | M1 | 2082 |
| <i>Lagostomus eupIASius</i> | MLP 91-IV-5-334 | Chapadmalalense | M1 | 1472 |
| <i>Lagostomus eupIASius</i> | MLP 91-IV-5-350 | Chapadmalalense | M1 | 1087 |
| <i>Lagostomus eupIASius</i> | MLP 52-IX-28-62 | Chapadmalalense | M1 | 2050 |
| <i>Lagostomus eupIASius</i> | MLP 52-X-1-13 | Chapadmalalense | M1 | 1960 |
| <i>Lagostomus eupIASius</i> | MLP 54-X-13-1 | Chapadmalalense | M1 | 1363 |
| <i>Lagostomus eupIASius</i> | MLP Pv 52-X-3-12a | Plioceno | M1 | 1087 |
| <i>Lagostomus eupIASius</i> | MLP Pv 52-X-3-12b | Plioceno | M1 | 2284 |
| <i>Lagostomus eupIASius</i> | MLP Pv 52-X-3-12c | Plioceno | M1 | 1288 |
| <i>Lagostomus eupIASius</i> | MLP Pv 60-X-4-38 | Plioceno | M1 | 1630 |
| <i>Lagostomus compressidens</i> | MLP 54-X-13-2 | Chapadmalalense | M1 | 4222 |
| <i>Lagostomus compressidens</i> | MLP 54-X-13-4 | Chapadmalalense | M1 | 3189 |
| <i>Lagostomus debilis</i> | MLP Pv 00-IX-6-1 | Ensenadense | M1 | 2053 |
| <i>Lagostomus debilis</i> | MLP Pv 91-IV-35-2 | Pleistoceno | M1 | 2714 |
| <i>Lagostomus cavifrons</i> | MACN A 1651 | Bonaerense | M1 | 8808 |
| <i>Lagostomus cavifrons</i> | MACN A 2175 | Bonaerense | M1 | 3941 |
| <i>Lagostomus cavifrons</i> | MLP Pv 52-IX-30-36 | Ensenadense | M1 | 6074 |
| <i>Lagostomus cavifrons</i> | MLP 96-VIII-4-9 | Ens Bon | M1 | 1162 |
| <i>Lagostomus cavifrons</i> | MLP Pv 16 | Ens Bon | M1 | 2314 |
| <i>Lagostomus cavifrons</i> | MLP 52-X-5-9 | Ensenadense | M1 | 4805 |
| <i>Lagostomus cavifrons</i> | MLP 52-X-2-18a | Bonaerense | M1 | 3047 |
| <i>Lagostomus cavifrons</i> | MLP 52-X-2-18b | Bonaerense | M1 | 3753 |
| <i>Lagostomus maximus</i> | MLP 86-VI-23-32 | Lujanense | M1 | 4385 |
| <i>Lagostomus maximus</i> | MLP Pv 158 | Lujanense | M1 | 5174 |
| <i>Lagostomus maximus</i> | MLP Pv 29 | Lujanense | M1 | 3055 |
| <i>Lagostomus maximus</i> | MLP 15-239 | Platense | M1 | 7235 |
| <i>Lagostomus maximus</i> | MLP 15-235 | Platense | M1 | 7176 |
| <i>Lagostomus maximus</i> | MLP 15-237 | Platense | M1 | 6025 |
| <i>Lagostomus maximus</i> | MLP Pv 96-XII-1-5 | Platense | M1 | 6402 |

Tabla 7.3. Masa corporal estimada promedio para las especies fósiles de chinchillidos. desv est, desviación estándar; Mon, Montehermosense; Chap, Chapadmalalense; Ens, Ensenadense; Bon, Bonaerense.

| especie | edad | n | promedio | rango | | desv est |
|------------------------------------|-----------------|----|----------|--------|--------|----------|
| | | | | mínimo | máximo | |
| “Eoviscaccia” australis | Colhuehuapense | 5 | 254 | 191 | 317 | 45 |
| Prolagostomus pusillus | Santacrucense | 6 | 699 | 251 | 1116 | 345 |
| Prolagostomus rosendoi | Colloncurensse | 1 | 782 | 782 | 782 | 0 |
| “Pliolagostomus” notatus | Santacrucense | 5 | 279 | 173 | 361 | 77 |
| “Pliolagostomus” friasensis | Colloncurensse | 2 | 972 | 805 | 1138 | 235 |
| Lagostomus sp. nov. A | Chasiquense | 2 | 849 | 695 | 1003 | 218 |
| L. pretrichodactyla | Huayqueriense | 9 | 1638 | 1060 | 2224 | 462 |
| L. antiquus | Huayqueriense | 2 | 726 | 399 | 1054 | 463 |
| L. incisus | Mon/Chap | 13 | 3394 | 1089 | 5435 | 1332 |
| Fm Monte Hermoso | Montehermosense | 2 | 4422 | 3651 | 5002 | 695 |
| “fm” Irene | Plioceno | 5 | 3873 | 2346 | 5435 | 1265 |
| Fm Chapadmalal | Chapadmalalense | 6 | 2560 | 1089 | 4255 | 1205 |
| L. euplasius | Mon/Chap | 16 | 1689 | 1087 | 2284 | 389 |
| Fm Monte Hermoso | Montehermosense | 1 | 1687 | 1687 | 1687 | 0 |
| “fm” Irene | Plioceno | 4 | 1572 | 1087 | 2284 | 525 |
| Fm Chapadmalal | Chapadmalalense | 11 | 1731 | 1087 | 2180 | 370 |
| L. compressidens | Chapadmalalense | 2 | 3706 | 3189 | 4222 | 731 |
| L. debilis | Ensenadense/Bon | 2 | 2384 | 2053 | 2714 | 467 |
| L. cavifrons | Ensenadense/Bon | 8 | 4238 | 1162 | 8808 | 2375 |
| L. maximus | viviente | 35 | 4481 | 783 | 8853 | 2243 |
| | Platense | 4 | 6812 | 6025 | 7235 | 682 |
| | Lujanense | 3 | 4779 | 3055 | 5174 | 558 |

Tabla 7.4. Índices de huesos largos para especies de *Lagostomus*.

| material | taxón | IMH | IRH | IE | IG | IRF | IET | IRT |
|--------------------|-----------------------------------|-------|-------|-------|-------|-------|-------|-------|
| MLP Mz 27-IV-95-1 | <i>Lagostomus maximus</i> | 53,64 | 11,2 | 28,15 | | | 36,88 | 6,35 |
| MLP Mz 8-IX-98-5 | <i>Lagostomus maximus</i> | | | | 16,42 | 10,1 | 36,53 | 6,356 |
| MACN Mz 48.85 | <i>Lagostomus maximus</i> | 54,81 | 10,71 | 25 | 14,09 | 11,53 | 35,16 | 8,696 |
| MACN Mz 1083 | <i>Lagostomus maximus</i> | 55,14 | 9,857 | 25 | 18,09 | 11,59 | 31,97 | 7,149 |
| MLP Mz 15-V-96-3 | <i>Lagostomus maximus</i> | 56,5 | 11,46 | 29,88 | 19,43 | 11,51 | 32,52 | 7,329 |
| MMMdP 1444 | <i>Lagostomus maximus</i> | 50,23 | 11,2 | 27,22 | | | | |
| s/n | <i>Lagostomus maximus</i> | 49,61 | 9,75 | 26,37 | | | 32,77 | 7,133 |
| MLP Pv 29 | <i>Lagostomus maximus</i> (fósil) | 57,02 | 10,23 | 25,43 | | | | |
| MLP Pv 52-X-5-54 | <i>Lagostomus euplasius</i> | | | | 17,95 | 10,96 | | |
| MLP Pv 52-IX-29-74 | <i>Lagostomus euplasius</i> | 52,74 | 8,488 | 22,74 | | | | |
| MLP Pv 27 | <i>Lagostomus euplasius</i> | | | | | | 35,26 | 6,985 |
| MLP Pv 52-XI-5-8 | <i>Lagostomus euplasius</i> | | | | | | 37,73 | 9,034 |
| MLP Pv 91-IV-5-258 | <i>Lagostomus incisus</i> | | | | | | 41,34 | 7,926 |
| MLP Pv 46-V-13-72 | <i>Lagostomus incisus</i> | | | | | | 38,8 | 8,412 |
| MLP Pv 94-II-1-146 | <i>Lagostomus incisus</i> | | | | 13,62 | 10,53 | 38,66 | 7,132 |
| MLP Pv 52-X-3-7 | <i>Lagostomopsis (Chapad)</i> | | | | | | 33,32 | 7,447 |
| MLP Pv 91-IV-5-282 | <i>Lagostomus</i> sp. | 57,55 | 9,973 | 23,88 | | | | |

Tabla 7.5. Modos de locomoción de caviomorfos vivientes. Los hábitos locomotores secundarios figuran entre paréntesis.

| taxón | hábito locomotor | preferencia del sustrato | fuente de los datos |
|----------------------------------|--|--------------------------|-------------------------------|
| Agoutidae | | | |
| <i>Agouti</i> | cursorial (cavador ocasional/nadador) | terrestre | Elissamburu y De Santis, 2011 |
| Caviidae | | | |
| <i>Hydrochoerus hydrochaeris</i> | cursorial/nadador | semiacuático | Elissamburu y Vizcaíno, 2004 |
| <i>Cavia aperea</i> | generalizado | terrestre | Elissamburu y Vizcaíno, 2004 |
| <i>Microcavia</i> | generalizado (cavador ocasional) | terrestre | Elissamburu y Vizcaíno, 2004 |
| <i>Galea musteloides</i> | generalizado (cavador ocasional) | terrestre | Elissamburu y Vizcaíno, 2004 |
| <i>Dolichotis patagonum</i> | cursorial | terrestre | Elissamburu y Vizcaíno, 2004 |
| Dasyproctidae | | | |
| <i>Dasyprocta</i> | cursorial (cavador ocasional) | terrestre | Elissamburu y De Santis, 2011 |
| <i>Myoprocta</i> | cursorial | terrestre | Elissamburu y De Santis, 2011 |
| Echimyidae | | | |
| <i>Myocastor coypus</i> | nadador (cavador ocasional) | semiacuático | Elissamburu y De Santis, 2011 |
| Octodontidae | | | |
| <i>Ctenomys</i> | cavador | terrestre | Morgan y Verzi, 2006 |
| <i>Octodon</i> | cavador ocasional | terrestre | Morgan y Verzi, 2006 |
| Chinchillidae | | | |
| <i>Lagostomus maximus</i> | cavador | terrestre | este trabajo |
| <i>Lagidium viscacia</i> | saltador | terrestre | Elissamburu y Vizcaíno, 2004 |
| <i>Chinchilla</i> | saltador | terrestre | Elissamburu y Vizcaíno, 2004 |
| Dinomyidae | | | |
| <i>Dinomys</i> | cavador ocasional/trepador | terrestre | Elissamburu y De Santis, 2011 |
| Erethizontidae | | | |
| <i>Erethizon dorsatum</i> | trepador | semiarborícola | Candela y Picasso, 2008 |
| <i>Coendou</i> | trepador | arborícola | Candela y Picasso, 2008 |